

高分解能核磁気共鳴の化学への応用

第一回討論会講演要旨集

1961年11月24日（金）、25日（土）
於 日本化学会

高分解能核磁気共鳴の化学への応用

オ一回討論会

オ一日 11月24日(金)

午前9時より開始

NMRの基礎

- 1-1 核磁気緩和(X), 多スピン系の緩和 (p. 1)
(東大理) 清水 博, 藤原鎮男

- 1-2 高分解能核磁気共鳴スペクトルにおける二重共鳴と緩和現象 (p. 7)
(東大物性研) 布内賢信, 松岡正治, 水野 清

電子状態

- 1-3 N置換ビリジン類のNMRスペクトル (p. 9)
(電通大) 中川直哉
(東大薬) 川渝 豊, 堀田弘道, 伊藤道也

- 1-4 オレフィンプロトンの核磁気共鳴吸収に対する置換基の影響 (p. 13)
(名大教養) 柏木 肇, 増羽 淳

- 1-5 ベンゼンのハロゲン置換体のプロトンシフト (p. 17)
(京大工) 米沢貞次郎, 岩前博子 福井謙一

午後1時半より開始

- 1-6 化学結合のイオン性とI·I-couplingの結合定数との関係 (p. 21)
(東工大) 川池英子

水素結合

- 1-7 NMRによるケリュール類の水素結合 (p. 24)
(京大工) 福井謙一, 米沢貞次郎, 有藤 肇
(日本電子) 竹内誠
(金沢大理) 松岡慎一
(名大工) 服部秀三

1-8 C-Hとベンゼンのπコンプレックスについて (P.28)

(電通大) 中川直哉

1-9 アリルジメチルカルビノールの会合および分子内 OH-π相互作用の研究 (P.34)

(東大理) 大木道則, 岩村秀

1-10 アルコールのOHシフトに対する溶媒の影響 (P.38)

(電試) 米本理, 龍井裕益

高分子

1-11 NMRによるPMMAの重合機構の研究 (P.41)

(電通研) 西岡篤夫, 加藤嘉則, 渡辺治昭

1-12 高分子の高分解能核磁気共鳴 (P.45)

(吳羽紡) 佐藤至朗, 中條利一郎, 尾肉敏男, 長井栄一

オニ日 11月25日 (土)

午前9時より開始

化学構造

2-1 錯塩溶液の核磁気共鳴(Ⅲ)シス・トランス構造異性と化学シフト (P.49)

(理研) 林昭一

2-2 アミノ酸のNMR (P.51)

(東大理) 藤原鎮男 (電通大) 荒田洋治

(東大医) 桃井宏直 (原研) 早川直宏

2-3 スレオニン幾何異性体のNMR (P.55)

(日本電子) 竹内誠 (名大工) 服部秀三

(東工試) 額田健吉

2-4 オルト-アルキルニトロベンゼンの N^{15} -NMRについて (P.58)

(神大理) 衣笠俊男, 雜賀亞幌, 渡会節丈, 中村美智子

2-5 Azideの構造とNMR (P.60)

(神大理) 神田貞之助, 有藤祐四郎, 川村和民

2-6 種々の官能基によるプロトンの化学シフトの図表化 (P.62)

(日本電子) 大西栄子

(東工試) 須田健吉, 鈴木昭夫

午後1時半より開始

2-7 天然有機化合物に含まれる α, β -不飽和 $C=O$ System の検証 (P.65)

(阪大薬) 佐々木喜男

2-8 ラクトン類の NMR (P.69)

(東大農) 森 謙治 (東大理) 清水 博

2-9 9,10-ジヒドロ-9,10-エンド-オルト-キシレンアントラセンの立体化学
(P.72)
(京大工) 実戸圭一, 野依良治, ○野崎 一

2-10 Dimethyl- α -kainate および Dimethyl- α -allo-kainate の NMR (P.76)

(東北大薬) 近藤一惠, 近藤嘉和, 竹本常松

(東北大非水研) 池上恒男

2-11 高度不飽和脂肪酸メチルエステルの NMR スペクトル (P.79)

(東工試) 橋本哲太郎, 須田健吉, 植名久子, 土屋知太郎

2-12 メナジオン重疊硫酸塩付加体の構造と NMR (P.82)

(武田薬工) 朝日 豊

2-13 Monascus 代謝産物の構造と NMR スペクトル (P.85)

(東教大) 大橋 守, 小林昭吾, 寺原 昭, 中西香爾

2-14 Pristimerin の構造と NMR スペクトル (P.89)

(東教大) 高橋嘉和, 小林昭吾, 柿沢 寛, 中西香爾

2-15 NMR の立体化学への応用 (I) (P.92)

メチル基の核磁気共鳴に及ぼす水酸基の空間的相互作用

(東大薬) 川添 豊, 夏目充隆, 岡本敏彦

(東大応微研) 佐藤良博, 長谷川弘子, 津田恭介

東大理 ○清水 博, 藤原鎮男

I. 序論

核磁気緩和は物性研究上極めて重要なものであり、事実これまでに多くの興味ある研究がなされて来た。にもかくわらず化学的応用という見地からすれば、未だ発展が充分であるとは云い難い。われわれはNMR(高分解能)の多重線を持つスペクトル(スピン系)の緩和および飽和現象に興味を持ち、これまで多くの理論と実験を発表して来たが、これより、この分野においては実験結果を定量的に解釈して、そこからなるべく多くのインフォーメーションを得るには実験の数多い試行も必要ではあるが、何よりも緩和理論と実験上の実情に合うよう拡張することの重要性を痛感した。本報告は以上の事情にもとづき、非同等な多スピン系の緩和の理論であり、既にわれわれが報告したことのある2スピン系の理論¹⁾の拡張である。この報告において特に努力したことは Bloembergen の緩和理論を非球型分子に対しても成立つように修正することである。

II. Bloembergen の緩和理論とその限界

液体試料中の核磁気緩和の原因を双極子-双極子相互作用の強さが分子の Brown 運動に伴って変化することに求めたのは Bloembergen の卓見であって、緩和の理論の骨格はこゝになつたとしてよい。すなわち彼は双極子-双極子相互作用を、分子内の相互作用と分子間の相互作用とに分類し次のようにして緩和の遷移確率(λ_{T_1} , λ_{T_2})を計算した。²⁾(こゝでは Bloembergen の取扱いを少し一般的に書く)。分子内相互作用の計算を一例にとれば、

$$V = \sum_{i,j} \delta_i Y_i \delta_j F_{ij}^{-3} [(I_i \cdot I_j) - 3(I_i \cdot e_{ij})(I_j \cdot e_{ij})] \equiv \sum_{i,j} \sum_{\mu} S_{ij}^{\mu} F_{ij}^{\mu}(t) \quad (1)$$

のようく相互作用をスピン演算子と座標系の演算子(SとF)とに分ける。μはテンソルの既約表現を示す。さて $F(t)$ は Brown 運動に伴う時間的に変化するので F はランダム函数である。Bloembergen の理論は緩和確率が V の共鳴周波数 ω におけるスペクトル密度に比例すると考へることに等しい。一方スペクトル密度 $J(\omega)$ は、ランダム函数 $V(t)$ の自己相関函数 $K(\tau) = \langle V(0)V(\tau) \rangle$ が知られれば、その Fourier 変換として、式 $J(\omega) = \frac{1}{2\pi} \times \int K(\tau) e^{i\omega\tau} d\tau$ によって与えられることが知られている³⁾。従つて問題はいかにして相関函数を見出すかにある。Bloembergen はこゝに球型分子を仮定した。

球型分子の回転 Brown 運動は Einstein⁴⁾や Debye⁵⁾ 等により研究されており、その確率分布函数 $U(\theta, \varphi, t)$ は、Diffusion Equation,

$$+\frac{\partial U}{\partial t} = D \Delta U \quad ; \quad \Delta = \frac{1}{\sin \theta} \frac{\partial}{\partial \theta} (\sin \theta \frac{\partial}{\partial \theta}) + \frac{1}{\sin^2 \theta} \frac{\partial^2}{\partial \varphi^2} \quad (2)$$

を解くことにより得られる。液体の粘度を η とすると Diffusion Constant D は

$$D = kT / 8\pi\eta a^3 \quad (3)$$

によつて与えられる。(2)の解は spherical harmonics Y_{JM} の級数として

$$U(\theta, \varphi, t) = \sum_{JM} C_{JM} Y_{JM}(\theta, \varphi) \exp[-tD(J+1)] \quad (3)$$

となる。(3)の初期条件を $U(t=0) = \delta(\theta-\theta_0) \cdot \delta(\varphi-\varphi_0)$ と置けば、これから、 $C_{JM} = Y_{JM}^*(\theta_0, \varphi_0)$

をうる。いま(1)における F_{ij}^* を Y_{JM} で展開して、 $F_{ij} = \sum a_{JM} Y_{JM}(\theta, \varphi)$ 。同様に $F_{ke} = \sum b_{JM}^* Y_{JM}^*(\theta, \varphi)$ とすれば、

$$F_{ke}^*(t) = \int_0^t \int_0^{2\pi} U F_{ke}^* \sin \theta d\theta d\varphi = \sum_{JM} \sum_{J'M'} \int_0^t \int_0^{2\pi} b_{JM}^* C_{JM} Y_{JM}^*(\theta, \varphi) Y_{J'M'}(\theta, \varphi) \exp[-tD(J+1)] \sin \theta d\theta d\varphi \\ = \sum_{JM} b_{JM}^* C_{JM} \exp[-tD(J+1)] = \sum_{JM} b_{JM}^* Y_{JM}^*(\theta, \varphi) \exp[-tD(J+1)] \quad (4)$$

となる。これを参考にすれば自己相関函数 $R(t) = \langle S_{ij} S_{ke} \rangle \langle F_{ij}(0) F_{ke}^*(t) \rangle$ は簡単に求められる。(このうち $\langle S \cdot S \rangle$ は計算上問題がないのでこゝでは取上げない。)(4)を使えば、

$$\langle F_{ij}(0) F_{ke}^*(t) \rangle = \sum_{JM} \sum_{J'M'} a_{JM} b_{JM}^* \iint Y_{JM}^*(\theta, \varphi) Y_{J'M'}(\theta, \varphi) \sin \theta d\theta d\varphi \exp[-tD(J+1)] \\ = \sum_{JM} a_{JM} b_{JM}^* \exp[-tD(J+1)] \quad (5)$$

となる。双極子-双極子相互作用の場合 $J=2$ とおき、書き直して、

$$\langle F_{ij}(0) F_{ke}^*(t) \rangle = \langle F_{ij}(0) F_{ke}^*(0) \rangle \exp[-|t|/\tau_c], \quad \tau_c = 4\pi\eta a^3/3kT \quad (6)$$

となる。 τ_c は相関時間と云われるものである。

Bloembergen の以上の仮定の妥当性は、同じく球型分子の仮定を基礎とした Debye の誘電緩和の理論と比較するべきである。これまで多くの例があつて、Debye の理論は球型からのはずれの大きい分子にはあてはまらないことが知られ、これを修正するものとして分子を歯輪形円体とみなす Perrin の理論が呈出され⁶⁾している。Perrin の理論はしたがってかなり広い適用性を持つものである。核磁気緩和においても、或る意味において、Debye の理論に基礎を置く Bloembergen の理論が成立たないことがあることが知られている例がある。特に高分子の磁気緩和においては、その相関函数が一つの相関時間(6)によつて表わすことができないことは常識となつてゐる。Perrin の理論に立つて磁気緩和理論を作ることは極めて望ましいことである。

III. 橋円体の Brown 運動⁷⁾

球型分子では並進運動に対する $f_0 = 6\pi\eta a$ 、回転運動に対する $C_0 = 8\pi\eta a^3$ だけのまゝ(係数)が働く。一方オーネットで示したように主軸方向を X-Y-Z、その方向の半径を a, b, c 、また各主軸のまわりの回転角を α, β, γ とするよう橋円体分子においては、各軸方向の並進運動には

$$f_x = 16\pi\eta/(S + a^2 P), \quad f_y = 16\pi\eta/(S + b^2 Q), \quad f_z = 16\pi\eta/(S + c^2 R) \quad (7)$$

のまゝ、回転運動には

$$C_x = \frac{16\pi\eta}{3} \frac{b^2 + c^2}{b^2 Q + c^2 R}, \quad C_y = \frac{16\pi\eta}{3} \frac{c^2 + a^2}{c^2 R + a^2 P}, \quad C_z = \frac{16\pi\eta}{3} \frac{a^2 + b^2}{a^2 P + b^2 Q} \quad (8)$$

なるまゝが働くため、その Brown 運動は非同方的(Anisotropic)になる。

これが相関時間を一個の式のみで表現できない理由の一つとなりうる。

但し(7), (8)における P, Q, R, S は橋円積分

$$P = \int_{-\infty}^{\infty} [(a^2 + r)/(a^2 + r)(b^2 + r)(c^2 + r)]^{-1} dr, \quad Q = \dots, \quad R = \dots, \quad S = \int_{-\infty}^{\infty} [(a^2 + r)(b^2 + r)(c^2 + r)]^{-1} dr \quad (9)$$

である。若し橋円体に軸対称があれば(9)は積分できる。

橋円体がある任意の方向を回転軸微小回転(Infinitesimal rotation)を行つたとき、それはベクトル的に $d\omega = d\alpha + d\beta + d\gamma$ と各主軸のまわりの微小回転に分解できる。このようない回転に対しても、二つの回軸 $d\omega$, $d\omega'$ も交換する ($d\omega d\omega' = d\omega' d\omega$) から、回転がベクトルとして取扱える間は、(2)を一般化した Diffusion Equation,

$$\frac{\partial U}{\partial t} = D_x \frac{\partial^2 U}{\partial (ax)^2} + D_y \frac{\partial^2 U}{\partial (ay)^2} + D_z \frac{\partial^2 U}{\partial (az)^2} \quad (10)$$

が成立する筈である。ここで Diffusion constant D_x, D_y, D_z は κT をまかっ係数で割ったものであるから、(8) より

$$D_x = \kappa T / C_x, \quad D_y = \kappa T / C_y, \quad D_z = \kappa T / C_z \quad (11)$$

である。ところが、核磁気緩和の対象となる回転運動はちっと大きな回転角を問題にするので、(10) をそのまま使用することは可されない。普通の回転においては上記のベクトル的性質が失われてしまう。(二つの回転の交換が許されなくなる。) 回軸の記述には普通 Euler の角 (α, β, γ) が最も多く使われている。今このようない座標系を η とし

$$d(\alpha\eta)^2 + d(\beta\eta)^2 + d(\gamma\eta)^2 = g_{\lambda\mu} dq^\lambda dq^\mu \quad (12) \quad (\text{簡単のため入}\mu\text{による}\sum\text{を略記})$$

とき、 $\sqrt{g} = \sqrt{\text{Det}(g_{\lambda\mu})}$ が新しい変数に関する体積要素になることに注目すれば、

$$D \nabla U = \frac{\partial U}{\partial t} \rightarrow D \frac{1}{\sqrt{g}} \frac{\partial}{\partial q^\lambda} \sqrt{g} \cdot g^{\lambda\mu} \frac{\partial}{\partial q^\mu} U = \frac{\partial U}{\partial t} \quad (13)$$

となる。(10) の変換に因しては、

$$g^{\lambda\mu} = \sum_i D_i a_i^\lambda a_i^\mu \quad (14)$$

$$\text{とき、} -\frac{\partial U}{\partial t} = -\sum_i D_i \left(\frac{1}{2} \frac{\partial^2}{\partial q_\lambda^2} \sqrt{g} \cdot a_i^\lambda a_i^\mu \frac{\partial}{\partial q^\mu} U \right) \quad (14)$$

をうる。 η として Euler の角をとったときに出で来る式は、 $D_x = D_y$ なる場合には特に簡単になり、

$$-D_x \left[\frac{1}{\sin\theta} \frac{\partial}{\partial \theta} (\sin\theta \frac{\partial U}{\partial \theta}) + \frac{1}{\sin\theta} \frac{\partial^2 U}{\partial \phi^2} + \left(\frac{\cos\theta}{\sin^2\theta} + \frac{D_z}{D_x} \right) \frac{\partial^2 U}{\partial z^2} - \frac{2\cos\theta}{\sin\theta} \frac{\partial^2 U}{\partial x\partial p} \right] = -\frac{\partial U}{\partial t} \quad (15)$$

をうる。(15) は通常の対称コマの波動方程式に非常に良く似ており、その解法もすでに良く知られているからこゝでは述べない。

$$U(\theta, \phi, x, p) = \sum_J \sum_K \sum_M N_{JKM} x^{\pm|K-M|} (1-x)^{\pm|J+M|} e^{i(M\phi + px)} F(-J \pm \frac{1}{2}\beta; J \pm \frac{1}{2}\beta; I + |K-M|; p) \quad (16)$$

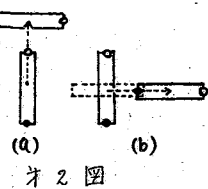
$$\times \exp[-\{D_x J(J+1) + (D_z - D_x) K^2\}t] \equiv \sum \sum \sum U_{JKL} \exp[-\{D_x J(J+1) + (D_z - D_x) K^2\}t]$$

と与えられる。ここで N_{JKM} は規格化定数 $\beta = |K+M| + |K-M| + 2$, $J = 0, 1, 2, \dots, K = 0, \pm 1, \pm 2, \dots, \pm J$, $M = 0, \pm 1, \pm 2, \dots, \pm J$, $p = \frac{1}{2}(1 - \cos\alpha)$ である。

$D_x \neq D_y$, $(D_x + D_z, D_y \neq D_z)$ のときは、(14) は Asymmetric top (非対称コマ) の波動方程式と比較される。その一般的な解法は知られていないが、 $J=3$ までに付ては解析的に求めることができる。しかし非対称性の少いコマ (Slightly Asymmetric Top) に付ては J の大きさと α まで種々の近似法が考案されている。

並進 Brown 運動になると話はまた一段とやっかいになる。それは非球型分子においては普通の球型分子におけるように、並進運動を回転運動と切り離して独立に取扱うことができるからである。オズ図に示すように並進を行ってから回転をする場合と、回転をして

から並進をする場合とでは様子が異なる。一般には回転と同時に並進が行われる。分子の回転につれて動く座標系 OXYZ を考へれば、この座標の上で考へる限り分子は回転の影響を受けずに、純粹に並進 Brown 運動のみを行っている。したがって Diffusion Equation は



オズ図

$$\frac{\partial P}{\partial t} = D_x \frac{\partial^2 P}{\partial X^2} + D_y \frac{\partial^2 P}{\partial Y^2} + D_z \frac{\partial^2 P}{\partial Z^2} \quad (17)$$

と書ける。ただし Diffusion Const. は (7) をつかい、

$$\theta_x = kT/f_x, \quad \theta_y = kT/f_y, \quad \theta_z = kT/f_z \quad (18)$$

と与えられる。一般に座標系 $\mathbf{X}(X, Y, Z)$ を空間に固定した座標系 $\mathbf{x}(x, y, z)$ で表わすとき $\mathbf{X} = \mathbf{Q}\mathbf{x}$ なる関係がある。 \mathbf{Q} は回転を表わすマトリックスである。逆に $\mathbf{x} = \mathbf{Q}^{-1}\mathbf{X}$ なる関係から \mathbf{x} を \mathbf{X} の関数として求めうるから、(17) において $\frac{d}{dx} = \frac{\partial}{\partial x_i}$ とすれば

$$\frac{\partial P}{\partial t} = \sum_{ij} (\partial_x Q_{xi} Q'_{xj} + \partial_y Q_{yi} Q'_{yj} + \partial_z Q_{zi} Q'_{zj}) \frac{\partial^2}{\partial x_i \partial x_j} P \quad (19)$$

となる。但し Q'_{ij} は \mathbf{Q}' の要素で、たとえば Euler の角 (α, β, γ) の関数である。一般に (19) 式中の Q' は回転 Brown 運動について変化する座標に伴って変るからその関数であり、

$$\langle Q'_{ij} Q'_{kl} \rangle(t) = \int_0^\pi \int_0^{2\pi} \int_0^{2\pi} Q'_{ij} Q'_{kl} U(\theta, \phi, \chi, t) \sin \theta d\theta d\phi d\chi \quad (20)$$

で置換するのが当然である。

IV 多スピン系の緩和の特徴・多重線の飽和

非同等な多スピン系は、一般にこれまで述べて来たような場合、すなはち積因体とみなされなければならない場合が多い。このようなスピン系では運動の異方性により各スピンが分子のどの部分についているか、そしてそのスピンのまわりに他のスピンがどのように分布しているかに従って、それは異なる相関時間を持つことになる。そしてこの異方性の影響は結局多重線の飽和性の差として観測されることになる。しかし多重線の飽和の理論はかなり複雑である。それは一つの線の飽和が他の線の飽和に直接影響するからである。ここではまず多重線の飽和について議じ、次にそれに異方性 Brown 運動を取り入れることを示す。

多スピン系の量子力学的ハミルトニアンを

$$H(t) = \omega E_0 + \omega E_1 + \omega V(t) \quad (21)$$

とする。 E_0 は静的なゼーマン項で、スピン coupling 定数 J_{ij} 、シャハイ定数 α_i とすれば

$$E_0 = - \sum_i \epsilon_i (1 - \sigma_i) I_{iz} H_0 + \sum_{ij} J_{ij} I_i I_j \quad (22)$$

E_1 は rf-場でつくられる動的なゼーマン項

$$E_1 = -\frac{1}{2} H_1(\omega) \exp[\pm i\omega t] \sum_i \epsilon_i I_{iz} \quad (23)$$

である。このとき、Redfield によれば、スピン系の統計的な時間変化を表わす密度行列（の要素）は式、

$$d(n|o|n')/dt = -i [E_0 + E_1, \sigma]_{nn'} + \sum_{mm'} R_{nm'mm'} (\sigma_{mm'}^* - \sigma_{mm'}^*) \quad (24)$$

となる。 $\sigma_{nn'} \equiv (n|o|n')$ である。 R は緩和行列と云われるもので、相関函数の要素を

$K_{nn'mm'}(\tau) = \langle (n|\nabla(o)|n')(m|\nabla(\tau)|m') \rangle$ から得られるスペクトル密度

$$J_{nn'mm'}(\omega) = \frac{1}{2} \int_{-\infty}^{\infty} e^{i\omega\tau} K_{nn'mm'}(\tau) d\tau \quad (25)$$

さつかい、 $\omega_{nm} = E_{on} - E_{om}$ とすると

$$R_{nn'mm'} = J_{nn'mm'}(\omega_{nm}) + J_{nn'm'm'}(\omega_{nm}) - \delta_{nm} \sum_s J_{sm'm}(\omega_{sm}) - \delta_{nm} \sum_s J_{s'm'sm'}(\omega_{sm}) \quad (26)$$

と定義されている。若しも rf-場が非常に弱く、すべての線が分解されているとき、 $\omega_{nm} \sim \omega_{nm'}$ で、かつ $n' = n, m' = m$ 以外について、 $|\omega_{nnm} - \omega_{nm'}| \gg \tau H_1$ 、R ならば、 $n \leftrightarrow m$ なる共鳴に対応する線の形は、緩和時間 $(J_{nm} \propto$ スペクトル $m \leftrightarrow n$ の相対強度として)

$$T_{1nm} = \frac{1}{4} J_{nm} \mathbb{I}_{nm}, \quad T_{2nm} = -R_{nnmm}^{-1} \quad (27)$$

と定義すれば、Bloch 方程式によって得られるものと同形になる。但し (27) における Ψ_{nm} は Bloch の論文において T_{nm} と書かれているものに等しく、 $\{R_{nmm'mm'}\}$ 年を保数にして得られる連立方程式を解き、 $\Psi_{nm} = (\sigma_{nm} - \sigma_{nmm'} - \sigma_{nm'} + \sigma_{nmm'})$ として得られ、 H_1 をかけた時の二つのレベル n と m との密度の差と表えられる。

また飽和因子は (27) より

$$S_{nm} = T_{1nm} T_{2nm} H_1^2 = -\frac{1}{4} H_1^2 J_{nm} \Psi_{nm} R_{nm}^{-1} \quad (28)$$

と定義される。

V. 緩和行列の計算

多スピン系における相関関数は、回転 Brown 運動に関しては次のようになる。

$$K(T) = \sum_{ij} \sum_{jk} \sum_{ke} \langle F_{ij}(0) F_{ke}(T)^{*} \rangle \langle S_{ij}^{xx} S_{ke}^{xx} \rangle \equiv \sum_{ij} \sum_{jk} K_{ijke}^{xx}(T) S_{ij}^{xx} S_{ke}^{xx} \quad (29)$$

と書ける。 $K(T)$ をスピン系に対する operator とみるときは (29) の $\langle S S^* \rangle$ の代りに SS^* としてあればよい。¹⁴ 後、 $K(T)$ を operator として使う。 K_{ijke}^{xx} に含まれる座標因子を、変数 x, y, z で展開する。 (T_{km}) で展開する。) そして II 節で述べたような方法で $K_{ijke}^{xx}(T)$ を求めた結果は、 $g_{ij} = \pi l_i l_j l_{ij}^{-3}$ とおけば

$$K_{ijke}^{xx}(T) = \frac{6}{5} K_{ijke}(T) I_{iz} I_{jz} I_{kz} I_{ez}$$

$$K_{ijke}^{yy}(T) = \frac{6}{5} K_{ijke}(T) (I_{iz} I_{jz} + I_{iz} I_{jz}) (I_{kz} I_{ez} + I_{kz} I_{ez})$$

$$K_{ijke}^{zz}(T) = \frac{1}{5} K_{ijke}(T) (I_{iz} I_{jz} + I_{iz} I_{jz}) (I_{kz} I_{ez} + I_{kz} I_{ez})$$

$$K_{zz}(T) = \frac{4}{5} K_{ijke}(T) I_{iz} I_{jz} I_{kz} I_{ez}$$

$$\left. \begin{aligned} K_{ijke}(T) &= \frac{1}{2} g_{ij} g_{ke} \left(\{ \exp[-2(3D-d)|T|] + \exp[-2(3D+d)|T|] \} (l_{ij}^2 l_{ke}^2 + m_{ij}^2 m_{ke}^2 + n_{ij}^2 n_{ke}^2) - \frac{1}{3} \right) \\ &\quad + \frac{1}{2d} \{ \exp[-2(3D-d)|T|] - \exp[-2(3D+d)|T|] \} \{ (D_x - D)(l_{ij}^2 l_{ke}^2 + m_{ij}^2 m_{ke}^2 + n_{ij}^2 n_{ke}^2) \\ &\quad + (D_y - D)(m_{ij}^2 m_{ke}^2 + n_{ij}^2 l_{ke}^2 + l_{ij}^2 n_{ke}^2) + (D_z - D)(n_{ij}^2 n_{ke}^2 + l_{ij}^2 m_{ke}^2 + m_{ij}^2 l_{ke}^2) \} \\ &\quad + 4 \exp[-3(D+D_y)|T|] m_{ij} n_{ij} m_{ke} n_{ke} + 4 \exp[-3(D+D_y)|T|] n_{ij} l_{ij} m_{ke} l_{ke} \\ &\quad + 4 \exp[-3(D+D_z)|T|] l_{ij} m_{ij} l_{ke} m_{ke} \end{aligned} \right\} \quad (31)$$

ただし、単位ベクトル e_{ij} の X, Y, Z 軸に対する方向余弦を l_{ij}, m_{ij}, n_{ij} とする。また。

$$D = \frac{1}{3} (D_x + D_y + D_z), \quad d = \sqrt{3(3D^2 - D_x D_y - D_y D_z - D_z D_x)} \quad (32)$$

である。またスペクトル密度は

$$J(\omega) = \sum_{ij} \sum_{jk} \sum_{ke} \int \langle F_{ij}(0) F_{ke}(T)^{*} \rangle e^{i\omega T} dt S_{ij}^{xx} S_{ke}^{xx} = \sum_{ij} \sum_{jk} L_{ijke} S_{ij}^{xx} S_{ke}^{xx}$$

$$L_{ijke}(\omega) = \int K_{ijke}(T) e^{i\omega T} dt$$

$$C_0 = \frac{6}{5}, \quad C_{z1} = \frac{1}{5}, \quad C_{z2} = \frac{4}{5}$$

となり、これを使って緩和行列は

$$R_{nmm'mm'} = \sum_{ij} \sum_{jk} \sum_{ke} \{ (n | S_{ij}^{xx} | m) (n' | S_{ke}^{xx} | m') \{ L_{ijke}(\omega_{nm}) + L_{ijke}(\omega_{nm}) \} \\ - \sum_k \{ \delta_{nm} (s | S_{ij}^{xx} | m) (s | S_{ke}^{xx} | m') L_{ijke}(\omega_{nm}) + \delta_{nm} (s | S_{ij}^{xx} | m') (s | S_{ke}^{xx} | m') L_{ijke}(\omega_{nm}) \} \} \quad (34)$$

となる。

VI. 實例

アクリル酸 2 量対に対する上記理論の応用の結果、~~等~~ 回転ブラウン運動に対して

$$L_{ABAB} : L_{BCBC} : L_{CACA} = 1 : 1 : 1 \quad \text{球対称モデル}$$

$$L_{ABAB} : L_{BCBC} : L_{CACA} = 1.2 : 1 : 1.5 \quad \text{楕円体モデル}$$

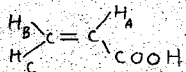
および

$$L_{BACA} : L_{CBAB} : L_{ACBC} = 0.37 : -0.5 : 0.04 \quad \text{球}$$

$$\quad \quad \quad " : = 0.47 : -0.17 : 0.35 \quad \text{楕}$$

を得た。また各陽子の緩和の大きさを表わす目安として

$$\Phi_A = L_{ABAB} + L_{ACAC} + 2L_{ACBC} \text{ となると}$$



$$\Phi_A : \Phi_B : \Phi_C = 2.74 : 1.00 : 2.08 \quad \text{球}$$

$$= 2.25 : 1.00 : 1.72 \quad \text{楕}$$

と計算される。これは Anisotropic Rotation が各陽子の緩和に与える大体の目安と考えてよい。

緩和理論のスペクトル解析に対する応用については討論会場で示す。

文献

- 1) H. Shimizu and S. Fujiwara, J. Chem. Phys. 34, 1501 (1961).
- 2) N. Bloembergen, E. M. Purcell, and R. V. Pound, Phys. Rev. 73, 679 (1948).
- 3) K. S. Miller, Engineering Mathematics (Rinehart-Company, Inc., New York) Chapt. 4.
- 4) A. Einstein, Investigations on the Theory of the Brownian Movement (Dover).
- 5) P. Debye, Polar Molecule (Reinhold) Chap. 5.
- 6) F. Perrin, J. phys. redium 5, 497 (1934).
- 7) For the rotational Brownian motion, theories have been given by Perrin and by L. D. Favro (Phys. Rev. 119, 53 (1960)). The treatment given here is more simple than their treatments.
- 8) L. Pauling and E. B. Wilson, Introduction to Quantum Mechanics Sec. 36a.
- 9) A. G. Redfield, IBM J. Research Develop. 1, 19 (1957).
- 10) F. Bloch, Phys. Rev. 102, 104 (1956).
- 11) Similar formula was derived by Favro.

1-2 高分解能核磁共振共鳴スペクトルにおける 二重共鳴と緩和現象

東京大学物理研究所 ^o柿内暨信, 松岡正浩, 水野清

§1 問題の設定

高分解能スペクトルからケミカル・シフトとおなじ間接スピニ結合定数Jを求める実験は数多く行なわれているが、多官能基の個々についてモリ飽和または緩和を観察し、これによつて結合スピニ系の緩和機構をしらべるとはそれ自身興味があり、また同時に溶波内の分子の諸性質をしらべる手段になり得るであろう。次にこれらの研究計画の概要をうべるが、現在磁場を調節中であるので、できれば予備実験について報告する。

ここではもつとも簡単な場合として化合物に寄りがたい二つのプロトンを多く含む系について考えきが、一般には吸収線はケミカル・シフトおよびスピニ結合によって4本に分かれ、いま(1)これら二つを1本またはそれ以上より複数に共鳴するつよいrf場をあてたとき、他の吸収線のつよさおよび線幅の変化を観測し、あるいは(2)直接おおおのの緩の下で吸収線のつよさの時間的変化からもわかることによう、結合スピニ系における緩和機構をしらべることができる。プロッホはすでにこれにたいする理論的解析を行なつたが、この種の実験にはいろいろな困難が伴うので研究はまだじゅうぶんに行なわれてはいない。(Stanford, Bell Telephone).

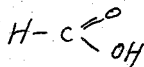
§2 技術的困难

技術的な困難の第一は、均一な磁場をつくることである。(1)磁場、均一度は試料を占める部分 $4 \times 4 \times 4 \text{ mm}^3$ 程度にわたって $10^{-8} \sim 10^{-9}$ の値が必要であり、これは実現可能の範囲にはいってきた。さうにいふるるための shimming をくわうすることによって改善することができると思われる。(2)磁場、時間的安定度と観測時間(約10分、粗度)内に磁場、変動が上記の値をこえないことが必要である。電磁石の場合には電流、変動、電石および永久磁石のいずれの場合も電石、温度を一定にしなければならない。かかづかの永久磁石の場合には室温、変動 ±0.1°C、磁石と自身の温度の変化は ±0.05°C 以下にとどまることができる。それ以上の安定度が必要な場合は super stabilizer あるいは磁場変動を追つて rf 周波数をかえる方法を考えなくてはならないであろう。(3) rf 周波数、安定度も 10^9 程度におさえなくてはならないが、これは水晶発振器の水晶の温度変動を適当な恒温槽によつておさえ、また水晶振子の振幅を大きくなりすぎないようにすることによって解決した。のぞみの吸収線に確実に rf を照射するにはじつといの肉桂として周波などがある。ある種の scanning が必要であろう。(4) T₁ の測定には検討の余地が多い。T₁ が長い場合には直接デラウニ首の上で観測できるけれども、そうではない場合には周波が伴う。パルス法による方法は研究する価値があると考えられる。スピニ・エコをつかって wiggle を解析することにとつてある程度のことができるかもしれない。

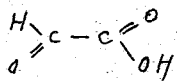
§3 具体的な物質について

現在入手できる物質で、上記の2プロトン系に相当するものは glyoxyl 酸, dichloroacetaldehyde, propiol 酸, methyl nitro 酸などである。T₁にたいする内部回転、プロトン交換あるいは四重極相互作用の影響などが問題となるであろう。

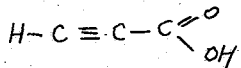
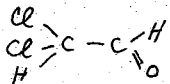
問題上2プロトン系にかぎらないで、おおじきえを二種類シフトを生ずるプロトン系に拡張すれば acrylonitrile, 塩化vinyl, 酢酸, acetaldehyde, methanolなどにつなげられることができそうだ。



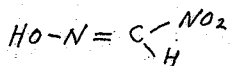
glyoxyl 酸



glyoxyl 酸



propiol 酸



methyl nitro 酸

1-3 N-置換ピリジン類のNMRスペクトル

(電通大) 中川直哉

(東大薬学部) 川添 嘉、堀田弘道、伊藤道也

1-1. ピリジン類の反応性と電子密度

ピリジンは石田式の平不よりは芳香族窒素化合物であり、N原子の強い極性効果によるとその化学的性質が支配される。すなわち核の2,4-位および6位はN原子の効果によって求核置換反応の活性を平不より求電子置換には強く抵抗する。一方ピリジン-N-オキシドは酸素の避離電子対がピリジン核の6π電子を共鳴する結果、通常アミノオキシドに比べてN-O結合が安定化し右のような共鳴状態が存在する。その結果、ピリジン-N-オキシドはピリジンに比較して一般的電子試葉に活性があり、その反応性に関する多くの研究がなされてい。

ピリジン類のN-オキシドに対する電子状態につれては分子軌道法及びLCAO-MO法による電子密度計算の一例は次に示す。(1) J.Org.Chem., 18, 534 (1953); (2) J.C.S. 1949, 971; (3) 第19回薬学会大会講演要旨 P-118 (1959)

1-2 ピリジン類のNMRスペクトルと電子密度

ピリジンのNMRスペクトルはW.G.Schneiderらによると解説結果は次のようである。^{2),3)}

$$\delta_p - \delta_T = 25 \text{ cps} (60 \text{ Mcps})$$

$$\delta_p - \delta_K = 88 \text{ cps} (60 \text{ Mcps})$$

2. pyridinium cation (= > 2,6-lutidine) の解説結果を次に示す。

$$\delta_p - \delta_T = 34 \text{ cps} (60 \text{ Mcps})$$

$$\delta_p - \delta_K = 39 \text{ cps} (60 \text{ Mcps})$$

同様に 2,6-lutidine の解説結果を次に示す。

$$\delta_p - \delta_T = 17.8 \text{ cps} (60 \text{ Mcps})$$

$$\delta_p - \delta_K = 75.1 \text{ cps} (60 \text{ Mcps})$$

= π化学位シフトの値は主として、次の因子によるものと考へられる。

① α, β, γ 位の五員環プロトンの化学シフトの差は α, β, γ 位の C 原子上の π 電子密度に依存し、α プロトンが最も低磁場に、γ が T, β の順となる。

② N 原子の $\mu \rightarrow \pi^*$ による磁化率の異方性スリップシフトは γ 位の核プロトンに対する約 0.8 ppm 低磁場へ、α 位プロトンに対するのは 0.08 ppm 高磁場へシフトを生ぜしめるものと考えられる。⁴⁾

したがって ②の N 原子の $\mu \rightarrow \pi^*$ による磁化異方性の効果を除くは α, β, γ 位のプロトン

	4)	5)	6)	
8N : 1.0 δC : 0.1		8N : 2.0 δC : 0.25	8N : 1.6 δO : 0.595	(: 2 : 1)
2	0.91	0.849	0.977	0.896
3-C	0.98	0.747	0.929	0.913
4-C	0.92	0.822	1.139	1.093
N-	1.29	1.586	1.326	1.397
O-	—	—	1.560	1.694

4) Trans. Far. Soc., 47, 113 (1951); 5) ibid 42

87 (1947); 6) 薬誌 79, 388, (1959)

7) Can. J. Chem., 39, 1158, (1961);

の化学シフトは主にそれが位置による電子密度(電場の効果を含む)の影響によつて支配されるものといえよう。

1-3. N置換による反応性の変化

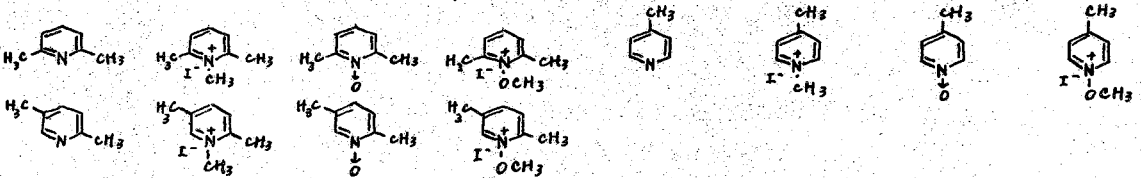
N置換化合物としては、ピリジンヌクレオフィル $\text{C}_6\text{H}_5-\text{N}^+-\text{H}\rightleftharpoons\text{C}_6\text{H}_5-\text{N}^+-\text{X}^-$ 、ピリジンN-オキシド $\text{C}_6\text{H}_5-\text{N}^+-\text{O}-\text{CH}_3$ は $\text{C}_6\text{H}_5-\text{OH}$ より $\text{C}_6\text{H}_5-\text{N}^+-\text{O}-\text{CH}_3$ よりTa4酸塩型の化合物である。(1-1)に記したようにピリジンN-オキシドはピリジンに比べて著しく求電子性が核置換反応に活性があり、さうに上記のN-alkoxy-pyridinium塩は特に核置換反応に高い活性であることが報告されており、¹⁰⁾さらにはその反応性は、乙呈下研究中である。

そこでN置換ピリジン類の反応性と関係があると思われる電子密度に注目し、15種の知見を得てNMRスペクトルを測定した。

9) 1961. 23. Oct., 「分子の電子状態計算論」によつて中川らにより報告された。¹⁰⁾ Chem. pharm. Bull. 2. 実験.

2-1. 試料

試料は、2,6-lutidine, 2,5-lutidine, 4-picoline, 3-quinuclidine, ピリジンヌクレオフィル $\text{C}_6\text{H}_5-\text{N}^+-\text{CH}_3$, N-methiodide, N-oxide, N-methoxy-iodideを用いた。



2-2. NMRの測定

Variar T. 4301型高分解能NMR-spectrometer(東工式)を使用し、60Mgs τ wide band法により常温(25~30°C)で測定した。

2-3. 溶媒又は濃度

溶媒としては蒸溜水を用い、 $\text{C}_6\text{H}_5-\text{NH}$ および $\text{C}_6\text{H}_5-\text{OH}$ のスペクトルを得るために16%tau₁には50%硫酸を溶媒として用いた。濃度はすべて約10%W/Vとした。

2-4. 基準

基準としては上記アルキルピリジンのNオキシドないしはmethiodideのC-Xテルフランを用いた。free baseは水、液性によりシグナルの位置が変化し、又水は温度、液性等によりシグナルが変化、基準として不適当である。

2-5. スペクトルの解析

2,6-lutidineのスペクトルのY.β位の核プロトンはAB-テイプで、2-quinuclidineによく解析し、4-picolineのα.β位の核プロトンのスペクトルはA₂X₂-テイプではあるが化学シフトの4をとり上げたため、それぞれシグナルの中心をα.β-プロトニ化シフトを見た。2,5-lutidineは3.4位のシグナルをAB-テイプとし、6位のプロトンを独立して1個のシグナルを4taoして解析した。その結果を次に示す。

2.6-lutidine.

	γ -H	β -H	α -CH ₃
free base	-302 cps	-271 cps	0 cps
$\geqslant \overset{+}{N}-H^*$	-351	-312	-19
$\geqslant \overset{+}{N}-CH_3$	-344	-318	-23.6
$\geqslant \overset{+}{N}-OCH_3$	-352	-327	-29.6
$\geqslant N \rightarrow O$	-298	-298	-5.3

4-picoline.

	α -H	β -H	γ -CH ₃
free base	-366 cps	-282 cps	0 cps
$\geqslant \overset{+}{N}-H^*$	-369	-326	-20
$\geqslant \overset{+}{N}-CH_3$	-396	-337	-23
$\geqslant \overset{+}{N}-OCH_3$	-350	-302	-18.7

2.5-lutidine.

	α -H	γ -H	β -H	κ -CH ₃	β -CH ₃
free base	-355 cps	-312 cps	-291 cps	-14.7 cps	0 cps
$\geqslant \overset{+}{N}-H^{**}$	-374	-366	-336	-35	-18
$\geqslant \overset{+}{N}-CH_3$	-373	-368	-346	-39	-21
$\geqslant \overset{+}{N}-OCH_3$	-428	-384	-363	-55	-38
$\geqslant N \rightarrow O$	-359	-313	-313	-17	-8
$\geqslant \overset{+}{N}-OH^{**}$	-384	-356	-336	-36	-22

註. $\geqslant N \rightarrow O \sim 50\% H_2SO_4$ の値。
 $\geqslant \overset{+}{N}-OH$ の測定結果等の考慮. ここで γ の換算の必要がある。

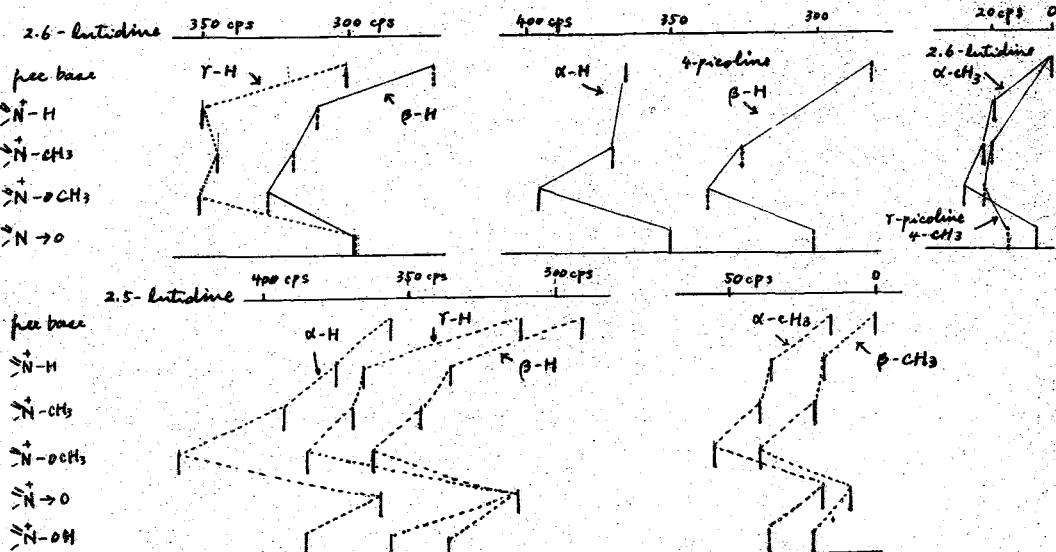
註. 2.6-lutidine の γ は 2.6-lutidine N-oxide の κ -CH₃ と β -CH₃ の γ と同一である。4-picoline methiodide の γ -CH₃ は 2.5-lutidine methiodide の β -CH₃ の γ と同一である。測定した。

* 16% 硫酸水溶液中, ** 50% 硫酸水溶液中。

3. 結果と考察。

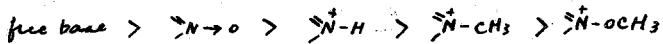
3-1. N置換体における各位置の全体化とその変化。

2.6-lutidine, 4-picoline, 2.5-lutidine の各メチル基のプロトトンの γ -CH₃ の N置換形式による変化、式の公務の核 γ -CH₃ の同様の変化を次に示す。



前記の図より次々に以下推論された。有ねかす。

① 所述のN原子の異方性の効果は角度。同時に β 位の核プロトンには殆んど影響ない。即ち、 α 効果を考慮する必要はない。⁹⁾ メチル基のプロトンに対するN原子の異方性の効果は距離が大きいため影響は少く、それを考えられる。その結果 β 位の核プロトンがメチル基のプロトンの化学シフトは核C原子上の電子密度の変化によるものと推定される。図に示されたように β 位の核プロトンおよびメチル基のプロトンの化学シフトはN置換形式により次の順列となる。



② ①を述べたよし β 位核プロトンが α 位メチル基の δ^P に及ぼすfree baseで最も高磁場にあり、他の上位排列である。これは $\overset{+}{N}-H$, $\overset{+}{N}-OCH_3$, $\overset{+}{N}$ のよろ N の不対電子が H^+ などのカチオンに配位して4級アミン型のため、ビリジン核の炭素原子上の電子密度が減少する結果と見られる。

③ $\overset{+}{N} \rightarrow O$ の場合は②における4級アミン型に比べて核C原子上の π 電子密度は大きくなるため、基準となるfree baseに対する高磁場へのシフトが小さいものと考えられる。

3-2. γ 位プロトンの化学シフト。

γ 位の核プロトンのシフトを比較する時に、 β 位に付けての効果は γ 位に対するも同様であると推定し、 β 位核プロトンに対する相対シフトをもつて考察する。

④ γ 位のシフトには核の π 電子密度の減少による効果。ほんに、N原子とペラ位にあるため $\times\gamma^*\times\gamma^*$ 寄与によって γ 位C原子の電子密度の減少による効果が45%ある。

⑤ N原子の異方性の効果は $\mu \rightarrow \pi^*$ に及ぼす γ 位に付けての、free baseの γ 位核プロトンは他の化合物の場合より $\mu \rightarrow \pi^*$ の影響で数cps高磁場シフト(2~3)もある。参考25±3。

⑥ 4級アミン型の化合物およびNオキシドの γ , β 位は、 $(\delta_P - \delta_r)$ の値の変化を参考する。 $\overset{+}{N}-H$ を基準とした場合に示されると $\overset{+}{N}-CH_3$, $\overset{+}{N}-OCH_3$ の場合、 γ 位ナトリウム高磁場シフト(2~3)のは、 γ 位Nの置換基の $\times\gamma^*\times\gamma^*$ な効果。大きさに対する差をもつて云ふよ。

3-3. α 位核プロトンの化学シフト。

α 位を β 位とする相対シフトを調べたところ。

① α 位の核プロトンは大きな影響を及ぼす。これはN原子の異方性の効果で、 $\mu \rightarrow \pi^*$ は2,40~50cps高磁場へのシフトを計算された。⁹⁾したがって、2者又は明るい α 位=free baseの場合 $\overset{+}{N}-$ の場合との差の主な原因は $\mu \rightarrow \pi^*$ によるものと考えられる。

② $\overset{+}{N}-H$ では $\overset{+}{N}-CH_3$ を基準にして $\overset{+}{N}-OCH_3$ や $\overset{+}{N} \rightarrow O$ のN-O結合の重結合はよりN原子の $\mu \rightarrow \pi^*$ の効果が α 位プロトンに対する2.5~3.0とされる。

③ $\overset{+}{N} \rightarrow O$, $\overset{+}{N}-OCH_3$ では $\times\gamma^*\times\gamma^*$ の効果が大きく、0.異方性の効果と逆の効果となる。

	$\delta_P - \delta_r$ 2.6- 2.5- 4-pic 2.5- 2.6	$\delta_P - \delta_r$ 2.6- 2.5- 4-pic 2.5- 2.6	
free base	31 cps	21 cps	84 cps
$\overset{+}{N}-H$	39	30	—
$\overset{+}{N}-CH_3$	28	25	43
$\overset{+}{N}-OCH_3$	25	21	59
$\overset{+}{N} \rightarrow O$	0	0	48
			46

	$(\delta_P - \delta_r) - (\delta_P - \delta_r)$ 2.6 - 2.5 -
$\overset{+}{N}-H$	0 cps
$\overset{+}{N}-CH_3$	11
$\overset{+}{N}-OCH_3$	14
$\overset{+}{N} \rightarrow O$	39
	30

1-4 オレフィンプロトンの核磁気共鳴吸収に対する置換基の影響

名大教養 Ⓜ柏木 肇 丹羽 遼

芳香族化合物の環あるいは側鎖に存在するプロトンの化学シフトが、置換基の極性効果によって如何に支配されるかについては種々の研究がある。この分野において先鞭をつけたのは、H. S. Gutowskyらの研究であって、置換フルオロベンゼンのフッ素核磁気共鳴吸収に關し、そのシフトが置換基の Hammett 定数によつて支配されることを指摘¹⁾し、ひき続いて R. W. Taft, Jr. は上述の場合のみならず、一置換ベンゼンの化学シフトと Hammett 定数との相関性を追求し、特に適用すべき Hammett 定数に種々の考察を試みた²⁾。更に、湯川氏らは、1, 3, 5,-三置換ベンゼンの環プロトンについての測定値が、Hammett 定数 σ_p とほゞ直線的な相関性を有することを見出した³⁾。

一方、オレフィンプロトンの化学シフトについては、最近置換エチレン $\text{CH}_2=\text{CHX}$ 、 ω -置換アロペン $\text{CH}_2=\text{C}(X)\text{C}_6\text{H}_5$ 等の系列が検討されたが⁴⁾、これらが一般に sp^3 炭素原子と結合するプロトンの共鳴吸収に相当する Dailey-Shooleary の関係によつては満足されず、また、Hammett 則との相関性も必ずしも十分ではなく、化学シフトあるいはカッコリング定数に対する置換基の影響が主として如何なる因子に支配されるかに關して満足すべき解釈が与えられなかつた。

しかし、先に著者らが報告したように、 ω -置換トランススチレンのオレフィンプロトンの化学シフトは、従来観察されなかつた Hammett 則と相関を有することが明らかにされ、この方向から置換基効果を検討する試みは必不可少と看做すべきではないことが示された⁵⁾。

ω -置換スチレンは、そのオレフィン部分がベンゼン核と共軛して拡大されたπ電子系を構成しており、一般にベンゼン置換体のプロトンシフトが置換基により Hammett 則にそつてその影響をうけるものであるならば、置換基に対してシス位に存在するオレフィンプロトンの化学シフトも同様の影響をうけるものと予想される。実測値は化学シフトと Hammett 定数との間に明瞭な相関性があることを示しており、しかもその相関性は、元來の σ_p や Brown-岡本の σ_p^+ ⁶⁾ の方がすぐれている。このことは置換桂皮酸あるいは特に置換アクリル酸 $\text{CRR}'=\text{CH}-\text{COOH}$ に対するハロゲン付加の相対的反応速度が σ_p^+ とほゞ直線関係にある事実と対応するものと考えられる。さらに Cl の置換基効果が、直線から無視できない偏倚を示すことは、湯川氏らが 1, 3, 5,-三置換ベンゼンの環プロトンについて観察した結果と同様の傾向である。一方、R. W. Taft, Jr. はベンゼン置換体の核磁気共鳴吸収の化学シフト δ は、置換基にとつて固有の感応 (α_f) および共鳴効果 (β_R) の磁気吸収における遮蔽効果の受磁率に相当すると計算される実験的定数をそれを $\alpha_f + \beta_R$ とするとき、一般に $\delta = \alpha_f \sigma_f + \beta_R \sigma_R$ であらわされること、特に一置換ベンゼンの ρ -位のプロトン吸収の化学シフトに対する $\alpha_f = 0.40 \sigma_f + 0.70 \sigma_R$ を適用し得ることを提案した²⁾。この置換基定数は湯川、都野西氏がベンゼン核側鎖の親電子反応に対して一般化した $\log k_f/k_0 = \rho(\sigma_p + \gamma \Delta \sigma_R)$ に対して ω -置換スチレンについての実測値を適用しても、ほゞ同形の組合せとして得られる。これ

の置換基定数は σ_p よりは σ_p^+ よりすぐれた相団性を示す。

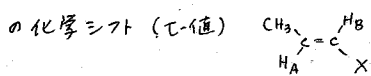
今回著者らは一連の 1-置換トランスプロペン $\text{CH}_3\text{CH}_A=\text{CH}_B\text{X}$ について、そのプロトンの磁気共鳴吸収を測定し、置換基効果を検討した。

供試化合物は 1-アロモプロペン、クロトン酸メチルエステル、プロペニルベンゼン (1-正ニルプロペン)、1-クロロプロペン、クロトン酸ニトリル、塩化クロトニル、1-ニトロプロペン、クロトンアルデヒドである。化合物を四塩化炭素にとかし、その濃度を 10 モル% とし、内部基準として約 2 モル% のシクロヘキサンを加えたものを試料とし、60MC で作動する東京工試の Varian 核磁気共鳴高分解能スペクトロメーターによつて測定した。温度は 24°C。オ1表に測定結果を示す。なお、プロペンおよびブテン-2 については G. S. Reddy らの測定値を利用した。⁸⁾

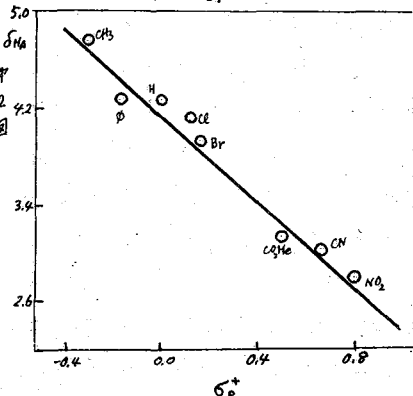
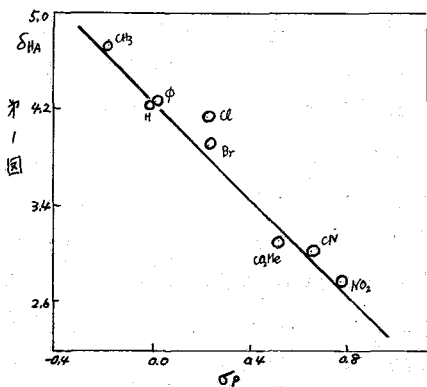
また、オ1図とオ2図は置換基とエス位のプロトン H_A の化学シフト δ_{HA} との関係を示したもので、前者はこれを Hammett 定数 σ_p に対し、後者は同じく σ_p^+ に対して直線的な相団関係を有し、その状況は先の W-置換トランススチレンの場合と類似しており、置換エケレンや 2-置換プロペンの場合と比べて、はるかに明確な相団性を有している。なお、置換基 C_6H_5- については、その環状電流にともづくエス位プロトンに対する long range effect に対し、+0.5 ppm、⁹⁾ -CN についてはその bond anisotropy による影響に対し、-0.29 ppm⁸⁾ の補正が加えている。オ3図は R. W. Taft, Jr. の提案による置換基定数 $0.40\sigma_p + 0.70\sigma_R$ との関係を示すもので、この場合 σ_p なし、 σ_p^+ より相団性が改善されていること、W-置換トランススチレンについて観察したことと一致する。なお、各置換基の感応効果および共鳴効果の実験定数 σ_1 、 σ_R を使用して置換基定数をオ2表に示す。

こうして 1-置換プロペンと W-置換スチレンの 2 系列

オ1表 1-置換トランスプロペンのオレフン・プロトン



化合物	置換基	H_A	H_B
ブテン-2	CH_3	4.75	4.75
プロペン	H	4.27	5.04
プロペニルベンゼン	C_6H_5	3.76	3.76
1-アロモプロペン	Br	3.92	4.05
1-クロロプロペン	Cl	4.16	4.12
クロトンアルデヒド	CHO	3.21	3.97
塩化クロトニル	COCl	2.81	3.91
クロトン酸メチル	CO_2CH_3	3.13	4.24
クロトン酸ニトリル	CN	3.32	4.67
1-ニトロプロペン	NO_2	2.78	3.05



は各置換基に対する同様の相関性を有するか、オホ4図はこのことを更に明瞭に示している。オホ4図は同一の置換基についてそれそれの系列のシス位のプロトンシフト δ_{HA} を互いにプロトントレたものであるが、図から明らかなように両者は直線的相関関係にある。ただし、W-置換スケレンの方が常に~0.8 ppm 程度低磁場にシフトしている。このことはW-置換スケレンにおいて、ベンゼン環の環状電流による long range shielding effect が、ベンゼン核に対する gem 位にあるプロトンではなく H_A に対し、約 0.7 ppm とみられることが対応し、 δ_{HA} は各置換基の固有の極性効果に加えて、ほぼ同じ程度のベンゼン環による遮蔽効果が重なった結果となることができる。個々の δ_{HA} に対する置換基効果そのものは、1-置換プロパンの系列においてやや大きくあらわれている。オホ5図は置換基に対する gem 位のプロトンの吸収 δ_{HB} を両系列について比較したものである。 δ_{HB} にくらべ、両者の相関性は必ずしも明瞭でない。中心炭素原子が飽和しているならば、このプロトンには Dailey-Shooleary の関係が存在すべきところであるが、この場合には置換基を含む共軸系全体の複雑な影響が及んでいることを示すものであろう。いずれの場合にも、置換基が水素原子のときに、 δ_{HB} が最も高磁場にあらわれるのは、何らかの置換基が存在する場合には H_B に対して一様に遮蔽効果を与えている結果と考えられる。

Coupling constants J_c については従来置換基原子の電気陰性度との関係が注目されて来た。例えは

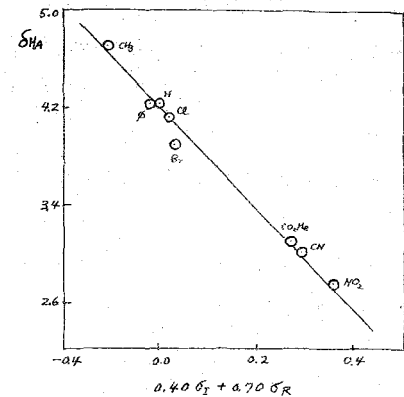
C.N. Banwell と N. Sheppard は 1-置換エチレンについて原子の電気陰性度と Coupling constants との間に、ほぼ直線的関係が存在することを見出したが、この関係は W-置換スケレンにも存在する。最近庄地氏は Coupling constants に対する近似式を提案してその有効性を検討した。¹⁰⁾

1-置換エチレンと W-置換スケレンの各置換基に対する Coupling constants, J_{HAB} の相関性をシラべると、オホ6図に示されるように両者の間にほぼ直線的相関関係が存在する。1-置

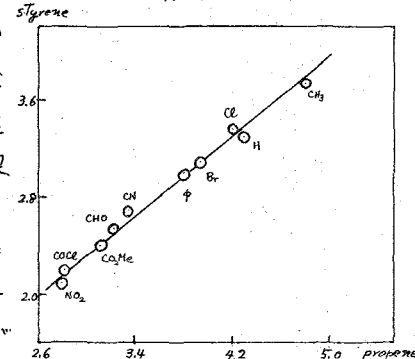
第2表

置換基	σ_1	σ_2	$0.40\sigma_1 + 0.70\sigma_2$
CH ₃	-0.05	-0.13	-0.11
C ₆ H ₅	0.10	-0.09	-0.02
H	0.00	0.00	0.00
Cl	0.47	-0.24	+0.02
Br	0.45	-0.22	+0.03
CO ₂ R	0.32	0.20	+0.27
CN	0.59	0.07	+0.29
NO ₂	0.63	0.15	+0.36

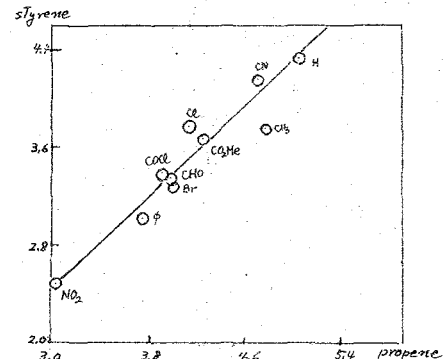
第3図



第4図



第5図



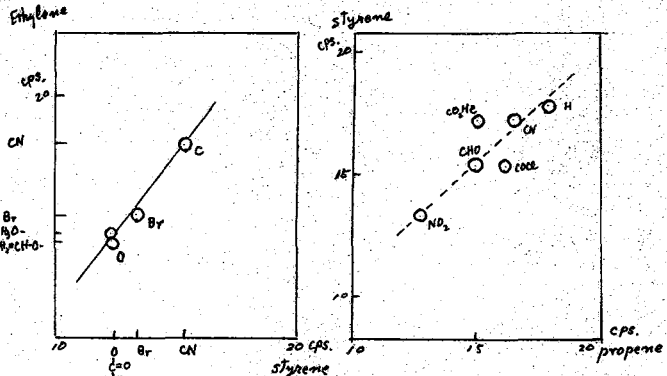
換アロペンの系列における $J_{H_A H_B}$ の値について、今回測定した結果は十分ではないが、 w -置換スチレンの場合と 1.C.P.S. 以下の誤差では同等であると同時に、両者の間にあらわす相関性が計り難いことと同様である(オク国)。各系列について置換基として対応する数が十分多くないのでわがに断定しかたいが、 $J_{H_A H_B}$ の大きさは、一置換エチレン > w -置換スチレン ≈ 1-置換アロペン の順となつてゐる。この結果は二重結合の炭素原子のまわりの電子密度がエチレンではスチレンにおけるより大きく、後者は 1-置換アロペンとほぼ同等であることを示してゐる。このことは、各系列を比較する場合、個々の化学シフトの値がエチレンにおいて最も大きい事実と矛盾しない。特にスチレンとエチレンを比べる場合には、前者におけるベンゼン環の遮蔽効果を考慮しても補つて余りあるからである。従つて Coupling constants は δ_{H_A} または δ_{H_B} とある種の相関性を有しておらず、後磁気共鳴吸収における置換基効果を判定するには、両者を統一的に考察しなければならぬのである。W. Brügel は多數のビニル化合物 $\text{CH}_2=\text{CHX}$ について核磁気共鳴吸収を測定し、各置換基の極性効果(感応および共鳴効果)は特定のプロトンの化学シフトだけに基いて判定されるべきものではなく、一連の系列化合物にあっては、 $J_{HH'}/\delta_{H-H'}$ (H, H' はトランス) で定義されたパラメーターに反映されるべきであると結論している。¹⁾ これはオレフィン化合物のアロペン磁気共鳴吸収における置換基効果を、二重結合を構成する 2 個の炭素原子のまわりの電子密度のあらわす平均によって論すべきことを示してゐる。

オ 3 表 $\text{CH}_2=\overset{\text{CH}_3}{\text{C}}-\overset{\text{H}_B}{\text{C}}-\text{R}(\text{C})$

置換基	$J_{H_A H_B}$	$J_{H_A X}$	$J_{H_B X}$	$J_{H_A H_C}$	$J_{H_B H_C}$
H	18	6.6			
CH_3		~4.5			
CN	16.5	6.6	1.7		
NO_2	12.8	5.5	<0.8		
CO_2Me	14.8	6.9			
COCl	15.4	7.0			
CHO	15	8.5	1.1	0	~7.5
ϕ	6.0				
Br					

オ 6 図

オク国



文 献

- 1) H. S. Gutowsky, D. W. McCall, B. R. McGarvey and L. H. Meyer, J. Am. Chem. Soc., 74, 4809, (52)
- 2) R. W. Taft, Jr., J. Am. Chem. Soc., 79, 1045, (57)
- 3) P. L. Corio and B. P. Dailey, ibid., 78, 3043, (56)
- 4) E. O. Bishop and R. E. Richards, Mol. Phys., 3, 118, (60); E. B. Whipple, J. H. Goldstein and L. Mandell, J. Am. Chem. Soc., 82, 3010, (60); L. M. Jackman and R. H. Wiley, J. Chem. Soc., 1960, 2881
- 5) 柏木謙, 齋藤清, 沢田義, 沢田義, 日化第 13 年会講演
- 6) C. Brown and Y. Okamoto, J. Am. Chem. Soc., 79, 1913 (57)
- 7) Y. Yukawa and Y. Tsuno, Bull. Chem. Soc. Japan, 32, (59)
- 8) G. S. Reddy, J. H. Goldstein and L. Mandell, J. Am. Chem. Soc., 83, 1300 (60)
- 9) C. N. Banwell et al., Mol. Phys., 3, 351, (60)
- 10) 佐池英三, 物性論研究 2 集 9-6 (61)
- 11) W. Brügel et al., Z. f. Elektrochem., 64, 1121 (60)

1-5 ベンゼンのハロゲン置換体のプロトンシフト

(京大工) 米沢貞次郎 岩前博子 福井謙一

置換基をもたない芳香族炭化水素、あるいは異環芳香族炭化水素のプロトンシフトは、^{①~④}π環電流の作用磁場のみを考慮して論じられ、かなりの成果があげられている。しかしながらこれらの置換体のうち、もっとも基本的なベンゼンモノ置換体のプロトンシフトの理論的研究は数少く、わざかに Corio, Dailey らの測定結果を中心とした報告があこなわれており、彼等は、各種モノ置換体のシフトを測定し、そのオルト、メタ、パラ位のプロトンシフトと置換基のハメット σ 定数との関連を論じているにすぎない。

本報告では、ベンゼン置換体の元電子および骨格の電子状態をいすれも單純 LCAO MO 法を用いて計算し、ハロゲン置換体のプロトンシフトに及ぼす次の 4 項目について検討した。

1. 水素原子の反磁性遮へい係数
2. π環電流の効果
3. ハロゲンの磁気異方性分極による効果
4. 隣接炭素原子の磁気異方性分極による効果

1. 水素原子の反磁性遮へい係数

均一外部磁場をかけたときに、水素原子に生じる反磁性電流が、

水素原子自身に作用する磁場による反磁性遮へい係数は、次式で与えられる。^{⑤ ⑥}

$$\sigma_{dia} = \frac{e^2}{3mc^2} \int \frac{\rho(r)}{r} dr \quad (1)$$

r は核を原点としたときの考え方でいる真の位置ベクトル、 $\rho(r)$ は電子密度である。この水素原子の電子密度 (σ 電子密度) を求めるにあたっては、 σ の單純 LCAO MO 法を用い、 σ 骨格における σ 電子分布を求めた。この方法によれば、 σ 電子系の分子軌道 ψ は、炭素原子の SP^2 軌道 ϕ_{sp^2} 、水素原子の $1S$ 軌道 ϕ_{1s} の一次結合で表わされる。

$$\psi_j = \sum_i C_{ij} \phi_{sp^2} + \sum_k C_{kj} \phi_{1s}$$

これより、單純 LCAO MO 法の手続きにより、 σ 電子分布を求めたが、その際、重なり積分は無視し、炭素、水素原子に関するクーロン積分、共鳴積分は、次のとくとした。

$$d_C = \int \phi_{sp^2} H \phi_{sp^2} dz = \alpha$$

$$\beta_{CC} = \begin{cases} \int \phi_{sp^2} H \phi_{sp^2} dz = \beta & (\text{隣接炭素原子の } SP^2 \text{ 軌道間の積分}) \\ \int \phi_{sp^2} H \phi_{sp^2} dz = 0.38\beta & (\text{同一炭素原子の } SP^2 \text{ 軌道間の積分}) \end{cases}$$

$$d_H = \int \phi_{1s} H \phi_{1s} dz = \alpha - \alpha \beta$$

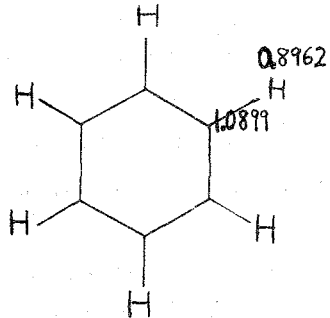
$$\beta_{CH} = \int \phi_{sp^2} H \phi_{1s} dz = 0.94\beta$$

なお、ハロゲン原子に対するパラメーターは、次のようにとった。

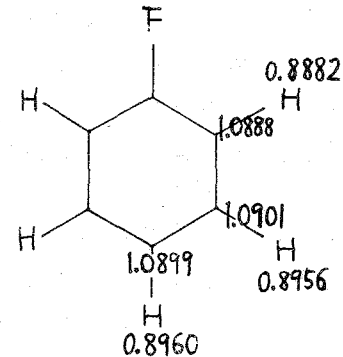
$$\begin{aligned}\delta_F &= \alpha + 0.7\beta & \delta_{Cl} &= \alpha + 0.3\beta & \delta_{Br} &= \alpha + 0.25\beta \\ \beta_{C-F} &= 0.45\beta & \beta_{C-Cl} &= 0.6\beta & \beta_{C-Br} &= 0.5\beta\end{aligned}$$

えられたσ電子分布図の一例をあげると、

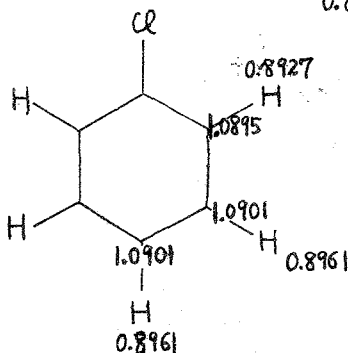
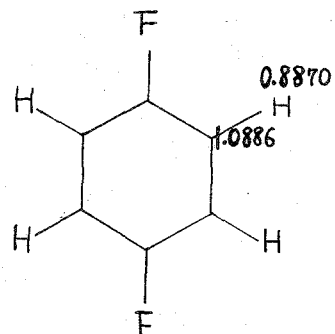
(ベンゼン)



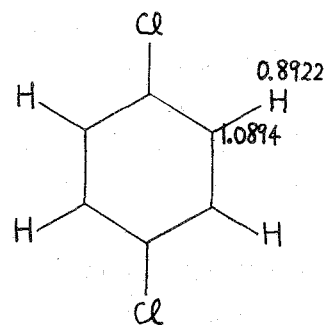
(フルオルベンゼン)



(パラ-ジーフロアルベンゼン)



(クロルベンゼン)



(パラ-ジークロルベンゼン)

これより、ベンゼンのハロゲン置換体の各プロトンは、ベンゼンのプロトンに比し、いずれも、小さいσ_{dia}を与えることがわかり、また上の置換体において、σ_{dia}の大きさは、パラ > メタ > オルトであることがわかる。

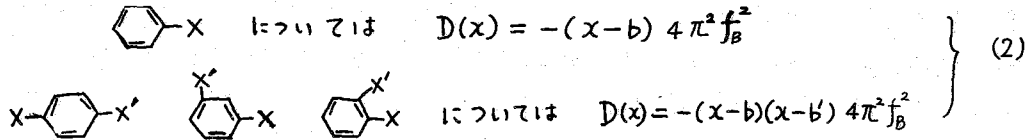
2. ベンゼンπ環電流の効果

次に、ベンゼンのハロゲン置換体において、π環電流による効果が、置換基の導入によって、どのように変化するかを検討するため、単純LCAO MO法を用い、Popleの方法に従って、π環電流を求めた。すなむち、ゲージ変換した炭素の2Pπ原子軌道X_sの一次結合として、分子軌道ψ_jを表わす。

$$\Psi_j = \sum_s C_{js} X_s = \sum_s C_{js} \phi_s \exp\left\{-\frac{ie}{\hbar c} A_s \cdot \mathbf{r}_j\right\}$$

ただし、ここで ψ_j は磁場のかなっていないときの炭素の2Pπ原子軌道、C_{js} は j 番目の分子軌道における s 番目の炭素原子の2Pπ軌道の係数、A_s は任意の原点からみた原子 s の中心におけるベクトルポテンシャル、r_j は任意の原点からの位置ベクトル、 $\hbar = \frac{h}{2\pi}$ で h

はプランク定数である。この分子軌道を用いて、重なり積分を無視して作った永年方程式を、外部磁場は小さいものとして展開する。ベンゼンのハロゲン一置換体および二置換体について、計算した結果、次式を得た。



ただし、 X, X' は、置換基であって、 b, b' はハロゲンのクーロン積分、 $d_x = d + b\beta$, $d_{x'} = d + b'\beta$ にあらわれる係数である。また、 $X = -\frac{d-\epsilon}{\beta}$, $f_B = \frac{e}{hc} H \times (\text{Benzene 環の面積})$ で、 $D(x)$ は、外部磁場のない場合の、ハロゲン置換体の永年方程式の展開式である。これの一番目の根を x_0^L とすると、(2)式の根は、次の(3)式の形で与えられ、また、各 x_i^L は、(4)式より求めうる。

$$x_i^L = x_0^L + 4\pi^2 f_B^2 x_i^{L'}$$

$$x_i^{L'} = f(x_0^L) / \left(\frac{dD}{dx} \right)_{x=x_0^L}, \quad (4)$$

これより、ベンゼンと、ベンゼンのハロゲン置換体のπ環電流の比は、(5)式で与えられる。

$$\frac{J(\text{置換体})}{J(\text{ベンゼン})} = \frac{\sum_{i=1}^{\infty} \nu_i x_i^{L'(\text{置換体})}}{\sum_{i=1}^{\infty} \nu_i x_i^{L'(\text{ベンゼン})}} \quad (5)$$

ただし、 ν_i は i 番目の軌道を占める電子数である。計算結果の一部を第一表にしめす。

第一表

~~J(置換体)~~
~~J(ベンゼン)~~

X	$\text{C}_6\text{H}_5-\text{X}$	$\text{X}-\text{C}_6\text{H}_4-\text{X}$	$\text{X}'-\text{C}_6\text{H}_4-\text{X}$	$\text{X}-\text{C}_6\text{H}_4-\text{X}'$
F	0.9760	0.9532	0.9500	0.9532
Cl	0.9744	0.9506	0.9471	0.9505
Br	0.9719	0.9477	0.9435	0.9476

この結果、各置換体のπ環電流は、ベンゼンよりも、わずかながら減少し、置換体の各プロトンの吸収は、高磁場側にシフトする二ヒガーカーがある。

3. ハロゲンの磁気異方性分極による効果

次に、ベンゼンのハロゲン置換体において、ハロゲン原子による磁気異方性分極がプロトンシフトに及ぼす影響をしらべるために、異方性分極効果を Pople の方法⁹⁾に従って求めた。すなわち、外部磁場によって、S 番目⁹⁾の原子（ハロゲン又は炭素）に誘起された常磁性電流による磁気能率 μ_x, μ_y, μ_z が作る磁場にモヒズく。プロトンの遮へい定数は、次の(6)式で与えられる。

$$-\sigma = \frac{1}{3R^3H} \{ (3\cos^2\theta_x - 1)\mu_x + (3\cos^2\theta_y - 1)\mu_y + (3\cos^2\theta_z - 1)\mu_z \} \quad (6)$$

こゝに、 $\cos\theta_x, \cos\theta_y, \cos\theta_z$ は、ベクトル R の方向余弦であり、ベクトル R は、S 番目の原子からみたプロトンの位置ベクトルである。座標軸を下図のようにとると、各 μ_x, μ_y, μ_z は、

$$\begin{aligned} \mu_x(x-R) &= 2\left(\frac{e\hbar}{mc}\right)^2 H \sum_j \frac{(C_j^L)^2}{\epsilon_j^* - \epsilon_x} \\ \mu_y(x-R) &= 2\left(\frac{e\hbar}{mc}\right)^2 H \left[\sum_j \frac{1}{\epsilon_j^* - \epsilon_x} (a^2(C_j^L)^2 + \sqrt{\frac{2}{3}} ab C_a^L C_b^L) + \sum_i \frac{1}{\epsilon_i^* - \epsilon_x} \{ (C_i^L)^2 (G_i^L)^2 + \sqrt{\frac{2}{3}} a^* b^* C_a^L G_b^L \} \right] \\ \mu_z(x-R) &= 2\left(\frac{e\hbar}{mc}\right)^2 H \frac{(G_x^L)^2}{\epsilon_x^* - \epsilon_x} \end{aligned} \quad (7)$$

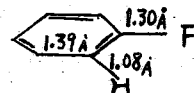
となる。ただし、(7)式を導くにあたっては、局在化した分子軌道を用い、各波動函数は、

次のようにした。C-Xσ軌道函数を $\Psi_{\sigma} = a\phi_{\text{C}} + b\phi_{\text{X}}$, $\Psi_{\sigma}^* = a^*\phi_{\text{C}} + b^*\phi_{\text{X}}$, エネルギーを E_{σ} , E_{σ}^* とし、ハロゲンの lone pair を $\Psi_{\text{L}} = U_{\text{np}}\psi$, エネルギーを E_{L} , パルボラ分子軌道は被り軌道を $\Psi_{\text{p}} = \sum_i C_{\text{p}}^i \phi_{\text{p}_i}$, 空軌道を $\Psi_{\text{f}} = \sum_k C_{\text{f}}^k \phi_{\text{f}_k}$, エネルギーを E_{f} , E_{p} とした。たゞし Ψ_{f} は非結合性軌道をしめし、 ϕ_{p} はハロゲンの $2P_X$ 原子軌道、中は炭素の SP^2 混成軌道、 ϕ_{f} は nP_Z 原子軌道であり、 $a = U_{\text{np}}\psi$, $\phi_{\text{p}} = \frac{1}{\sqrt{3}}U_{2S} + \frac{\sqrt{2}}{3}U_{2PZ}$, $\phi_{\text{f}} = U_{2PZ}$ とした。 C_{p}^i は i 番目の分子軌道における i 番目の原子の nP_Z 原子軌道の係数である。

たゞえ、文献21の値を用いて、フルオルベンゼン、パラジフルオルベンゼンについて(6)式を計算す
る。下の表のような結果が得られた。たゞし原子間距離は下図のごとくとした。

表2

O	オルト(0.0378) メタ(0.0119) パラ(0.0114)	0.0539



これより、フッ素の磁気異方性分極による効果は、いずれも高磁場側へシフトさせるものであることがわかる。

4. 隣接炭素原子の磁気異方性分極による効果。

次に、プロトンに隣接した炭素原子の常磁性電流にもとづく、プロトンの遮へい定数 σ を(6)式により求めた。波動函数は(7)式で用いた局在化したσ軌道の代りに、二中心に局在化した分子軌道を用いた。すなわち

$$\left\{ \begin{array}{l} \text{C}_1-\text{H}\sigma\text{軌道}; \Psi_{\text{C}_1\text{H}} = a\phi_{\text{C}_1} + b\phi_{\text{H}}, \Psi_{\text{C}_1\text{H}}^* = a^*\phi_{\text{C}_1} + b^*\phi_{\text{H}}, \text{エネルギーは } E_{\text{C}_1\text{H}}, E_{\text{C}_1\text{H}}^* \\ \text{C}_1-\text{C}_2 \quad ; \quad \Psi_{\text{C}_1\text{C}_2} = c\phi_{\text{C}_1} + d\phi_{\text{C}_2}, \quad \Psi_{\text{C}_1\text{C}_2}^* = c^*\phi_{\text{C}_1} + d^*\phi_{\text{C}_2}, \text{エネルギーは } E_{\text{C}_1\text{C}_2}, E_{\text{C}_1\text{C}_2}^* \\ \text{C}_1-\text{C}_3 \quad ; \quad \Psi_{\text{C}_1\text{C}_3} = e\phi_{\text{C}_1} + f\phi_{\text{C}_3}, \quad \Psi_{\text{C}_1\text{C}_3}^* = e^*\phi_{\text{C}_1} + f^*\phi_{\text{C}_3}, \quad \text{エネルギーは } E_{\text{C}_1\text{C}_3}, E_{\text{C}_1\text{C}_3}^* \end{array} \right.$$

$$\text{たゞし } \phi_{\text{C}_1} = \frac{1}{\sqrt{3}}U_{2S} + \frac{\sqrt{2}}{3}U_{2PZ}, \quad \phi_{\text{C}_2} = \frac{1}{\sqrt{3}}U_{2S} - \frac{1}{\sqrt{6}}U_{2Px} - \frac{1}{\sqrt{2}}U_{2Py}, \quad \phi_{\text{C}_3} = \frac{1}{\sqrt{3}}U_{2S} - \frac{1}{\sqrt{6}}U_{2Px} + \frac{1}{\sqrt{2}}U_{2Py}$$

$$\phi_{\text{C}_2} = \frac{1}{\sqrt{3}}U_{2S} + \frac{1}{\sqrt{6}}U_{2Px} + \frac{1}{\sqrt{2}}U_{2Py}, \quad \phi_{\text{C}_3} = \frac{1}{\sqrt{3}}U_{2S} + \frac{1}{\sqrt{6}}U_{2Px} - \frac{1}{\sqrt{2}}U_{2Py}$$

$$\text{π分子軌道; 被り軌道 } \Psi_{\text{p}} = \sum_i C_{\text{p}}^i \phi_{\text{p}}, \text{ 空軌道 } \Psi_{\text{f}} = \sum_k C_{\text{f}}^k \phi_{\text{f}}, \text{ エネルギーは } E_{\text{p}}, E_{\text{f}}$$

ヒレル t_0 。このとき各 μ_x, μ_y, μ_z は次式で与えられ。

$$\mu_x = \left(\frac{4\pi e}{mc}\right)^2 H \left\{ \frac{e^2}{2} \sum_j \frac{(C_1^j)^2}{E_j - E_{\text{C}_1\text{C}_2}} - \frac{cd}{2} \sum_j \frac{(C_1^j)(C_2^j)}{E_j - E_{\text{C}_1\text{C}_2}} + \frac{e^2}{2} \sum_j \frac{(C_1^j)^2}{E_j - E_{\text{C}_1\text{C}_3}} - \frac{ef}{2} \sum_j \frac{(C_1^j)(C_3^j)}{E_j - E_{\text{C}_1\text{C}_3}} + \frac{(C^*)^2}{2} \sum_i \frac{(C_i^i)^2}{E_{\text{C}_1\text{C}_3}^* - E_i} - \frac{cf^*}{2} \sum_i \frac{(C_i^i)(C_3^i)}{E_{\text{C}_1\text{C}_3}^* - E_i} + \frac{(C^*)^2}{2} \sum_i \frac{(C_i^i)^2}{E_{\text{C}_1\text{C}_2}^* - E_i} + \frac{(C^*)^2}{2} \sum_i \frac{(C_i^i)(C_2^i)}{E_{\text{C}_1\text{C}_2}^* - E_i} \right\}$$

$$\mu_y = \left(\frac{4\pi e}{mc}\right)^2 H \left\{ \frac{2}{3}d^2 \sum_j \frac{(C_1^j)^2}{E_j - E_{\text{C}_1\text{H}}} + \frac{1}{6}(C_1^j)^2 \sum_j \frac{(C_1^j)(C_2^j)}{E_j - E_{\text{C}_1\text{C}_2}} - \frac{1}{6}cd \sum_j \frac{(C_1^j)(C_3^j)}{E_j - E_{\text{C}_1\text{C}_3}} + \frac{1}{6}e^2 \sum_j \frac{(C_1^j)^2}{E_j - E_{\text{C}_1\text{C}_3}} - \frac{1}{6}ef \sum_j \frac{(C_1^j)(C_3^j)}{E_j - E_{\text{C}_1\text{C}_3}} - \frac{2}{3}(C^*)^2 \sum_i \frac{(C_i^i)^2}{E_{\text{C}_1\text{C}_3}^* - E_i} + \frac{1}{6}(C^*)^2 \sum_i \frac{(C_i^i)(C_3^i)}{E_{\text{C}_1\text{C}_3}^* - E_i} - \frac{1}{6}C^*d^* \sum_i \frac{(C_i^i)(C_2^i)}{E_{\text{C}_1\text{C}_2}^* - E_i} + \frac{1}{6}(C^*)^2 \sum_i \frac{(C_i^i)^2}{E_{\text{C}_1\text{C}_2}^* - E_i} - \frac{1}{6}f^*e^* \sum_i \frac{(C_i^i)(C_2^i)}{E_{\text{C}_1\text{C}_2}^* - E_i} \right\}$$

$$\mu_z = \left(\frac{4\pi e}{mc}\right)^2 H \left\{ \frac{1}{E_{\text{C}_1\text{C}_3}^* - E_{\text{C}_1\text{H}}} \frac{(C^*)^2}{3} + \frac{1}{E_{\text{C}_1\text{C}_3}^* - E_{\text{C}_1\text{C}_2}} \frac{(C^*)^2}{3} + \frac{1}{E_{\text{C}_1\text{C}_2}^* - E_{\text{C}_1\text{C}_3}} \frac{(C^*)^2}{3} + \frac{1}{E_{\text{C}_1\text{H}}^* - E_{\text{C}_1\text{C}_3}} \frac{(C^*)^2}{3} + \frac{1}{E_{\text{C}_1\text{H}}^* - E_{\text{C}_1\text{C}_2}} \frac{(C^*)^2}{3} + \frac{1}{E_{\text{C}_1\text{C}_2}^* - E_{\text{C}_1\text{C}_3}} \frac{(C^*)^2}{3} \right\}$$

これらに適当な値を代入し、(6)式を用いて隣接炭素原子の異方性分極が、プロトンシフトにちよ
ばず影響を求めた。

[文献]

- H.J. Bernstein, et al., Proc. Roy. Soc., A 236, 515 (1956)
- J.S. Waugh, et al., J. Am. Chem. Soc., 77, 846 (1957)
- C.E. Johnson, et al., J. Chem. Phys., 29, 1012 (1958)
- R. McWeeny, Mole. Phys., L, 311 (1956)
- J.A. Pople, Mole. Phys., L, 176 (1958)
- 羽里, 日化, 78, 1221 (1957); J. Chem. Phys., 27, 605 (1957)
- 伊藤, J. Am. Chem. Soc., 80, 3501 (1958)
- K. Fukui, et al., Bull. Chem. Soc. Japan, 34, No. 11 (1961)
- J.A. Pople, Proc. Roy. Soc., A 239, 541 (1957)
- J.A. Pople, Proc. Roy. Soc., A 239, 550 (1957)
- T. Yonegawa, et al., Bull. Chem. Soc. Japan, 34, 707 (1961)

1 - 6 化学結合のイオン性と I-I-coupling の結合定数との関係

東京工業大学物理 広池英子

最近、N.M.R. の実験の分野で、炭化水素分子の末端の原子（これを R と書くことにする）をより電気陰性度の大きなものでおきかえるとプロトン H, H' 間の I-I-coupling の結合定数, $J_{HH'}$, が減少する、という興味のある結果がいくつか発表されてる。¹⁾ こゝでは、著者の以前の計算²⁾を基礎として、上記の実験結果が説明できるということを報告する。

著者の $J_{HH'}$ に対する計算²⁾は、Ramsey³⁾の式に基礎を置いてる。すなわち、計算は、2次の摂動法によるものであり、基底状態と励起状態とのエネルギー差を適当な平均値, ΔE , でおきかえるという近似によつて、励起状態の波動函数を消去してある。さらに、著者の計算では、基底状態の波動函数, Ψ , は、R.B. 法にしたがい正準結合構造の組, $\{\Psi\}$, の1次結合としてあらわした。このとき $\{\Psi\}$ を A): H-H' 結合をふくむもの、B): H-H' 結合をふくまないもの、の2組に分けた。すなわち Ψ を次のような形に表した。

$$\Psi = C_0 \Psi_0 + \sum_{M\lambda a} C_{M\lambda a} \Psi_{M\lambda a} + \sum_{M\lambda b} C_{M\lambda b} \Psi_{M\lambda b} \quad (1)$$

こゝで、 Ψ_0 は perfect paring の近似的な結合構造であり、 $\Psi_{M\lambda a}$, $\Psi_{M\lambda b}$ はそれぞれ A), B) の組に属する結合構造である。M は問題の結合構造がふくむ“化学結合ではない結合”の本数、入は問題の結合構造の Rumer の图形と Ψ の Rumer の图形を重ねたときにできる多角形の個数である。著者は、(1) の Ψ を使って $J_{HH'}$ に対する式を導出すると同時に、つきのような近似式（これは、いくつかの条件の下で成立する）をも導出した。

$$J_{HH'} = -\left(\frac{2}{3}\right)\left(\frac{8\beta h}{3}\right)^2 Y_p^2 (\Delta E)^{-1} 2C_0 \sum_{M\lambda a} C_{M\lambda a} Q_{M\lambda a, 0} \quad (2)$$

$$Q_{M\lambda a, 0} = (\Psi_{M\lambda a} | \sum_{i,j} \delta(T_{iH}) \delta(T_{jH'}) S_i \cdot S_j | \Psi_0)$$

である。

今度の計算では、(2) 式から出発することとした。 C_0 , $C_{M\lambda a}$, ΔE は不变であるといふ假定のもとに計算を進めると、R をえたときの $J_{HH'}$ の変化を示す式は、

$$J_{HH'} \propto N(hx) \{1 + I(h) S(hx)\} N(kx) \{1 + I(k) S(kx)\} \quad (3)$$

であるといふことがわかる。 $N(hx)$ は化学結合 H-X (X は H と化学結合を作つてる原子) をあらわす波動函数の軌道部分, ϕ_{hx} の規格化定数で、その具体的な形は、

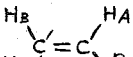
$$N(hx) = z^{-\frac{1}{2}} \left\{ 1 + S^2(hx) + 2S(hx)(I(h) + I(x)) + S^2(hx) I(h) I(x) + \frac{1}{2} I^2(h) + \frac{1}{2} I^2(x) \right\}^{-\frac{1}{2}} \quad (4)$$

であり、 $I(h)$, $I(x)$ は ϕ_{hx} のイオン項の係数である。(3)式は、 $J_{HH'}$ が化学結合 H-X, H'-X' の性質のみに依存しており、他の化学結合の性質には無関係であることを示してゐる。

こゝで著者は、Coulson⁴⁾にしたがつて、化学結合 H-X のイオン性 α , をつきのように定義した。

$$\alpha = I_{\perp} \sqrt{I_{\perp}^2 / [2\{1 + S^2(hz)\} + I_{\perp}^2]} \quad (5)$$

ここで、 $I_{\perp} = I(x) - I(h)$ である。Coulson の定義では α は必ず正であるが、著者は H^+X^- と H^-X^+ を区別するため、便宜上、 α に正負の符号をあたえた。 $H'-X'$ 結合のイオン性、 α' , も (5) と同様に定義される。

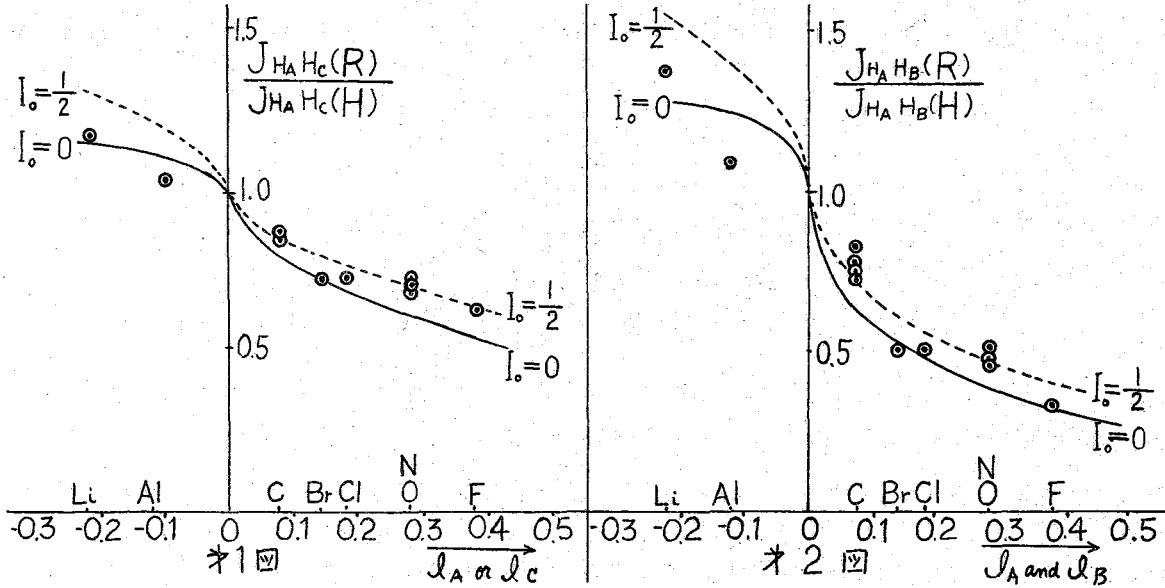
つきに、 分子における J_{HAHB} , J_{HAHC} , J_{HBHC} (これらを $J_{HAHB}(R)$, $J_{HAHC}(R)$, $J_{HBHC}(R)$ とかくことにする) の測定値と、著者の計算の結果との比較をする。実験と理論とを比較するにあたつて、著者は、 $HA-C$, $HB-C'$, $HC-C'$ 結合のイオン性 α_A , α_B , α_C はつきの式であたえられたと假定した。

$$\alpha_A = k_A(n_R - n_H), \quad \alpha_B = k_B(n_R - n_H), \quad \alpha_C = k_C(n_R - n_H) \quad (6)$$

n_R , n_H は、原子 R, H の電気陰性度である。そして、 $J_{HAHB}(R)/J_{HAHB}(H)$, $J_{HAHC}(R)/J_{HAHC}(H)$ の実験値と計算値が最もよく一致するよう $= k_A, k_B, k_C, J_{HAHB}(H)$, $J_{HAHC}(H)$ の値をきめた結果はつきのようになつた。

$$k_C \ll k_A \approx k_B \approx 0.2, \quad J_{HAHB}(H) \approx 14 \text{ cps}, \quad J_{HAHC}(H) \approx 20.5 \text{ cps} \quad (7)$$

オ1図、オ2図はこのときの実験と理論の比較を示したものである。



1) Mol. Phys. 351, Can. J. Chem. 38 2226, J. Amer. Chem. Soc. 1306, J. Phys. Chem. 65 224.

2) J. Phys. Soc. Japan 15 270, 3) Phys. Rev. 21 303, 4) Valence, 5) J. Chem. Phys. 11 1278, 6) Prog. Theo. Phys. 25 215.

$J_{HBHc}(R)$ の測定値は、R が C と Br の間で符号が逆転している。このことは、(3)式によつて説明することができない。 $J_{HBHc}(R)$ だけが(3)式によつて説明できないという理由はつきのようである。近似式(2)が成立するためには、 C_{Mla} 中の主要なものの大きさが $1/40$ より大きく、また、 C_{Mla} と C_{Mlb} の大きさのオーダーがだいたい等しくなければならぬ。ところが、Karplus 等⁵⁾ が示してゐるよう、このばあいには C_{21a} (このばあいには、 C_{21a} が C_{Mla} 中の主要なものである) の値が非常に小さい。したがつて、(2)は、 $J_{HBHc}(R)$ に対して近似式としての意味を持たない。ゆえに、(2)式から導出した(3)式を $J_{HBHc}(R)$ に対して適用することはできない。

最後に近似式(2)で無視した項のなかで最も大きい項、 $C_0^2 Q_{00}$ を考慮に入れて(3)を修正して計算してみた。その結果、

$$k_c \ll k_A \approx k_B \approx 0.15, J_{HAHb}(H) \approx 13 \text{ cps}, J_{HAHc}(H) \approx 20.5 \text{ cps} \quad (8)$$

という値を得た。オラ図、オタ図は、この場合の理論と実験の比較を示したものである。(8)の k_A, k_B, k_c の値を(6)に代入すると R = F のばあいの $\delta_A, \delta_B, \delta_c$ の値は、

$$\delta_c \ll \delta_A \approx \delta_B \approx 0.29 \quad (9)$$

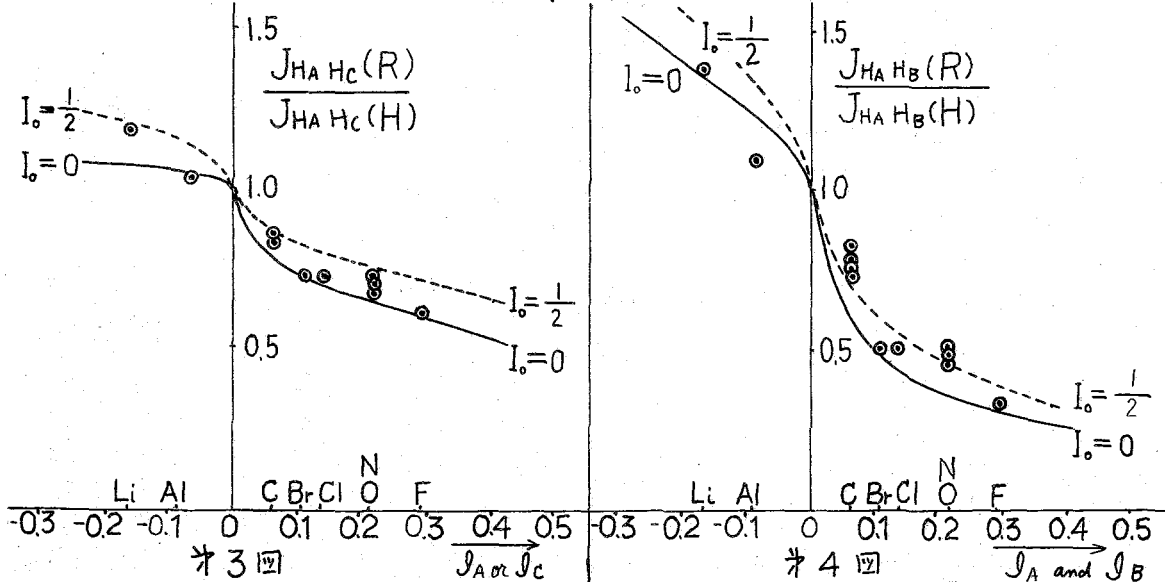
となる。一方、2原子分子の分極に関する大旗の理論⁶⁾をこの場合に適用して C-F 結合のイオン性、 δ_F を求めると、

$$\delta_F \approx -0.6 \quad (10)$$

となる。したがつて、

$$\delta_A + \delta_B + \delta_c + \delta_F \approx 0 \quad (11)$$

である。(11)式は、F 原子に集まつてゐる電子量が H_A, H_B, H_c から流出した電子量に等しいことを示しており、(8)式の結果が plausible であることを示してゐる。



1-7 NMRによるグリコール類の水素結合

[京大工]福井謙一・米沢貞次郎・齊藤肇 [日本電子]竹内誠
[金沢大理]松岡慎一 [名大工]服部秀三

1. まえがき

グリュールを溶媒とするハロゲン化アルキルと、フッ化カリウムの求核的置換反応
 $RX + KF \rightarrow RF + KX$ において、用い3グリコールの種類によって反応の收率がいちじるしく異なることが見出されている。

* 1 表

反応溶媒	沸点 °C	誘電率 ε	KF 溶解度 %	フッ化-n-ヘキシル收率 %
$HOCH_2CH_2OH$	197.8	37.7 (25°C)	約 15 (160°C)	65
$CH_3CH(OH)CH_2OH$	188.2	32.0 (20°C)	" 14 (")	63.2
$HOCH_2CH_2CH_2OH$	214.2	35.0 (20°C)	" 6 (")	26.5
$CH_3CH_2CH(OH)CH_2OH$	191~192	-	ややとげ3	58.2
$CH_3CH(OH)CH_2CH_2OH$	206.5	-	"	0
$HOCH_2CH_2CH_2CH_2OH$	230	-	"	26.5
$CH_3CH(OH)CH(OH)CH_3$	182	-	"	48.3
トランスシクロヘキサンジオール	(mP 103)	(μ 2.39)	約 7.9 (150~155°C)	29.8
シスシクロヘキサンジオール	(mP 98)	(μ 2.33)	" 7.7 (")	24

すなわち、OH がとなりあつた1,2ジオールでは收率が良好であるのに対し、1,3,1,4ジオールではあまり良くない。この理由として、グリュールの分子内および分子内水素結合、とくに分子内水素結合が反応に関係していると考えられている。

グリコール類の水素結合についての構造論研究は Kuhn によって赤外線吸収を用いておこなわれた。²⁾ Kuhn は四塩化炭素中のきわめて薄い濃度(0.005 molar)で、一連のグリュールについて分子内水素結合による OH 伸縮振動、自由 OH 伸縮振動を確認し、その二つの波数の差 $\Delta\nu$ と分子内水素結合の間隔の間に次の関係を見出しました。

$$\Delta\nu = 250 \times 10^{-8} / \mu - 74 \quad \mu : X-H \cdots Y$$

* 2 表に Kuhn の得た結果と、われわれの得た結果をあわせておせよ。

* 2 表 分子内水素結合 [OH 伸縮振動] (<) 内の数字は Kuhn の結果である。

グリュール	自由OH 伸縮	分子内水素結合 OH 伸縮	$\Delta\nu$	グリュール	自由OH 伸縮	分子内水素結合 OH 伸縮	$\Delta\nu$
$HOCH_2CH_2OH$	3740 (3644s)	3700 (3612s)	40 (32)	$HOCH_2CH_2CH_2CH_2OH$	3670 (3634s)	3420 cm^{-1} (3478s)	250 cm^{-1} (156)
$CH_3CH(OH)CH_2OH$	3740	3700	40	$CH_3CH(OH)CH(OH)CH_3$	3660	3590	70
$HOCH_2CH_2CH_2OH$	3670 (3636s)	3550 (3558s)	120 (78)	$HOCH_2CH_2CH_2CH_2OH$	3680	3650	30
$CH_3CH_2CH(OH)CH_2OH$	3660	3580	80	トランスシクロヘキサンジオール	3740 (3634s)	3690 (3602s)	50
$CH_3CH(OH)CH_2CH_2OH$	3680	3550	130	シスシクロヘキサンジオール	3740 (3626s)	3700 (3547s)	40

純液体での赤外線スペクトルは、 $3330\sim3340\text{ cm}^{-1}$ の $\nu = 3$ に極大があらわれ、これは分子内水素結合に帰属されるが、この吸収はきわめてブロードである。また $3520\sim3530\text{ cm}^{-1}$ に小さな肩があられた。これは分子内水素結合に相当する吸収とも考えられるが、確認は困難である。そこでわれわれは NMR によって OH のプロトンを測定し、 δ あるいは濃度におけるグリコール類の水素結合の状態を明きらかにしようとした。

2. 測定結果その1 (純液体)

前述のごとく赤外線吸収のデータからはグリコールの種類による違いが確認できなかつた。そこで試料を NMR で測定した結果はつきの通りである。測定は室温でなされた。

表3 純液体のNMR

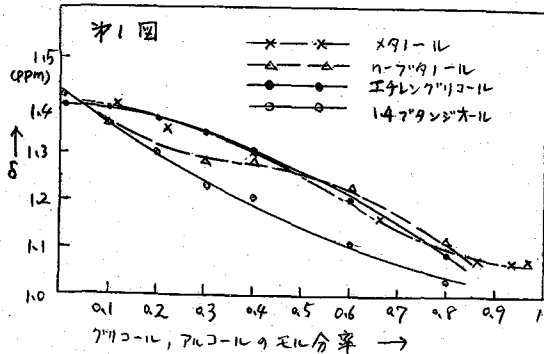
グリコール類	$\alpha\text{-CH}_2$ 基準	$\beta\text{-CH}_2$ 基準	CH_3 基準
$\text{CH}_2(\text{OH})\text{CH}_2(\text{OH})$	-1.69	-	-
$\text{CH}_3\text{CH}(\text{OH})\text{CH}_2\text{OH}$	-1.67	-	-3.93
$\text{CH}_3\text{CH}(\text{OH})\text{CH}(\text{OH})\text{CH}_3$	(-1.76)*	-	-3.96
$\text{HOCH}_2\text{CH}_2\text{CH}_2\text{OH}$	-1.57	-3.36	-
$\text{CH}_3\text{CH}(\text{OH})\text{CH}_2\text{CH}_2\text{OH}$	-1.53	-	-3.89
$\text{HOCH}_2\text{CH}_2\text{CH}_2\text{CH}_2\text{OH}$	-1.76	-3.65	-
$\text{HOCH}_2\text{CH}_2\text{CH}_2\text{CH}_2\text{CH}_2\text{OH}$	-1.72	-3.65	-

* CH_3 プロトン基準

この表より δ は OH のプロトンシフトはいずれも分子中の他のプロトンを基準にとったものである。これよりあきらかにされることは、水素結合のシフトは炭素数4のブタニルシオールがもっとも大きい。この炭素数と分子内水素結合の強さとの間に何らかの関係が存在することが予想される。

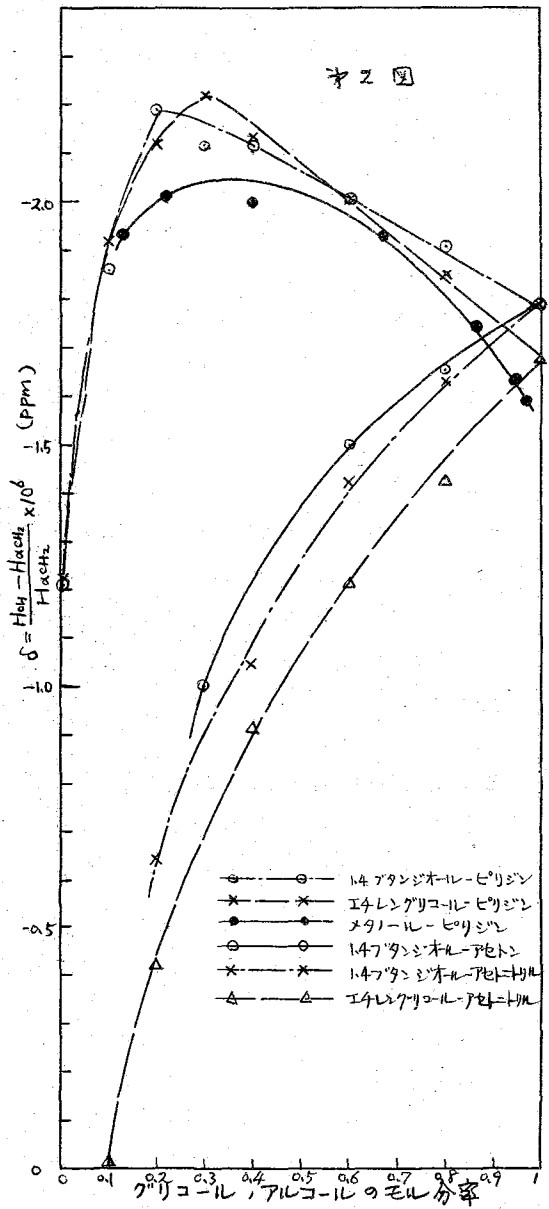
3. 測定結果その2 (極性溶媒中の測定)

グリコール類の分子内、分子間水素結合によるプロトンシフトを測定するには無極性溶媒中にあけるすい濃度で測定するか、または温度をかけてシフトを論じる事も考えられるが、溶解度の問題をあってここでは極性の溶媒を用いて各種の濃度にあけるシフトを測定した。まず測定にあたっては、溶媒自身水素結合を作るプロトンを持たず、プロトン受容力の大きなピリシン、アセトニトリル、アセトン等を選んだ。またグリコ



ル類はエチレンクリュール、1,4ブタンジオールを用いた。

(1) グリコール-ピリシン系 図1に示すように、グリコールのモル分率が減少してピリシンのモル分率が増加するにつれて、OHプロトンがより低磁場にされることがわかる。これは、一般にピリシンのN原子がグリコールのO原子よりプロトン受容力が大きいため、OH-Nの分率が増加することによって説明しうる。^{*} またこのシフトの極大値はグリコールの分率が1/2 (= 0.5) (グリコール:ピリシンのモル比 = 1:2) の付近にあらわれる。エチレンクリュールヒドロキシ化物ではシフトの曲線が若干異なるが、これは両化合物の分子内、分子間水素結合の可能性は、図1にみられるごとく、グリコールの濃度の増加につれて、OHプロトン-Hプロトンの距離の短縮から証明される。



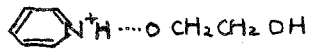
た。(第3図)

(ii) クリコール-アセトニトリル、クリコール-アセトン
アセトニトリル、アセトン等の溶媒については OH
プロトンシフトの極値は得られなかった。

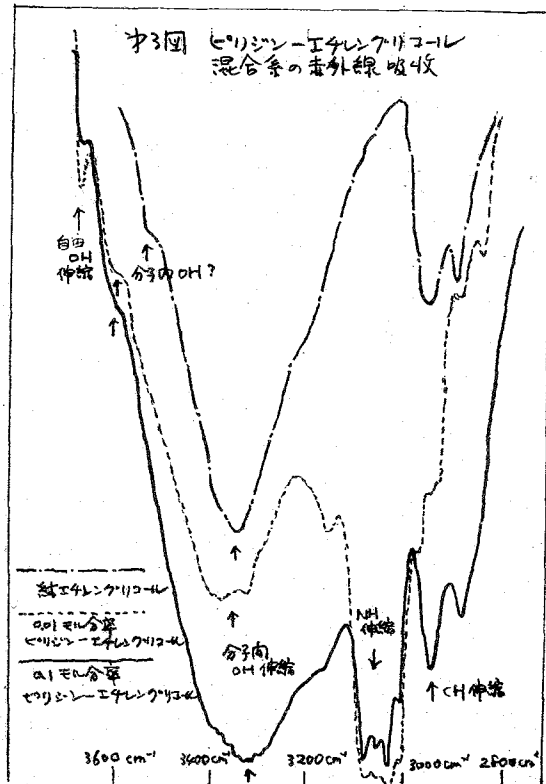
これらの結果からプロトン受容力は
ピリシン > クリコール > アセトン > アセトニトリル
で、これは赤外線スペクトル等の経験的
的事実と一致する。

素結合の大きさの差異に關係するものと思われる。なあ、第2図に示すごとく、メタ-
ル-ピリシン系では、極大値はモル分率 0.5
(メタ-ル-ピリシンのモル比 = 1:1) 付近にあらわ
れていた。

さらに、グリコール類のモル分率が極値を
与えず莫より小さい所ではシフトの値(18)
が減少するものはペリジニウムイオン



の寄与が増大することによるものと考えられる。
カルボン酸-、フェノール-ピリシン系の OH プ
ロトンシフトにはすこしペリジニウムイオンの
寄与についてはすでに、豊田³⁾、清水⁴⁾によ
て報告されている。この実については、我々は
ピリシン-エチレンクリコール系のモル分率 0.01 ～ 0.3
の混合系の赤外線吸収スペクトルの測定結果
から、新たに NH 伸縮振動に対する吸収が
あらわれることによって確認することができ



以上の測定はすべてローハシフトは分子内の水素を基準にしている。しかししながら、この基準のとり方に若干の問題があると思われる所以、これらの点について検討した。又ホモOHのプロトンシフト等について若干の理論的考察をおこなったので、これらの点についてもあわせて報告する。

文献

- 1) 北野, 福井, 工化, 50, 272 (1957)
- 2) L.P. Kuhn, J. Am. Chem. Soc., 74, 2492 (1952)
- 3) 豊田, 池上, 磯部, J. Chem. Phys., 28, 356 (1958)
- 4) 清水, 日化, 81, 1025 (1960)

1-8 C-Hとベンゼンのπコンプレックスについて その結合エネルギーと化学シフト

電気通信大学 中川直哉

1 πコンプレックス

水素結合系 $X-H \cdots Y$ において、プロトン受容体Yは普通H, O, Nなどの陰性原子であるが、炭素原子の場合でも又重結合、3重結合の炭素原子（のπ結合電子対）は活性水素と水素結合することが知られ多くの研究が行われていて。この水素結合系は Dewar の考案に従ってπコンプレックスと呼ばれている。

πコンプレックスのプロトン供給体X-Hの水素はO, O, Nなどの陰性原子に結合しているが、クロロホルム^{(2), 3, 4, 5, 6,}、アセトレン^{7, 8,}、シアノ化水素などの炭素と結合してC-H水素をπコンプレックスをつくった。その結合エネルギーについてはまだ知られていない。

2 双極子電場による溶媒分子の配向

電気的双極子をもつた溶質分子の周囲には電場が生じ、この電場の方向に沿って極性溶媒分子が配向するのは Onsager の Reaction field の考え方であるが、無極性分子でもベンゼンのように分極率に異方性があるときには、電場の方向に分極率の大きい「軸」を向けて配向する。これは天石氏による希釈熱の研究により明らかになつた⁽¹¹⁾。したがつて、ベンゼン溶媒に極性溶質を溶かすと溶質分子の周りにベンゼンが配向し、1種のコンプレックスが生じると見なすことができる。しかし、溶質と溶媒のモル比は双極子の大きさ、分子の形状によって一定でなく整数ではない。配向した溶媒分子が磁化率の異方性をもつ場合にはNMRの測定において、中心溶質分子の化学シフトに影響を及ぼすことが可能である。

3 クロロホルムとベンゼンの場合

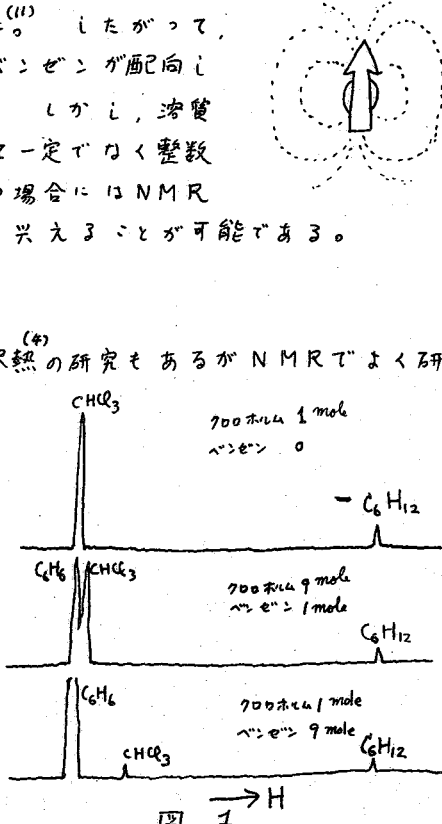
クロロホルムとベンゼンの系の溶媒効果は IR, 希釈熱^{(2), (4)}の研究もあるが NMR^{(3), 6,}によく研究されている。

クロロホルムとベンゼンで希釈すれば右図の如く高磁場へシフトする。

A 希釈シフト

希釈シフトを図2に示した。Schneiderら⁽⁵⁾の希釈シフトは濃度0において約0.4 ppm程度大きい。これは Schneiderらは水を外部基準にして測定しているためベンゼン分子の異方性によるシフトが除去されていなかったためである。

今自由なベンゼン、クロロホルムの濃度をそれぞれ



$(B)(C)$ と π コンプレックスの濃度を $[C]$ とすれば、 $k[B] = [C]$ は平衡常数、 n は溶液和の次数。

自由クロロホルムからの希釈シフトを δ とすれば

$$D = \frac{k[B]^n}{1+k[B]^n} \quad \dots \dots \quad (1)$$

D は π コンプレックスのクロロホルムの化学シフト(基準、自由クロロホルム)と無限希釈の δ を δ_0 とすれば

$$D = \frac{(1+k)\delta_0}{k} \quad \dots \dots \quad (2)$$

(1) 式は

$$\delta = \frac{(1+k)(B)^n \delta_0}{1+k(B)^n} \quad \dots \dots \quad (3)$$

(3) 式を使って図2の各濃度における δ , n を求めてみる。

表 I		
クロロホルムのモル分率	$n=1$ の場合	$k \ll \frac{1}{100}$ の場合
0.103	$k=1$	$n=0.800$
0.231	1.5	0.682
0.389	2	0.636
0.584	2	0.787
0.740	7	0.795
0.878	100	0.829
0.947	100	0.822

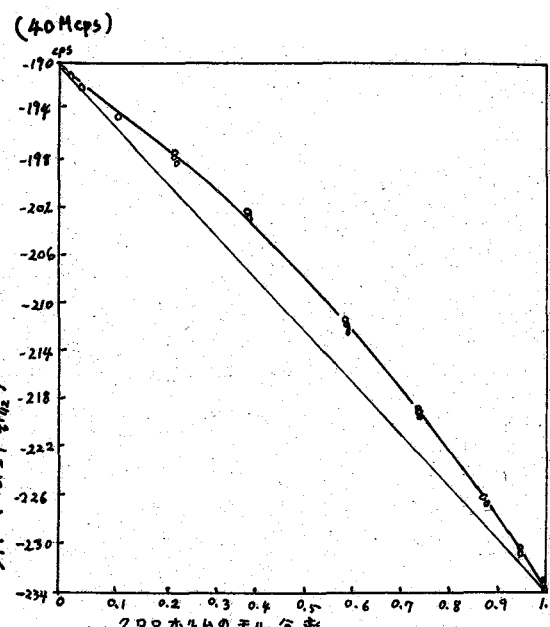


図2. 700 ホルムの希釈シフト。(ベンゼン中)

表 II

クロロホルムとの希釈熱と溶液和の平衡常数		
	ΔH_{ext} (cal/mole)	k
C_6H_6	90	
アセトン	495	1.8
トリイソブチルアミン	1200	3.0

※ Huggins, Pinnerfield (2)
※ " " (3)

$n=1$ の場合の k は一定しない、 $k \ll \frac{1}{100}$ の場合の k は比較的一定している。又表2の希釈熱と k の関係からもベンゼンとの k が2より大きいことはうなづけない。これから図2の希釈シフトの直線からめぐれが主として n によるものであることが分る。 $n=0.7 \sim 0.8$ を用いるとクロロホルム 1.2~1.4 分子がベンゼン 1 分子と溶液和していることになる。

B 溶媒シフトの温度変化 (60 Mcps)

	12モル%のCHCl ₃ のシフト (基準 C ₆ H ₆ 内部)	希釈シフト 基準 351 cps (CHCl ₃)	無PB希釈における δ_0
0°C	-290 cps	61 cps	67.8 cps
27°C	-292 "	59	65.6
65°C	-298 "	53	58.9
95°C	-306 "	45	50.0
102°C	-305 "	46	51.1

無限希釈の希釈シフト δ_0 は (1) 式より

次のように表わされる。

$$\delta_0 = \frac{R D}{1 + R} \quad \dots \dots (5)$$

$$R = \frac{\delta_0}{D - \delta_0} \quad \dots \dots (6)$$

今 $R = A e^{\frac{E}{RT}}$ とおけば

$$\log R = \log A - \frac{E}{RT} = \log \delta_0 - \log (D - \delta_0)$$

常

T_1, T_2 における平衡定数及び無限希釈の希釈シフトを δ_1, δ_2 とする

$$\frac{\log R_1}{\log R_2} = \frac{\log \delta_1 + \log (D - \delta_2)}{\log \delta_2 + \log (D - \delta_1)}$$

$$(T_2 - T_1) E = R(T_2 - T_1) [\log \delta_1 - \log \delta_2 + \log (D - \delta_2) - \log (D - \delta_1)] \quad \dots \dots (7)$$

表 III パラジウムの結合エネルギー E

	低温領域 $0^\circ \sim 29^\circ C$	高温領域 $65^\circ \sim 102^\circ C$	平均 $0^\circ \sim 102^\circ C$
$R \ll \frac{1}{100}$	$105 \text{ cal/mole} \pm 15 \text{ cal/mole}$	$415 \pm 60 \text{ cal/mole}$	242 ± 30
$R = \frac{1}{10}$	$106 \text{ " } \text{ " } \text{ " }$	$463 \pm 60 \text{ " }$	268 ± 40
$R = \frac{1}{4}$	$135 \text{ " } \pm 20 \text{ " }$	$535 \pm 60 \text{ " }$	303 ± 40

(7)式より結合エネルギーを求めれば表IIIのようになる。

希釈熱よりのdataで約 100 cal/mole で低温領域の値と一致する。⁽⁴⁾

C 溶媒和の状態

Schneider⁽⁵⁾ 及び Bothmer-By⁽⁶⁾ はベンゼンとクロロホルムの溶媒和をパラジウムの希釈シフトの 1.33 ppm より算出し、クロロホルムの水素がベンゼンの中心より約 3 \AA の距離にあると報告している。しかし、この値は $R = \infty$ の時の計算値であって、 R の場合には更に近づくはずである。 $R = 1/10$ では環電流のみの効果によれば、クロロホルムは中心より 1 \AA の距離にあることになる。

溶媒和の可能性としてはパラジウムの他にクロロホルムの双極子能率による電場によるベンゼンの配向を考えられる。

右図の如く、双極子の軸方向と直角方向では溶媒分子の分布は $2:4$ であるが、電場の強さが等距離では $2:1$ なので

配向は同等と見られる。

軸方向のベンゼンはクロロホルムを低磁場へシフトさせ。

直角方向のものは高磁場にシフトされる。

クロロホルムからの距離が皆等しく、直角方向のベンゼンが

電場の方向を軸に回転出来るとすれば、お互に打ち消し合

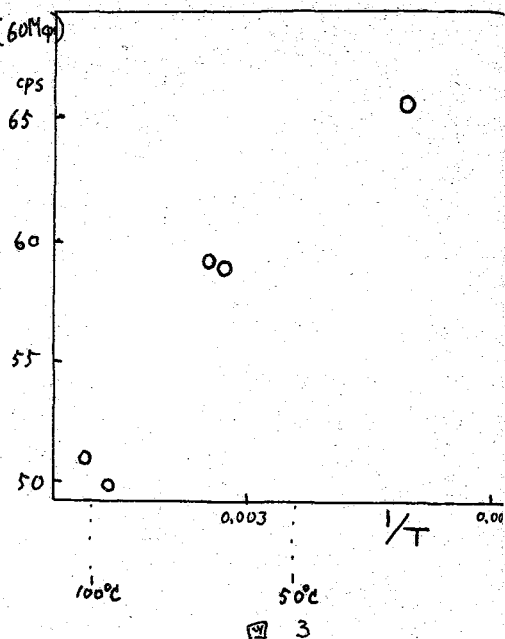


図 3

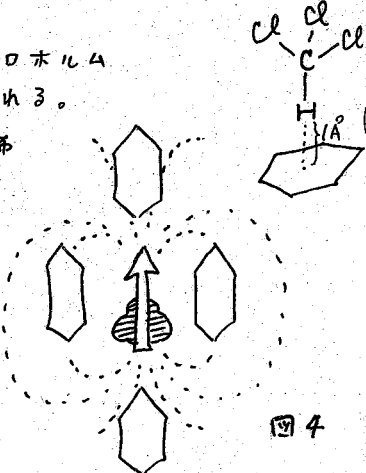


図 4

て、中心の分子には影響を及ぼさないが、直角方向の分子は距離が短かくしがも中心分子にベンゼンの面を向ける位置をとり易いと考えられるので、クロロホルムには反磁性磁場の効果が發り、クロロホルムは高磁場にシフトすると考えられる。

電場によるコンポーレンスはモル比が1:1でなく双極子の強さや分子の形状によつて異り、整数からはずれる。クロロホルムの希釈シフトの値が $n=0.7 \sim 0.8$ の値によく合うのは、このような電場による配向の寄与があるのではないかとする。

クロロホルム一ベンゼンの希釈シフトの原因をすべてこの双極子電場のコンポーレンスで説明されないのは、クロロホルム ($\mu = 1.05$ D.) よりも 1.5 倍も双極子能率の大きい塩化メチレン CH_2Cl_2 ($\mu = 1.58$ D.) のベンゼンによる希釈シフトが、クロロホルムの 0.9 倍でしかないこと、その他ハロメタンのベンゼンによる駆動によって証明される。⁽¹²⁾

4 アセトニトリルとベンゼンの場合

アセトニトリルとベンゼンの希釈シフトの大きさは、クロロホルムとほど同じ 1.1 ppm である。クロロホルムの場合と同様、高磁場へシフトするが、シクロヘキサンを内部基準にすると、50モル% 附近で、シクロヘキサンを追いつく。

図 5 の希釈シフトの濃度変化を見て分るようだ。

アセトニトリルの場合の溶媒和次数 κ は 1 より大きい。

希釈シフトの濃度変化は次の通りである。

表 IV 希釈シフトの濃度変化 (60 Mcps)

化学シフト 希釈シフト δ 無限希釈の δ_0

14モル% CH_3CN

基準 C_6H_{12}

3°C	27 cps	58.2 cps	67.6 cps
7°C	26.5	57.7	67.1
14°C	26.	57.2	66.5
27°C	25.8	57.0	66.3
69°C	20.8	52.0	60.5
72°C	20.5	51.7	60.1
88°C	18.2	49.4	57.5
90°C	18.5	49.7	57.8

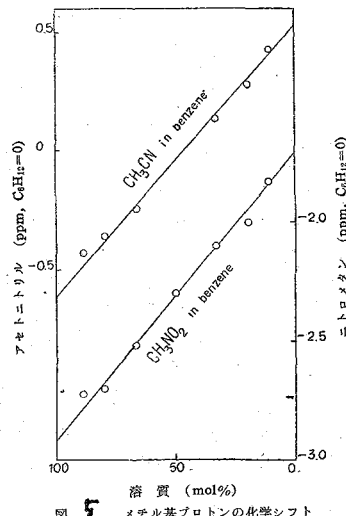
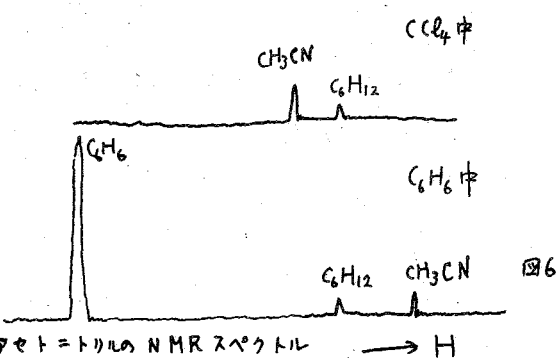


図 5 メチル基プロトンの化学シフト



クロロホルムのときと同様に、温度
変化より結合エネルギーを求めてみる

$$k \ll \frac{1}{100} \text{ といふ}$$

低温領域 $3^{\circ} \sim 27^{\circ}\text{C}$ では

$$5.8 \text{ cal/mole} \pm 2.0 \text{ cal/mole}$$

高温領域 $27^{\circ}\text{C} \sim 90^{\circ}\text{C}$

$$21.9 \pm 5.0 \text{ cal/mole}$$

平均 $3^{\circ} \sim 90^{\circ}\text{C}$

$$16.3 \pm 4.0 \text{ cal/mole}$$

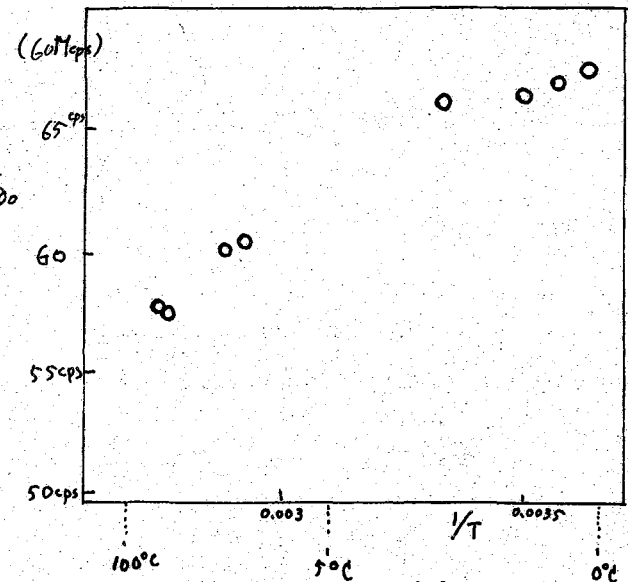


図7. 希釈シフトの温度変化

5. クロロホルムとアセトニトリルの比較

クロロホルムとアセトニトリルではベンゼンによる希釈シフトの η が クロロホルムでは 1 より小さく、アセトニトリルでは大きい。又 結合エネルギー（溶解熱エネルギー）も クロロホルムは $100 \sim 400 \text{ cal/mole}$ 、アセトニトリルでは $50 \sim 200 \text{ cal/mole}$ である。

双極子能率は $\text{CHCl}_3 = 1.05 \text{ D}$

$\text{CH}_3\text{CN} = 3.94 \text{ D}$

分子の形状から云えば、クロロホルムは 板状に近く アセトニトリルは 棒状に近く。
これらのことから、溶解熱エネルギーと分子形状との関係は現在の所まだ明らかでない。

6. 終りに

本研究に対して、有益な御討論を“いたした”核磁気懇談会の会員の方々、又本研究の
NMR スペクトルの測定に御便宜を“いたした”東工試 領田健吉、鈴木昭夫両氏、東大 藤原敏俊
林昭一氏、又 貴重な御意見を下さった東工試 天谷和太氏、東北大 地上恒男氏に
感謝いたします。

文獻

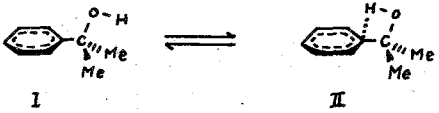
- (1). M.J.S. Dewar. "The Electronic theory of Organic Chemistry"
- (2) C.M. Huggins, G.C. Pimentel; J. Chem. Phys. 23 896 (1955)
- (3). C. M. Huggins, G.C. Pimentel; J. Chem. Phys. 23 1244 (1955)
- (4). M. Tamres. J.A.C.S. 74 3375 (1952)
- (5) L.W. Reeves, W.G. Schneider Can. J. Chem. 35 251 (1957)
- (6) A.A. Bothner-By, R.E. Glick J. Chem. Phys. 26 1651 (1957)
- (7). 藤原. 中川.; Bull. Chem. Soc. Japan 33 1634 (1960)
- (8) J.V. Hatton, R.E. Richards; Trans. Faraday Soc. 57 28 (1961)
- (9) 中川. 1959年 日化構造化學討論会.
- (10) L. Onsager : J.A.C.S. 58 1486 (1936)
- (11) 天谷和夫. Bull. Chem. Soc. Japan 34 1271 (1961)
- (12) 中川. 1961年 日化年会講演

1-9 アリールジメチルカルビノールの会合および分子内 OH...π 相互作用の研究

東大理 大木道則 岩村秀

緒言 アリールジメチルカルビノールはⅡ型の

OH...π 分子内相互作用を示す化合物の一例であり、著者等は光に¹³種々の核置換基がこの平衡における影響を 3600 cm^{-1} 近傍に現われる O-H 伸縮振動数



ペクトル ($\nu_{\text{O}-\text{H}}$) から検討したが、この種の弱い相

互作用には OH プロトンの核磁気共鳴吸収スペクトルが更に有益を知見を与えると期待して本研究を始めた。アリールジメチルカルビノールは本来会合性物質であり、現在のスペクトロメーターの感度が許す濃度範囲では一部または大部分会合状態にありので、まず有限の濃度範囲の測定からこの会合の様子を明かにし、後に無限希釈に外挿して得られる単量体のデータから I = II の平衡を検討した。

実験 a. 試料；アリールジメチルカルビノールおよび類縁化合物 15 種を合成し、IR および NMR スペクトルから構造を、融点（沸点、屈折率）および分析値から純度を確認した。未知化合物についてのみこれ等を省略する。

表 I. 新化合物の物理常数と分析値 ($X-C_6H_4C(CH_3)_2OH$)

X	沸点	融点	屈折率	分析値			計算値		
				C	H	N	C	H	N
p-CH ₃ O	103°/1.0 mm Hg	—	n_D^{26} 1.5251	72.10	8.67	—	72.26	8.49	—
p-O ₂ CH ₂ O	—	60~61°	—	79.44	7.59	—	79.31	7.49	—
m-NO ₂	129°/1.5 mm Hg	63~63.5°	—	59.60	6.13	7.79	59.66	6.12	7.73
p-CO ₂ CH ₃	122°/2.5 mm Hg	—	n_D^{20} 1.5311	68.07	7.46	—	68.02	7.27	—

b. 溶媒；特級四塩化炭素を五酸化りんで乾燥し精留したものを利用した。NMR スペクトル測定用には精製シクロヘキサンを ~1% 添加し、これを内部標準として用いた。

c. 測定；NMR スペクトルは Varian DP 60 型スペクトラー (60 Mc) を使用し、内部標準 (シクロヘキサン) からのシフトはすべて side band 法によって測定した。赤外線吸収スペクトルの測定には Perkin Elmer 112 G 型格子赤外線分光器を用い、必要に応じて光路 2 cm, 1 cm, 0.5 cm の石英セルと 0.1 cm の岩塗セルを使用した。

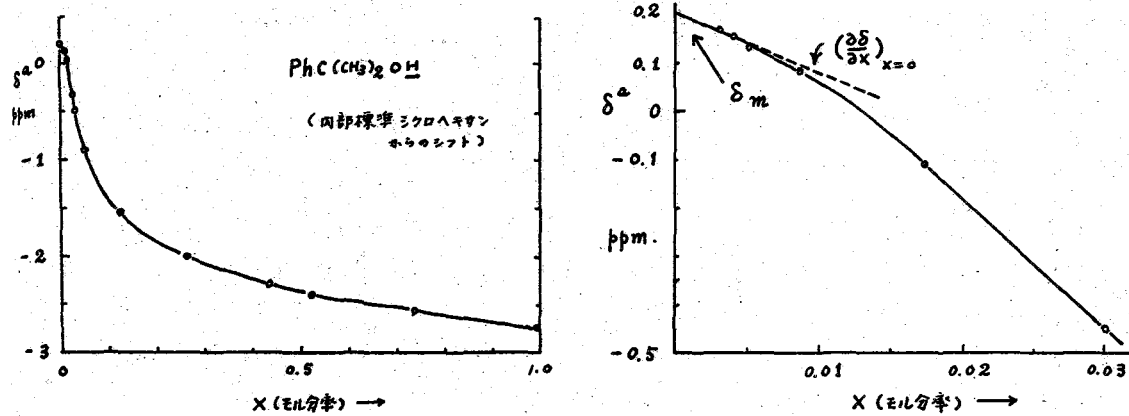
結果および考察 アリールジメチルカルビノールの NMR スペクトルはメチルプロトン、環プロトン、OH プロトン(および場合によつては置換基プロトン) から成りその帰属は容易である。これらのうち OH プロトンのみシグナルの位置が著しく濃液に依存する。図 I, II にフェニルジメチルカルビノールの例を示した。この現象は、水素結合の寿命が短

（会合度を異にする分子種間の交換が十分速いために構造をなす化学シフトを持つはずのOHプロトンシグナルが平均化され³⁾見掛け上1本となっていることを意味する。即ち注、濃度にかけたOHプロトンの化学シフト (δ^a) は次式の様に表わされる。 $\Sigma_i z_i = \Sigma_i$ は

$$\delta^a = \sum_i \delta_i z_i \quad , \quad \sum_i z_i = X \quad \cdots \cdots \quad (1)$$

量体およびアルコールの会合率・構造として一義に知られる二量体、三量体…多量体についての和を意味する。左図には平衡定数 (K_{ij}) と結びつけられた関係があり、濃度 (X) の変化に従い Z_i の分布が変動する結果 δ^a の濃度変化が起ると説明される。

図I, II. フェニルジメチルカルビノールのOHプロトンシグナルの濃度依存性。



(1)式を一般的に解くことは不可能であるが、 $X < 0.02$ の領域では单量体と二量体の寄り合ひと考えられるので(2), (3)式を仮定すると(4)式が得られ⁴⁾、したがって δ_d を求めることは出来る。 $\Sigma_i z_i = \delta_m$, δ_d はそれぞれ单量体、二量体のOHプロトンの化学シフトを、Kは单量体 = 二量体の平衡定数を表わす。Kの値としてIRスペクトルから得られる非結合O-Hの強度のデータを採用する。

$$\delta^a = \delta_m z_m + \delta_d z_d \quad \cdots \cdots \quad (2)$$

$$K = \frac{z_d}{z_m^2} \quad \cdots \cdots \quad (3)$$

$$\left(\frac{\partial \delta^a}{\partial X}\right)_{x=0} = 2K(\delta_d - \delta_m) \quad \cdots \cdots \quad (4)$$

これより δ_d が図IIに示す如きのように求まる。

表II. フェニルジメチルカルビノールのOHプロトンシグナルの濃度変化。

X(モル分率)	δ^a	z_m	$\delta_m - \delta_d$
0	+ 0.20	1.000	—
0.0034	+ 0.159	0.958	0.98
0.0042	+ 0.150	0.949	0.98
0.0055	+ 0.122	0.932	1.15
0.0088	+ 0.088	0.990	1.01
0.0175	- 0.103	0.770	1.32
0.0300	- 0.451	0.540	1.42

$$z_m = \frac{E}{E_0} \quad (360.7 \text{ cm}^{-1} の強度)$$

$$\left(\frac{\partial z_m}{\partial X}\right)_{x=0} = -2K \quad \cdots \cdots \quad (5)$$

但しモノマー二量体を假定。

他のアリールジメチルカルビノールに就いても同様の取扱いを行ふ表IIIの結果を得た。

表III. アリールジメチルカルビノールと類縁化合物のOHプロトンの化学位シフト
[$x\text{-C}_6\text{H}_4\text{C}(\text{CH}_3)_2\text{OH}$]

X	δ_m	$-(\frac{\partial \delta^a}{\partial X})$	K	$\delta_m - \delta_d$	X	δ_m	$-(\frac{\partial \delta^a}{\partial X})$	K	$\delta_m - \delta_d$
p-NO ₂	0.26	54	12.5	2.17	m-(CH ₃) ₂ N	0.23	20	7.3	1.38
m-NO ₂	0.25	68	14.0	2.43	p-CH ₃	0.23	14	7.2	0.98
p-Cl	0.22	20	7.4	1.35	p-CH ₃ O	0.32	12	5.6	1.09
m-Cl	0.25	25	8.7	1.44	p-CH ₂ CH ₃ O	0.29	15	6.2	1.21
p-CO ₂ CH ₃	0.23	20	7.5	1.33	Ph-CEt ₂ OH	0.27	7	3.6	0.97
m-CH ₃ O	0.24	19	6.9	1.38		0.28	19	9.3	1.02
H	0.20	12.7	6.5	0.98		0.33	10	5.9	0.85
m-CH ₃	0.23	13	7.2	0.90					

特に立体障害が著しくなる限り、溶液中のアルコールは大部分鎖状多量体を形成してしまふと考えられる。²³⁾従つてX=1.0における δ^a は二量体のOHプロトンの化学位シフトを表わすものと近似することが出来る。フェニルジメチルカルビノールの場合 $\delta_m - \delta_p = 2.93$ ppmとなり $\delta_m - \delta_d$ はこの値の約1/3である。この結果は二量体が環式構造を持つと言つてよい根拠となり、(4)および(5)式の液滴蒸発当量をもつとしている。表IIIに見られるKと $\delta_m - \delta_d$ の大きさにはほぼ平行しているが、後者は水素結合の強さ(AE)の目安となり得ると言えられたから、 $-RT \ln K = \Delta H - T \Delta S$ の関係からAEに異常性がなく、他、同族体も類似の環式二量体を形成してしまふと推論された。アリールジメチルカルビノールにおける環上置換基は水酸基、プロトン供与性とプロトン受容性とに相反する効果を示すことが期待される。電子供与性置換基の場合には両効果が相殺され一見置換基効果が認められない。一方電子吸引性置換基ではプロトン供与性を強めた効果が勝り、Kがより $\delta_m - \delta_d$ を大きくしているものと思われる。

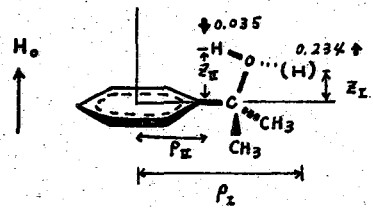
表IIIの δ_m は実測値から図IIの様に外挿して得られた値であり单量体のOHプロトンにのみ関係した量であるが、アリールジメチルカルビノールにおいてはこの状態で更にIとIIの平衡が存在するので δ_m は次式で表される。先に¹¹ IRスペクトルから δ_I/δ_{II} を求

$$\delta_m = \delta_I x_I + \delta_{II} x_{II} \quad \dots \dots (6)$$

め、二重極化率0.86~2.3にわたる著しい置換基効果を認めているので、 δ_m もかなり置換基と共に変化するこことを期待した。結果は意外にも表IIIから明らかな様に変化に乏しい。従つて δ_I と δ_{II} の違いに環電流効果による反磁性・磁貫通効果が利いていふと考えると次の様に説明できる。IかよびIIの構造としてHO結合とAr-C結合とかそれとtransかよびcis型をとつてゐるものか一番考慮を分子形と假定する。 $j = \frac{3e^2 H_0}{2\pi mc} 5^3$ の環電流効果を乗せるとIのOHプロトンは0.234 ppm. 高磁場側へシフトし、 $\delta_{II} - \delta_I = 0.27$ ppm. >0と言ふ目算を得

る。電子導引性置換基は $\chi^{\text{II}}/\chi^{\text{I}}$ 値を小さくするこれが IR スペクトルから知られており、この限りでは δ_m を減少させる方向に働く。所が同時に有効な環電流密度 j が減少し環电流効果が全体的に弱まる。この影響は環電流効果をより有効に受けている I の OH プロトンの側磁場偏移へのシフトを削ぐ方によく現われる。即ち χ^{I} が増えると δ_z の誘対値が小さくなる為に δ_m は効果的に減少しない。

電子導引性置換基の場合も同様に説明できる。



- 1) 大木, 高村, 第7回赤外ラマンスペクトル討論会, 1960年10月13日, 大阪.
- 2) H.S. Gutowsky, C.H. Holm, J. Chem. Phys., 25, 1228 (1956).
- 3) G.C. Pimentel, A.L. McClellan, "The Hydrogen Bond", W.H. Freeman and Co., San Francisco and London, 1960, p. 96.
- 4) C.M. Huggins, G.C. Pimentel, J.N. Shoolery, J. Phys. Chem., 60, 1311 (1956).
- 5) C.E. Johnson, Jr., F.A. Bovey, J. Chem. Phys., 29, 1012 (1958).

1-10 アルコールのOHシフトに対する溶媒の影響

電気試験所

米本 理・龜井裕益

水素結合するプロトニを持たないプロトニ受容体を溶媒としたときの、メタノール共鳴線のシフトを測定した。溶媒はベンゼン及び他のハロゲン誘導体、ハロゲン化メチレン、ケトニ及ビニル状酸素を含むもの、三級の窒素化合物(図参照)で、測定は40MCで行いシクロヘキサン- α -ベンゼニの1:2溶液をexternal standardとして用いた。シフトの値はシクロヘキサンを0として体積補正を行つてある。

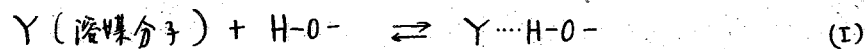
2の種類の溶媒でメタノールと競争してゆくときのOHプロトンの結合状態を考へると、(1)メタノール相互間の水素結合が切れる。切れる原因は他分子が入つてくるためメタノール分子が空間的にたり離さなければならぬこと(例へばCCl₄溶液の場合)。他に、2で扱う溶媒では溶媒分子がOHを引きつけてしまうためメタノール間の結合がメタノール・溶媒間の結合に切り替へらるるという要素もあるから。(2)メタノール-溶媒間の水素結合が生じる。この二つが重なつてシフトに影響すると言へる。

溶液中の水素結合の状態については定量的な知識がないから、2で、水素結合はOHのシフトを起す一つの原因で低磁場側へ大きくシフトさせる。純メタノール中の水素結合は著しく、殆どすべてのメタノール分子は結合状態で存在している(赤外線吸収の結果から)といふことを前提として結果を考へてみよう。

OHシフトの濃度変化の様子から、溶媒を大体三種に区別してよし称である。オルガニクスゼン類など、メタノールの低濃度域で著しくhigh shiftを示し、これは無極性溶媒中のOHの挙動によく似ている。ベンゼン類の溶液中では正電子の出でいる間にOHが引き寄せられるので、分子全体と1/2も核の面上に位置する確率が大きくなる。実際CH₃の線もベンゼン溶液で約0.2ppm移動している。OH線のそれ以上のシフトはメタノール間の水素結合が切れるところによるもので、大体の濃度変化状態がCH₂Cl₂溶液におけるときのシフトは、シフトの原因が、空間的(立体的)メタノール分子が離れていくことである。また、溶液にするとOH、CH₃共、スピニ結合による構造が表れることもこれによつて理解しうる。

ベンゼンのハロゲン置換による影響は著しくないが、シフトは低磁場側へ移る。しかし窒素化合物だけ及ぼす高いなもので、この原因についてにはつきりしない。CH₂Cl₂溶液ではOH、CH₃共、ベンゼンより約0.5ppm位く、この結果がCH₄分子におけるベンゼン、CH₂Cl₂の溶媒効果と同じである。

次にアセトン、ジオキサン溶液ではベンゼン類に比べて高濃度側のシフトが大きいが、低濃度域での濃度変化は小さい傾向を示している。このことは、溶媒分子が空間的拘束だけでなく、OHによつてメタノール間の水素結合を切つて溶媒の方へすりつけることが主因であることを示してゐる。また、溶液にするとOH、CH₃共、スピニ結合による構造が表れるところもこれによつて理解しうる。

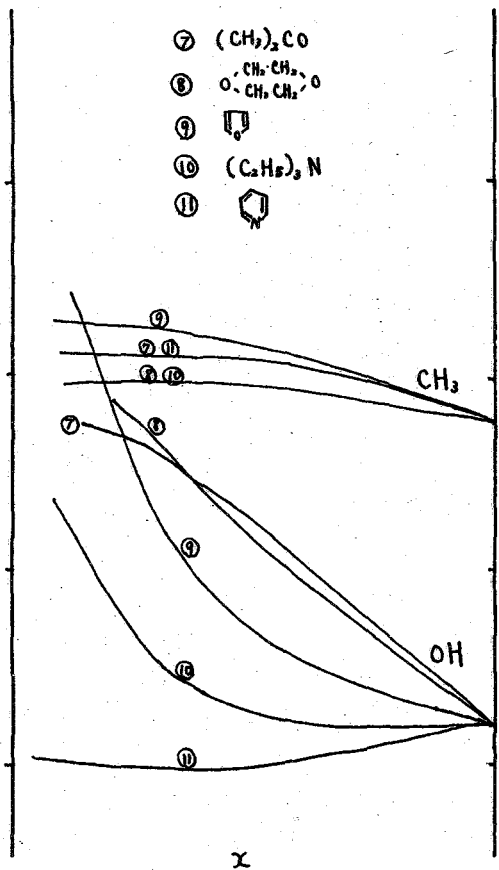
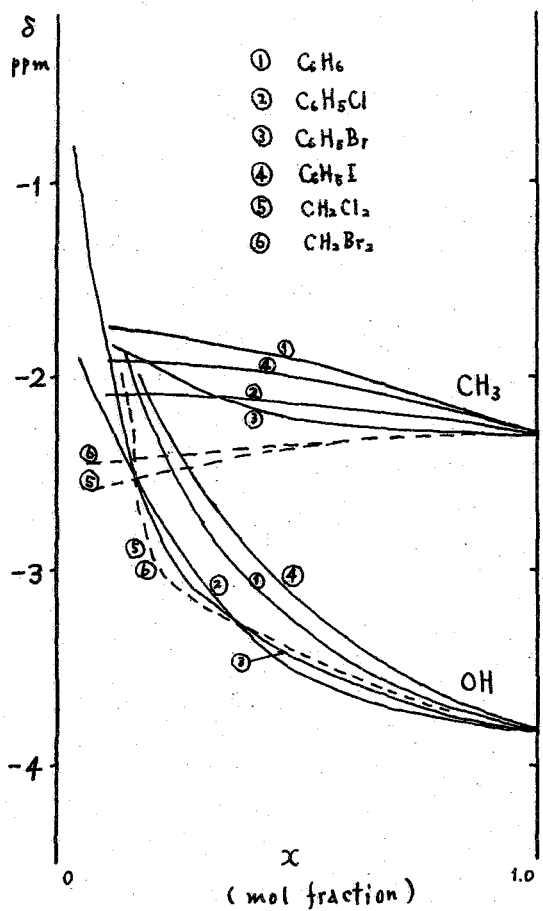


の形の平衡関係をもつていいとすると、 CCl_4 溶液中のアルコール類は (II) の形が主要なものであることを示す。左方面から確かめれば、溶媒分子が 70 ロトの反応性を持つと (I) の形が多くなることとなる。(II) の場合のシフトは $\delta(x \rightarrow 0) = \delta_{\text{monomer}}$ で δ の濃度変化は一般に大きいか、(I) では濃度変化は、 $Y \cdots H-O^-$ の形の 70 ロトのシフトが低磁場側に進む小さくなり、勿論 $x \rightarrow 0$ で δ の値は $\delta(Y \cdots H-O^-)$ に近づく。従って、エーテル状の酸素と含む溶媒分子が、アルコール OH と結合して low shift の原因となつたと示してもよい。これらの溶液が D_2O , CH_3 錠の構造が見出されるかこの種の液体 (21 に響いてもいる他、エチルエーテル、テトラヒドロフラン、など) では OH の飽和が強く、 CH_3 の錠や充分の威力で観測される OH の錠が検出されることがかつて低濃度での測定が困難になつてくる。これらの酸素化合物の分子の表面には H が出ていいが、アルコール OH の強さ $= 0$ に付けて配向すると考へれば、 OH の近くには磁場能率もしくは核の比較的少くまつて緩和が難かしくなりと理解される。

酸素化合物のフランはベンゼンと同様に濃度変化を示し、他の二つとの差が著しい。この原因は水素結合以外に考へなければならないであろう。フラン中では CH_3 の約 0.2 ppm 高磁場側に移動していいので、ベンゼンと類似の原因も考へられるが、検討を要す。

窒素の化合物ではピリジンが大きく low shift (2~3 ppm) の原因となる。この原因は 1,2 位のビリジン核の異方性が響いてくる。ピリジン核とベンゼンと同様に考へ、但しこの場合には OH の核の面上でなく N によつて核の面の中、 N lone pair の所へ引かれるとすると、1~2 ppm 程度の low shift が期待される。トリエチルアミン溶液における低濃度 ($x < 0.1$) のシフトが測定出来ないといつぱりした事は言へないが、低濃度で急な high shift が起らぬいとすればピリジンとの差の大きな部分がこれでこゝにまで及んでしまうこととなる。

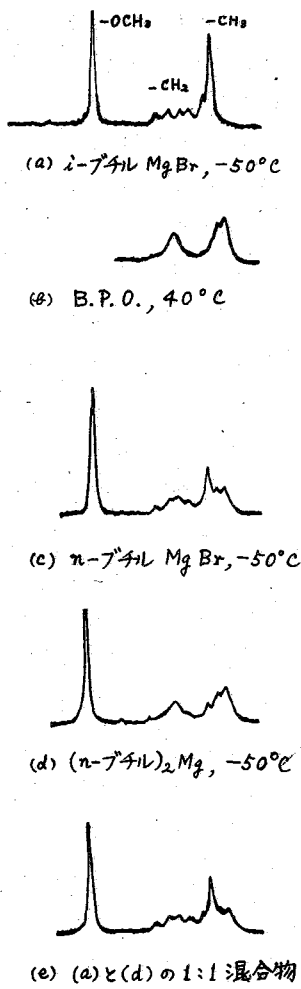
トリエチルアミン溶液中の OH シフトは全体として低磁場にあるが、低濃度での濃度変化は小くなる。ピリジンと比べてもう一つ考へられることは、ピリジンが核の共鳴によつて電荷であるのに付してトリエチルアミンは \bar{N}^+ の形になり易く (塩基性が強い) その一方で OH 70 ロトが一部交換されて $\bar{N}^+ - H$ の形になる可能性である。この形の 70 ロトのシフトは求められないので三級のアルキルアミンのシフトが非常に高いから、この影響を免けていいかも知れない。トリエチルアミン、ピリジン共に OH , CH_3 錠の構造が現れないもので、これについては専検討する予定である。



1-11 NMRによるPMMAの重合機構の研究

電通研 西岡篤夫, 加藤嘉則, 渡辺治昭

メタアクリル酸エチルの立体規則性重合体は、既に1958年頃より色々と研究されてきたが、未だに充分定量的な立場からまとめられてはいない。その大きな原因是、最近まで分子鎖の立体規則度を定量的に決める有効な手段が見当らなかつたためであるが、普通用いられている方法というのは、適当な溶媒で抽出することにより、立体規則性のランキングを決定する程度のものである。筆者の一人は、既にグリニア試薬を触媒として、そのアルキル基の種類、重合温度及び添加剤の種類を色々変えることによって、PMMAの立体規則性が広範囲に変えられることを確かめていたが、これに基き、違った触媒や重合温度の下で重合したPMMAを、それぞれ3%程度のクロロフォルム溶液にしてとったNMRスペクトルは第1図のようになつた。⁽¹⁾ メチレン基及び α -メチル基に帰せられる部分が、重合の方法によってそれぞれ違った分裂の様子を示すことは、他の研究者達によつてもほゞ同じ頃指摘されている^{(2), (3)}。特に α -メチル基の部分が重合の方法によつて異った強度比を持つ三つの山に分れるところから、これがPMMAの分子鎖の立体規則性と密接に関係しているものと考えられ、相連なる三つのモノマー単位が基本になつてゐることを示してゐる。いま任意の α -メチル基に注目して、両隣のモノマーの立体異性という点から見ると、dとかsというのは單なる相対的な定義の問題にすぎないから、結局次の三群に分類できる。(1) ddd, 又はlll, (2) ddl, ldd, ll d, 又はdll, 及び(3) dld 又はldl。これらをそれぞれI単位, D単位及びS単位と呼ぶことにする。第1図でもわかるように、遊離ラジカル触媒で重合したPMMAのNMRスペクトルでは、主に高磁場側の二本が強く出るのに、通常isotacticな重合体と思われるPMMAでは、一番低磁場のピークのみが強く出る。種々の例で検討すると、 α -メチル基の分裂した三本のピークは、それぞれ低磁場側から順にI単位, D単位及びS単位に対応することがわかる。 α -メチレン基の部分についても同じ性質の分裂が見られるが、isotacticな重合体の場合を除けば、 α -メチル基のときほど明確には分れない。このような見方をすると、 α -メチル基の三つの山の面積強度の比を求めることにより、平均として各分子鎖に上で述べた三つの基本単位がどんな割合で含まれているかを求まることになる。I単位100%, 及びS単位100%のものは、通常それぞれ



第1図：PMMAのスペクトル
(60 Mc)

*isotactic*な重合体及び*syndiotactic*な重合体と呼んでいるのと全く同じものであるが、D単位100%のものがもし実在するとすれば、これは二個宛のモノマー単位を基本にとると丁度*syndiotactic*な構造になっている。一般にI単位、D単位及びS単位が含まれている割合をそれぞれ*i*, α 及び*s*(但し $i + \alpha + s = 1$)とすると、これを一束だけで表示するためには、オフ図のような三成分図を用いるのが便利である。⁽⁴⁾ たとえば重合の過程におけるモノマー附加の状態が全く乱数表的に決る場合には、I, D及びSの各単位の出現回数の比が1:2:1となり、オフ図の完全乱数表Rで示されるような平均成分比の分子鎖ができることになる。我々は、重合条件が種々異なるものについてNMRで*i*, α 及び*s*を定量したが、その内のどれか一つの試料を基準にすれば、赤外線吸収スペクトルからも同じ結果が得られることを確めた。こゝに用いた測定値の多くは、その方法で得てある。

立体規則性を表示する一つの量として、高分子鎖に含まれる各単位の“連”の長さに着目する。先にも述べたように、I又はS単位だけの場合には従来の概念と全く同じだが、D単位が混入すると従来*isotactic*な部分とか*syndiotactic*な部分と見做されているものが、一部D単位の“連”に数えられることになる。つまり*isotactic*な部分と*syndiotactic*な部分の共存する重合体には必ずD単位が含まれ、その割合が小さいもの程stereoblock共重合体の性格が強く、逆にその大きいもの程、IやS単位の連の平均長が短くなると考えられる。オフ図を見ると、実測値は完全乱数表Rで示された成分比とは可成り違った所に、それを特徴のある分布を示している。この偏りは当然重合機構の違い、たとえば触媒の種類や運動の差違などを反映した結果であろう。完全乱数的な重合過程とやゝ異った簡単な重合過程として、单一のパラメーターで記述できる場合が考えられる。一例として、成長しつゝある分子鎖の末尾に附加する新しいモノマーの立体異性配置が、すぐ前のモノマー単位のそれと同じになる確率、 σ だけで決るときには、無限長の鎖についてオフ図の直線上の成分比だけが実現する。この場合*i*, α 及び*s*の間に $(\frac{i}{2}) = \sqrt{i \cdot s}$ の関係がある。そしてI, D及びSの各単位の連の平均長が、それぞれ $1/(1-\sigma)$, 2, 及び $1/\sigma$ になることも容易に示すことができる。特に $\sigma = 1/2$ であれば完全乱数表Rと一致する。重合温度の変化に伴う実測値の移動傾向から見て、B.P.O.を触媒とした遊離ラジカル型の重合過程はほゞこのモデルに近いことが認められる。たゞし我々が直接取扱えるのは、あくまでも重合の過程そのものではなく、その生成物から得られる情報を統計的に処理して、元の重合機構の有無を推論するのであるから、上で用いた確率 σ も正確には、重合体の分子鎖における $md \rightarrow mdd$ 又は $ml \rightarrow mll$ なる遷移確率と云わねばならない。

Fordham⁽⁵⁾に従って、*isotactic*及び*syndiotactic*な配位の速度恒数をそれぞれ K_i 及び K_s とすると、 $\sigma = K_i / (K_i + K_s)$ で、

$$(K_i / K_s) = \sigma / (1 - \sigma) = \exp\{-\Delta F / RT\} = \exp\{\Delta S / R\} \exp\{-\Delta H / RT\},$$

$$\text{但し } \Delta F = \Delta F_i - \Delta F_s, \Delta S = \Delta S_i - \Delta S_s, \text{ 及び } \Delta H = \Delta H_i - \Delta H_s,$$

と書けるから、 $\log\{\sigma / (1 - \sigma)\}$ を重合温度Tの逆数に対してプロットすれば、活性化熱の差 ΔH と活性化エントロピーの差 ΔS が求まる。トルエンの溶媒中でB.P.O.を触媒として重合したPMMAの、NMRから決めた ΔH の値は、1.54 Kcal./moleで、Bovey が塊状

重合で得た値 $\Delta H = 775 \pm 75 \text{ cal./mole}$ よりも大きい。

次にゲリニア試薬 ($R\text{MgX}$) やジアルキルマグネシウム ($R_2\text{Mg}$) を触媒として重合した PMMA の三成分図上のプロットは、遊離ラジカル触媒の場合、つまり単一パラメーターで記述できる場合とは大分異っている。その内 $R_2\text{Mg}$ によるものは、 R の種類や重合温度によってそれ程大きく立体規則度が影響を受けないが、 $R\text{MgX}$ で重合したものでは、比較的 *isotactic* な重合体が得られ、 -70°C 以下を除けば重合温度の上昇と共に s が減つて i が増す傾向が見られる。単一パラメーターで記述できる場合も含めて、これらの分布を一般的に整理するには、少くとも二個のパラメーターが必要である。いま成長しつゝある分子鎖末尾に新しいモノマーが附加するとき、たとえば立体障害を一部考慮するという意味で

同じ立体異性的状態のモノマー単位が三個並ぶときにだけ、すぐ前のモノマー単位のみでなく、もう一つ前のものからの影響も現われると考えて、パラメーター C を導入する。またすぐ前のモノマー単位からの影響をパラメーター、 $B^{\frac{1}{2}}$ で表わし、 $mdd \rightarrow mdd$ 又は $mld \rightarrow mld$ となる遷移確率を “1” と

すると、

$$A = \begin{pmatrix} BC & B^{\frac{1}{2}} \\ B^{\frac{1}{2}} & 1 \end{pmatrix}$$

なる行列の最大固有値、

$$\lambda_m = \frac{BC+1 + \sqrt{(BC-1)^2 + 4B}}{2}$$

を用いて、 $mddm$ (又は $mlmm$) 及び $mdlm$ (又は $mldm$) による配列の現われる確率が求められ、

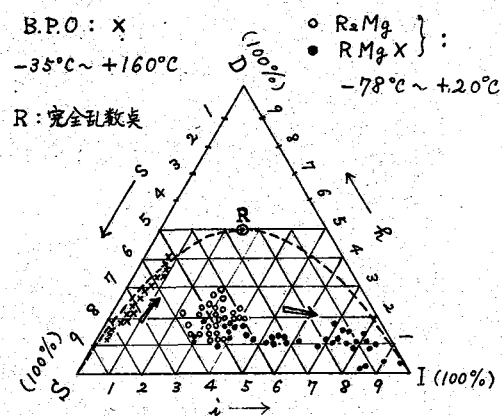
$$P(dd) = \frac{\partial \log \lambda_m}{\partial \log B} = \frac{BC/(BC-1)^2 + 4B + BC(BC-1) + 2B}{(BC+1)\sqrt{(BC-1)^2 + 4B} + (BC-1)^2 + 4B},$$

$$P(dl) = \frac{\sqrt{(BC-1)^2 + 4B} - (BC-1) + 2B}{(BC+1)\sqrt{(BC-1)^2 + 4B} + (BC-1)^2 + 4B},$$

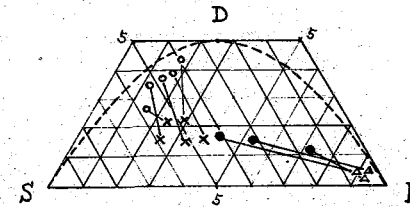
となる。⁽⁶⁾ 次にたとえば $\rho = P(ddl)$ は、 $P(dd)$ と $P(dl)$ に半分ずつ含まれていることを注意すれば、

$$\left\{ \begin{array}{l} i = \frac{BC/(BC-1)^2 + 4B + BC(BC-1)}{(BC+1)\sqrt{(BC-1)^2 + 4B} + (BC-1)^2 + 4B}, \\ \rho = \frac{4B}{(BC+1)\sqrt{(BC-1)^2 + 4B} + (BC-1)^2 + 4B}, \\ s = \frac{\sqrt{(BC-1)^2 + 4B} - (BC-1)}{(BC+1)\sqrt{(BC-1)^2 + 4B} + (BC-1)^2 + 4B}, \end{array} \right.$$

が得られる。 i, ρ と s の実測値から、パラメーター B と C が決まる。更に行列、



第2図：×B.P.O., ○ $R_2\text{Mg}$, ● $R\text{MgX}$,
→印の方向が重合温度が高い。



第3図：アセトン抽出の結果

$$\begin{pmatrix} BC & B^{\frac{1}{2}}C^{\frac{1}{2}}D & O & O \\ O & O & B^{\frac{1}{2}}E & B^{\frac{1}{2}}E \\ B^{\frac{1}{2}}C^{\frac{1}{2}}D & B^{\frac{1}{2}} & O & O \\ O & O & B^{\frac{1}{2}}E & 1 \end{pmatrix}$$

の最大固有値を用いれば I, D 及び S の各連の平均長が求められて、

$$\langle I \rangle = \frac{BC(BC-1) + 2B + BC\sqrt{(BC-1)^2 + 4B}}{2B},$$

$$\langle D \rangle = \frac{BC + 1 + \sqrt{(BC-1)^2 + 4B}}{BC + 1},$$

$$\langle S \rangle = \frac{-(BC-1) + 2B + \sqrt{(BC-1)^2 + 4B}}{2B},$$

となる。以上で特に $C = 1$ のときは、先に述べた单一パラメーターの場合に相当する。

見方を変えて、mdddm (又は mlllm) 及び mdldm (又は mlldm) なる配列にもとづく活性化自由エネルギーをそれぞれ $\epsilon(dd)$ 及び $\epsilon(dl)$ と記し、更に I 単位、 D 単位又は S 単位が一個存在することによって新たに加わる活性化自由エネルギーの分をそれそれ $\epsilon(I), \epsilon(D)$ 及び $\epsilon(S)$ と書くと、やはり $(dl) \rightarrow (ddl)$ の遷移確率を “1” として、 $(dd) \rightarrow (ddd)$ 型、及び $(dd) \rightarrow (ddl)$ 型の遷移確率はそれぞれ、 $B = \exp\left[\frac{1}{kT}\{\epsilon(dl) - \epsilon(dd) + \epsilon(S) - \epsilon(I)\}\right]$ 及び $C = \exp\left[\frac{1}{kT}\left\{\frac{\epsilon(dl)}{2} - \frac{\epsilon(dd)}{2} + \epsilon(S) - \epsilon(D)\right\}\right]$ と表わせる。⁽⁷⁾ この表示では上述の B 及び C は、 $B = \exp\left[\frac{1}{kT}\{\epsilon(dl) - \epsilon(dd) + 2\epsilon(S) - 2\epsilon(D)\}\right]$ 及び $C = \exp\left[\frac{1}{kT}\{\epsilon(D) - \epsilon(I) + \epsilon(D) - \epsilon(S)\}\right]$ となるが、得られる結果式は $B \leftrightarrow BC$ 及び $C^2 \leftrightarrow B$ の置換で完全に同じになる。この場合にも $C = B^{\frac{1}{2}}$ の成立するときが单一パラメーターの過程であるから、 $C = B^{\frac{1}{2}}C'$ と置くとよい。

イオン触媒に属する R_2Mg 型と $RMgX$ 型の触媒で重合した PMMA をアセトンで可溶分、不溶分に分けた結果は第3図のようになる。特に R_2Mg 型の重合体で、アセトン可溶分はそれが増して遊離ラジカルの曲線に近付き、逆に不溶分のものが減少して $RMgX$ 型の分布に近く付くことは、この触媒による重合機構が二種混在する可能性を示す。この点はまだ明確でないが、 R_2Mg 触媒が会合しているか否かで stereoblock 共重合体に近くなるか、random な重合体になるかが決ることも考えられる。⁽⁸⁾ $RMgX$ 型の場合には、立体規則度が重合率に無関係なこと、又アセトン可溶分が不溶分より分子量の小さいことを考慮すると、重合機構は单一であると見られる。以上の考察の参考となる代表的測定値を第1表に示した。

(文献) (1) 渡辺, 園, 阿部, 西岡; 国際高分子会議 (モスクワ) June 17, 1960. (2) F.A. Bovey & G.V.D. Tiers; J. polymer sci.; 44, 173~182 (1960). (3) U. Johnsen & K. Tessmar; Koll. Zeits.; 168, 160~161 (1960). (4) 西岡, 加藤; 日本物理学会, 分科会, 北海道, 9月 (1960). (5) J.W.L. Fordham; J. polymer sci.; 29, 321 (1959). (6) 三宅; 物性論研究; [2], 4, 676 (1958). (7) 森原三宅; 日本物理学会, 年会, 金沢, 10月 (1961). (8) 古川; 化学の領域; 12, 85 (1958).

[第1表] 実測結果

触媒	重合温度	アセト ン抽出	i	ϵ	S	$\langle I \rangle$	$\langle D \rangle$	$\langle S \rangle$	B	C'
B.P.O.	-35°C	—	0.02	0.13	0.85	1.18	2	6.65	0.177	1
	-15	—	0.02	0.15	0.83	1.21	2	5.90	0.205	1
	20	—	0.04	0.19	0.77	1.30	2	4.34	0.299	1
	70	—	0.06	0.26	0.68	1.47	2	3.12	0.471	1
	100	—	0.06	0.28	0.66	1.52	2	2.94	0.516	1
	—	—	—	—	—	—	—	—	—	—
$(\text{EtAl})_2MgBr$	-40	可溶	0.90	0.04	0.06	47.6	1.16	3.95	1.31	0.085
	-20	—	0.93	0.04	0.03	47.9	1.27	2.49	1.63	0.119
	-10	—	0.92	0.04	0.04	47.5	1.22	2.99	1.47	0.104
	-40	不溶	0.41	0.18	0.41	5.55	1.22	5.55	1.00	0.220
	-20	—	0.52	0.15	0.33	7.93	1.18	5.39	1.07	0.181
	-10	—	0.71	0.11	0.18	13.8	1.18	4.27	1.21	0.154
$(\text{EtAl})_2Mg$	-50	可溶	0.16	0.26	0.58	2.23	1.46	2.82	0.676	0.426
	—	—	0.16	0.39	0.45	1.82	1.74	2.27	0.646	0.727
	—	—	0.13	0.38	0.49	1.68	1.78	2.21	0.563	0.754
	—	—	0.26	0.21	0.53	3.48	1.29	3.90	0.853	0.283
	—	—	0.38	0.16	0.46	5.76	1.19	5.91	0.970	0.191
	—	—	0.34	0.15	0.51	5.53	1.18	5.82	0.940	0.180

1-12 高分子・高分解能核磁共振共鳴

吳羽研究室高分子研究所 佐藤至朗 中條利一郎 尾内敏男 長井承一

高分子物質、高分解能核磁共振共鳴による研究は、雅賀界による天然ゴムの CS_2 溶液での測定以来あまりとりあげられなかつたようである。その理由の一つは、分子量の増加に伴い、吸収線の中心値が $\delta = 0$ より、高分解能装置を用いた意義がほとんど感じられないから、たゞしてあることから零れられた。雅賀界による上記の研究で δ Chemical shift の差が見られたばかりで、 I-I coupling K と Structure は見られておらず、たゞ Bovey Tiers, 西岡氏界によく独立してアクリル酸メチルの研究を行つた。この物質は重合條件により立体規則性が異なつてかかることから、重合條件の異なる試料で測定を行い、立体規則性の差に対応する Chemical shift の差を見出した。この問題に関しては西岡氏の講演が西子口すが、立体規則性の有する information は II coupling よりも得られることが予期される。しかし立体規則性が同一である試料で得たものは極めて困難であり、玲らじ不可能といふべきかも知れない。したがつて Chemical shift は玲らじ同一で I-I coupling K と splitting 大きさはほとんど一致するスペクトルを重ね合わせて観測し解消するものであるから、かなり不釣り合いであることは否認出来ない。

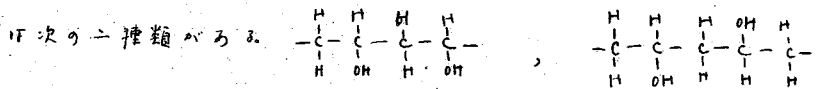
我々の報告では後者の場合によつて、二本によつて立体規則性の有する information を得るこゝとある。Ⅰではボリマーのレンツ高分解能核磁共振共鳴についてのべた。いずれの場合にも常温ではかなり粘度が高いうちから大半は固体であるために、水(D₂O-C₆H₆Cl₂ (オクタフルベンゼン) (助 10%) 溶液を用ひた。猶溶液にならうとも、Chemical shift の観測はなれず、 I-I coupling K と splitting は見られない。ゲル化してみるとのこなしては従来である。従つてポリビニルアルコール、塩化ビニル等は 100°C 附近 120°～150°C で測定した。

粘度、高い液体では一般に中立の点以上が知られてゐる。しかししながら高分子溶液に対する粘度、併し物質が中の吸収を示さなければ測定が可能である。高分子溶液の中の問題は有つて、2,3の人々によつて出でたアイデアがよくはないが、現在の所あつては必ずしもひとつかつたがわしい。特性上いふ観察は立つ限りばつ、マクロビスコン等一層問題である。マクロビスコンは大きさ(分子量)と差元がなくては説明がつかない。こゝで、前題はまだ完全に未解決であり、下の測定条件の兼ね合ひの上で考慮すべきである。

測定は以下の如き Varian T-4311 (60MC) スペクトロメーター、Varian T-4310 温度可変 -70°C ～ 200°C セクサリーパンによつて。

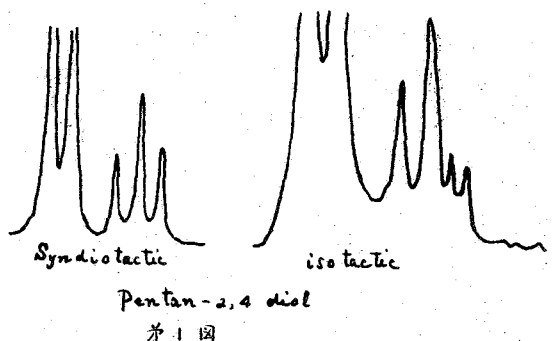
I ポリビニルアルコール

ポリビニルアルコールは $\text{CH}_2-\text{CH(OH)}$ を単位ビドウ高分子である。この結合式から



左は Isotactic 型, 右は Syndiotactic 型である。大々 I 型, S 型と命名するに止むす。
S 型の CH_2 単位れば, Pople 等の notation すれば CH のプロトンとの相互作用を考慮して,
A-B-A 型である。一方 I 型では ABC_n である。前者は中央の高い三重線であり後者はより複雑な段波形を示す。

長井⁽¹⁾等は Pentane 2,4 diol の I 型, S 型の分離と成功し赤外吸収による研究を發表した。
この試料のスペクトルは右の図のとおりであり, 左が S 型, 右が I 型である。
I 型のものは常温で粘度の高い液体であるため, 100°C で測定した結果を示した。
温度变化は narrowing 以外には何を認められなかつた。モデルとして Pentane 2,4 diol を用い
得る小数ポリビニルアルコール \rightarrow CH_2 group の analysis を行つた。右の図はポリビニ
ルアルコールのスペクトルであり, 各型の三重線を引いてその面積比度から I 型の数
N_I と S 型の数 N_S の比が求められる。次に三元中除⁽²⁾する Local regularity, 理論を用いれば,
平均ヒートの I 型の連続数 $\langle i \rangle$ と
I 型の平均, 單位ヒート数 $\langle i' \rangle$ が求めら
れる。



Pentan-2,4 diol

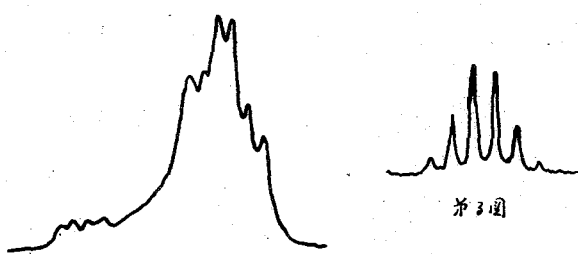
第1図

$$N_I/N_S = 54/46$$

$$\langle i' \rangle \approx 2.2$$

$$\langle i \rangle \approx 1.9$$

CH group は, 液膜の水と水としない, 高
温のスペクトルの全く不明である。しかし,
pentane 2,4 diol の場合, 完全な文
字であることはよく見て立体特異性の少
いことすべく差は見られないものである。



第3図

Polyvinyl alcohol, CH_2 group.

(1) 日化 81 976 (60) 白木, 長井

(2) J. Polym. Sci. 46, 163

高分子の高分解能核磁気共鳴 II.

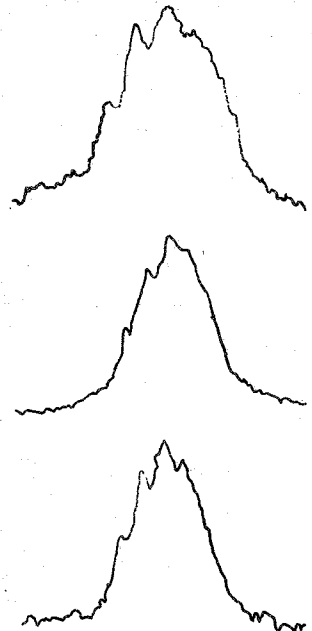
ポリ塩化ビニル、ポリ塩化ビニリデンおよび共重合物

吳羽紡高機研 佐藤至朗、中條利一郎、尾間敏男、長井榮一

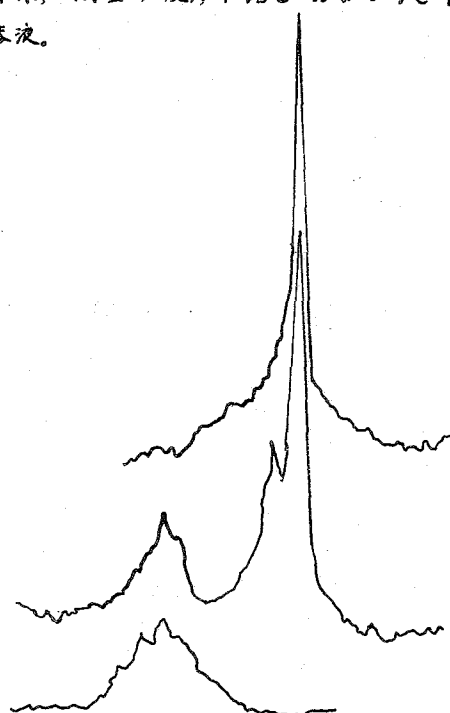
裝置 スペクトロメータ: Varian V-4311, 溫度可変プローブアクセサリー: Varian V-4340 ($\sim 100^{\circ}\text{C}$ で使用)

試料 PVC-1(粉末), PVC-2(繊維), PVC-3(粉末, 低重合度), PVdC および VC-VdC 共重合物の 5 種。いずれも O-ジクロロベンゼン 10% 濃液。

結果



第1図 PVC のメチレン基の共鳴スペクトル



第2図 PVdC, 共重合物, PVC のメチレン基の共鳴スペクトル

解釈 PVC の syndiotactic configuration をとるメチレン基の陽子共鳴スペクトルは 3 重項になると考えられるから、適当な 3 重項スペクトルを仮定して、それと残りとの差から、両方の configuration の数の比 (N_s, N_t) を求めた。又、それぞれの configuration が連続して現れる期待値 ($\langle s \rangle, \langle t \rangle$) および重合の際ににおける両方の configuration のエネルギー差 (J) を理論的に求めた。共重合物についても同様な量を実験的および簡単な計算により求めた。

	N_s (%)	N_t (%)	$\langle s \rangle$	$\langle t \rangle$	J/kT	ν_{VC-VC}	20%
1	64	36	2.8	1.6	-0.59	ν_{VC-VDC}	15%
2	44	56	1.8	2.3	0.24	$\nu_{VDC-VDC}$	65%
3	65	35	2.9	1.5	-0.62	$\langle VC \rangle$	3.7
						$\langle VDC \rangle$	9.7
						N_{VC}	27%
						N_{VDC}	73%

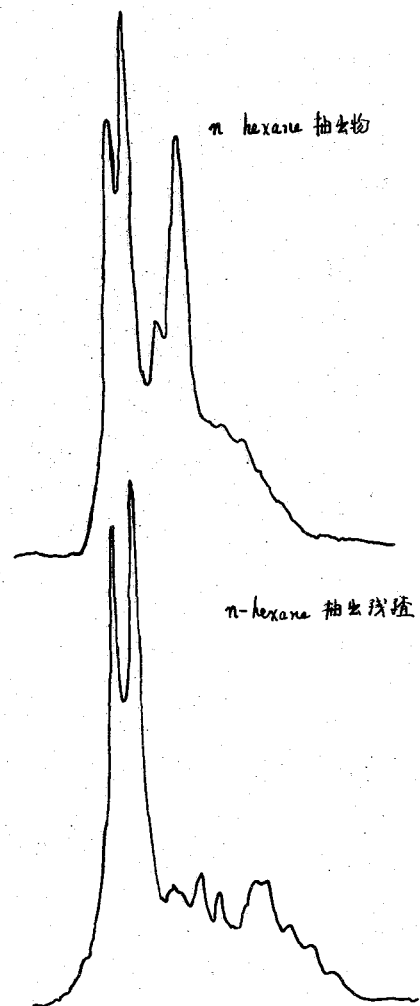
III ポリプロピレン

ポリプロピレンに肉しては、*n-hexane* で抽出したものが atactic であるといふ説があるが必ずしもそれが正確ではない。そこで市販のポリプロピレンチップを、アセトン、*n*-ヘキサン、*n*-ヘキサントンで抽出し、抽出物、抽出残渣について NMR スペクトルを取り、アセトン抽出物は高分子物質ではないと、比較的簡単なスペクトルを呈し、温度変化を全く認められない。因に *n-hexane* 抽出物と抽出残渣のスペクトルが左側に示す。

左の doublet は普通に普通があり、右端まで多く似た形のものが並び、中央の CH₂ group とおぼしきあたりに著しい差が認められる。これが立体規則性の相違に起因するものであるかは不明である。

因は二つのスペクトルで、doublet が 3 つ以上の者であるが、実際には *n-hexane* 抽出物の方が約 6 c/s. 高磁場側にある抽出物の大さな peak が付いて吸収残渣では認められない。

この問題は肉しては且下実験中であり、今後まとめて報告する予定である。



2-1 錫塩溶液の核磁気共鳴(Ⅲ)

シス・トランス構造異性と化学シフト

[理研] 林 昭一

[目的] 核磁気共鳴による錫塩溶液の研究は従来、⁶³Co および¹⁵N を対象とし、前者からは対称性のよいコバルト錫塩について、吸収スペクトルの第1吸収帶の吸収極大の波長と⁶³Co 共鳴周波数との間に直線関係のあることか見出され¹³、また後者からは二三の金属アンミンにについて、その共鳴線が塩化アンモニウムとの水に比べてかなり幅が広く、大きな反磁性シフトをもつことが明らかにされたが¹⁴、さらに完全周期するためには配位子の陽子共鳴を測定する必要があると思われたので、ここにコバルトエチレンジアミン錫塩の重水溶液における陽子共鳴スペクトルを測定した。

[実験および結果] 化学シフトはサイドバンド法により測定し、シグナルの幅はサイドバンドピークから得られた掃引速度から決定した。

測定した代表的スペクトルを図1 a, b および c に示す。スペクトルから得られた化学シフトおよびシグナルの幅を表1に記載した。化学シフトは、内部標準のジオキサンを 0.00 としたシフトをもととし、また H₂O シグナルを 0.00 としたシフトをもととして表わした。エチレンジアミンの重水溶液は $\delta = 1.24$ および -1.26 の位置に銳い共鳴線をもつ。高磁場側の半値幅 2.3 cps のシグナルは CH₂ によるものであり、また低磁場側のシグナルは NH₂ と D₂O との間のはやい陽子交換から生じた H₂O ならびに HDO によるものである。エチレンジアミンが Co 原子に配位した試料溶液の CH₂ シグナルは、図1 b の [Co(en)₃]Cl₃ にありては自由のエチレンジアミン中の CH₂ より 0.23 ppm 低磁場に、また配位子のエチレンジアミン中の Cl⁻ 2 原子が置換した図1 c の [Co(en₂Cl₂)Cl]⁺ では、b の [Co(en)₃]Cl₃ より 0.16 ppm 低磁場にし、同時に CH₂ シグナルの幅は 1.3 cps から 12 ないし 25 cps に増大する。

しかし表1に示したように、濃度の等しい2組の試料、[Co(en)₃](NO₃)₃ と [Co(en)₃]Cl₃ および [Co(en₂Cl₂)Cl]⁺ と [Co(en₂Cl₂)Cl]⁺ については、いずれも陰イオンによるシフトの差は認められない。また、配位子エチレンジアミンの NH₂ シグナルは図1 b の [Co(en)₃]Cl₃ にありては、 $\delta = -1.26$ の位置にあるが、c の [Co(en₂Cl₂)Cl]⁺ にありては前者より 0.4 ppm 低磁場に移動し、シグナルの幅は 29 cps から 21 cps に減少する。つぎに、東工より [Co(en₂Cl₂)Cl]⁺ の固体とトランス体とは、両者の CH₂ の化学シフトは 0.28 ppm で、トランス体が低磁場にあり、シス体では CH₂ シグナルは認められぬ。

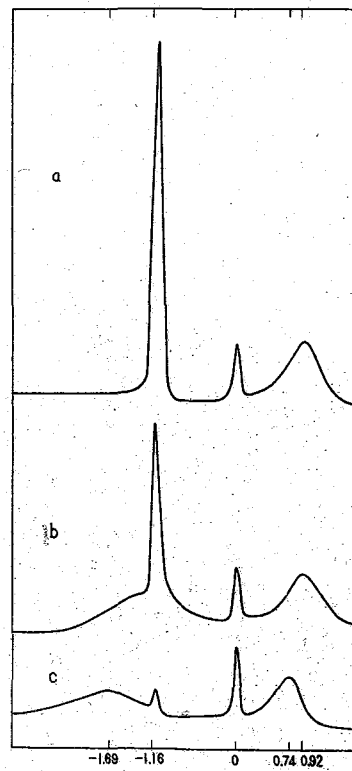


図1

(考察) NH_2 シグナルは陽子交換³⁾

ないし共鳴核の周囲の電場の非対称性を示す現象が存在する場合に、観測される大きさ、また実験結果からもわかるように隣の CH_2 プロトンシグナルは、 NH_2 プロトンとほぼ同じほどまで移る²⁾。以下 CH_2 のシフトにより論議を進める。

1 化学シフト

1) エチレンジアミンと $[\text{Coen}_3]X_3$ では、两者の化学シフトは 0.23 ppm
 $2)$, $[\text{Coen}_3]X_3$ が低磁場側, more shield

にある。これは配位結合により窒素の電子雲密度が低くなることによるもので、強い Co-N 結合の存在を示唆するものである。

2) $[\text{Coen}_3]X_3$ と $[\text{Coen}_2\text{Cl}_2]X$ では、两者の化学シフトは 0.16 ppm
 $2)$, $[\text{Coen}_2\text{Cl}_2]X$ が低磁場側にある。前者は Co に配位して 3 N の数が 6 つであり、これに対しても後者は 4 つであり Co-Cl の結合は弱く、イオン結合性が強いので、 N から Co への電荷の移動は後者の方が多く、したがって後者の方が前者より低磁場側にシフトするものと考えられる。したがって錯基外陰イオンの化学シフトへの寄与は主として小さいが、 $[\text{Coen}_2\text{F}_2]X$, $[\text{Coen}_2\text{Cl}_2]X$ と $[\text{Coen}_2\text{Br}_2]X$ などとの間には化学シフトの差異があることか予想される。

3) $[\text{Coen}_2\text{Cl}_2]Cl$ のシス体エトランス体では、两者の化学シフトは 0.28 ppm
 $2)$, トランスクルマドリック体が低磁場側にある。このことは後者が前者より軌道の重なりが少ないのであると言えられ、後者の水素イオン濃度が低いことはこれを示唆するものである。

2 シグナルの幅

自由のエチレンジアミンでは、 NH_2 シグナルは観測されず、かつ強い H_2O シグナルが観測されるので、 CH_2 シグナルの幅は陽子交換により鋭く窄いものと答えらるが、錯塩水溶液では、陽子交換の半減期は数分ないし 1 小時以上であることからして分子が⁵⁾、 NH_2 ないし CH_2 シグナルの幅は主として N 核の周囲の電場の非対称性によるものと考えられる。

表 I 錯塩水溶液の化学シフトと幅

化合物	濃度 モル%	NH_2		H_2O		CH_2	
		δ	ΔH_2	δ	ΔH_2	δ	ΔH_2
$\text{NH}_2\text{CH}_2\text{CH}_2\text{NH}_2$	0.68	—	—	-1.16	0.00	1.14	1.3
$[\text{Coen}_3](\text{NO}_3)_3$	0.68	—	—	-1.10	0.06	0.91	1.2
$[\text{Coen}_3]\text{Cl}_3$	0.68	-1.26	29	-1.08	0.08	0.91	1.5
$[\text{Coen}_3]\text{Br}_3$	S	—	—	-1.16	0.00	0.93	—
$[\text{Coen}_2\text{Cl}_2]\text{F}$	0.68	-1.65	23	-1.16	0.00	0.74	1.1
$[\text{Coen}_2\text{Cl}_2]\text{Cl}$	0.68	-1.73	24	-1.13	0.03	0.75	1.1
$[\text{Coen}_2\text{Cl}_2]\text{Br}$	S	—	—	-1.16	0.00	0.83	—
trans- $[\text{Coen}_2\text{Cl}_2]\text{Cl}$	0.13	-1.69	—	-1.19	0.03	0.71	—
cis- $[\text{Coen}_2\text{Cl}_2]\text{Cl}$	0.23	—	—	-1.16	0.00	0.99	—

1) R. Freeman, G. R. Murray, R. E. Richards. Pro. Roy. Soc. (London) 4242 455 (1957).

2) B. M. Schmidt, L. C. Brown, D. Williams. J. Molecular Spectroscopy 3 539 (1958).

3) E. Grunwald, A. Loewenstein, S. Meiboom. J. Chem. Phys. 29 630 (1959).

4) J. P. Roberts. J. Am. Chem. Soc. 78 4495 (1956).

5) J. S. Anderson, N. L. Spoor, H. V. A. Briscoe. J. Chem. Soc., 361 (1943).

2-2 アミノ酸のNMR

[東大理] 藤原謙男 [電通大] ○ 荒田洋治 [東大医] 櫻井宏直 [原子力研] 早川直宏

〔序〕

アミノ酸は蛋白質の構成要素として古くから我々になじみ深い化合物である。このためこれは長年にわたって色々な角度から研究されて来た。

高分解能NMRを利用した研究も Jardetzky, Takeda (1957), Jardetzky (1958), Bovey, Tiegs (1959) その他によつて報告されているが、これらもケミカルシフトのデータの簡単な紹介にとどまっている。しかしながらNMRを利用してアミノ酸の特長である光学活性と分子構造の関係を論じることは現段階では不可能である。またアミノ基のプロトンは非常に酸性の強い状態の他は分子間で速々に交換するためシグナルを観測することができない。従つて現在のところNMRの対象となるのはもっぱら炭素鎖に結合したプロトンといふことになる。しかしこの点につりても詳細に検討すれば種々の知見を得ることができる。

蛋白質のような高分子量の化合物の高分解能NMRの実験には色々の障害があり余り成果はあがっていないがアミノ酸のNMRの研究は将来この方向に進むための基礎データを提供するものとして意義あるものと考えられる。

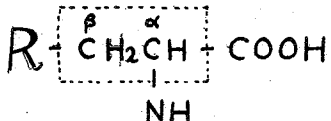
〔実験〕

対象としたアミノ酸は次の20種類である

Glycine, DL-Alanine, L-Cystine, L-Cysteine, L-Serine, L-Vanine, L-Leucine, DL-Isoleucine, L-Threonine, DL-Methionine, L-Phenylalanine, L-Tyrosine, DL-Tryptophan, L-Idistidine, L-Lysine, L-Arginine, L-glutamic acid, L-Aspartic acid, L-Proline, L-Hydroxyproline.

溶媒には重水を用い、濃度は1Mol%とした(不溶のアミノ酸は濃塩酸少量を加えて溶解せしめた)。測定装置は VARIAN 社 V 4300 C Spectrometer (56.44 Mc/sec) を使用した。

(1) 上記のアミノ酸は Glycine, Vanine, Threonine の他はすべて

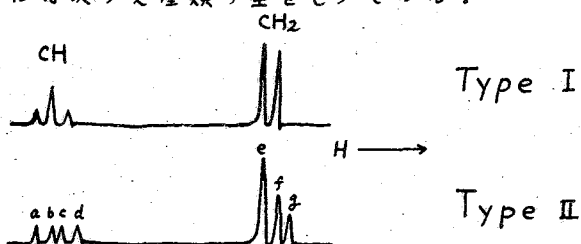


のような構造をもつてゐる。

i) Rのもつプロトンが C^α , C^β のプロトン(以下 $\text{H}(\alpha)$, $\text{H}(\beta)$ と記す)と磁気的に独立であるもの: Cystine, Cysteine, (Serine), Idistidine, Phenylalanine,

Tyrosine, Tryptophan, Aspartic acid.

これらのアミノ酸では CH_2CH のシグナルを他の部分と独立に観測することができる。実測スペクトルは次の2種類の型をもつている。



Type I : Aspartic acid, Cysteine, (Alanine).

Type II : Phenylalanine, Tyrosine, Tryptophan, Histidine, Cysteine

Type I では $H(\alpha)$ が $1 : 2 : 1$ の強度の比をもち $H(\beta)$ の2本の線の強度がほぼ等しい。

Type II で 線 b, c 及び f, g の間隔は化合物によって異なるが温度を上げてスペクトルを測定すると必ずしも間隔がせばまり Type I に移行する傾向をもつ。

(ii) Methionine, glutamic acid; $H(\beta)$ が複雑に分裂するが $H(\alpha)$ のシグナルは共に Type I に属する。

(iii) Leucine, Isoleucine, Lysine, Arginine のように R として長く炭素鎖をもつアミノ酸では $H(\alpha)$ のシグナルは triplet で Type I であるが各線の中が広がる傾向がある。

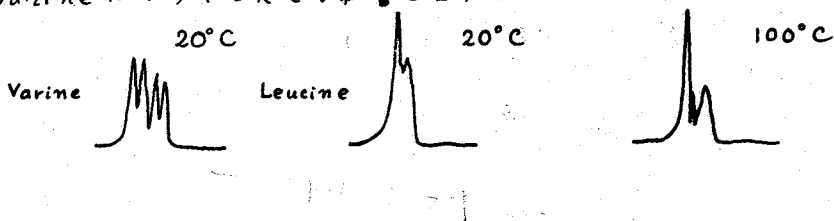
(iv) Serine では $H(\alpha)$ と $H(\beta)$ のケミカルシフトが非常に接近するためそれらを別々に区別できなくなりスペクトルが複雑になる。

(v) Threonine, Valine: $H(\alpha)$ は共に鋭い doublet

(vi) Proline, Hydroxyproline: 後者の $H(\alpha)$ のシグナルは Type II であるが、やはり温度を上げると Type I に移行する。これに対し前者の $H(\alpha)$ のシグナルは非常に複雑である。スペクトル全体の形も前者は温度変化で影響を余さないが後者では可成り線の形や中が変化する。

(2) Valine & Leucine の Isopropyl 基

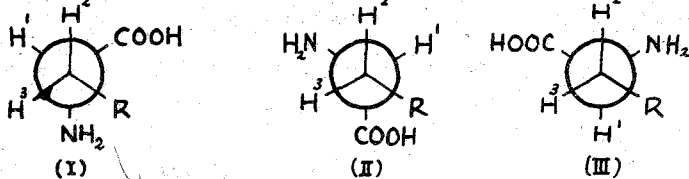
下図に示すように両者の形は非常に異なっている。また温度を上げて測定すると Leucine より Valine にくらべて大きな影響を受ける。



[スペクトルの解釈と分子構造]

(1) アミノ酸が $C^\alpha-C^\beta$ 軸のまわりに回転するとき夫々の炭素に結合する置換基が複雑であるため、それらの相互作用によるポテンシャルは回転角度によつて極めて複雑に変化する

が次の(I)～(III)の構造(いわゆる Staggered form)をとると極小値をもつと考えてよ。



(I), (II), (III)の間をへだてる barrier(これは eclipsed formをとるときのポテンシャルで決まる)が充分高ければ(I), (II), (III)という3種類の異性体が別々に存在してゐると考えてよい。しかし barrierが低くなつてくれば(I), (II), (III)のもつポテンシャルが全り異ならなければ、(I)と(II)、(II)と(III)、(III)と(I)の間で異性体間の移行が可能となる。この場合(I), (II), (III)の寿命は各々異なる。

一般に δ (cps)だけただたたた2本のスペクトルを独立な線として観測するためには各々の線に対応する分子構造は $1/\delta$ (sec)程度以上の寿命をもたねばならない。NMRで扱う線の間隔(ケミカルシフトやスピロスビン結合による)はIRスペクトルなどに比べて一級と少さり。従つて上記の(I), (II), (III)の各々に対応するスペクトルの差が各々の異性体のもつ寿命の逆数にくらべて小さき場合にはこれらはもはや独立な異性体のスペクトルとしては観測されずそれらの平均(各々の寿命に対応する重みをつける)されたスペクトルが唯一種類、観測されることになる。これはIRスペクトルによる回転異性体の研究と非常に異なる点である。

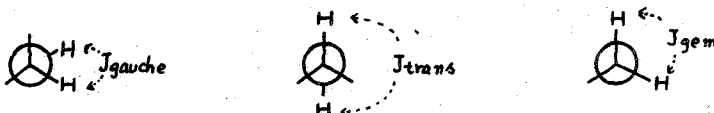
(I), (II), (III)の寿命の比が ρ_1, ρ_2, ρ_3 で与えられてゐるとすれば上述のような異性体間の速かな反転によつてNMRスペクトルは次のようなスピロスビン結合定数及びケミカルシフトをもつ分子のそれと見かけ上は同等になる。

$$J = \langle J_{12} \rangle_{AV} = (\rho_1 + \rho_2) J_{gauche} + \rho_3 J_{trans}$$

$$J' = \langle J_{13} \rangle_{AV} = (\rho_1 + \rho_3) J_{gauche} + \rho_2 J_{trans}$$

$$J'' = J_{gem}$$

ケミカルシフトにつつても同様に $\delta = \langle \delta_1 \rangle_{AV}, \delta' = \langle \delta_2 \rangle_{AV}, \delta'' = \langle \delta_3 \rangle_{AV}$ を表わすことができる。但し $\rho_1 + \rho_2 + \rho_3 = 1$ で、 $J_{gauche}, J_{trans}, J_{gem}$ は



従つてさうに得たアミノ酸の CH_2CH_2 のスペクトルは正確にはABC型として解析しなければならない。しかし Serine の他は $H(\alpha)$ と $H(\beta)$ のケミカルシフトは 1 ppm 以上あるので J, J' に比べて充分大きくこれらのスペクトルは近似的には ABX 型として取扱うことができる。

ところが ABX 型のスペクトルが一般には 12 本の線をもつてゐるのに對しアミノ酸で実際に観測できるのはわずか 6 から 7 本にすぎない(これは $|\delta' - \delta''| > |J''|$ に比べて

(参考)

同程度、或いはそれ以下に A B 部分のスペクトルの両翼の線の強度が殆どにならためである)。このため ABX という近似計算を行うにしても (例えば Pople らの表を用いて) スペクトルから正確にケミカルシフト やスピノスピン結合定数の値を決定することは必ずしも。

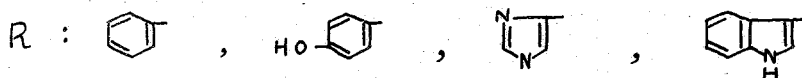


従来、3スピン系のスペクトルの解析には色々な方法が提案されてゐるが、その殆どが理論的に存在する線の位置 (及び強度) が正確に決定されることを要求する。従ってここで我々が出会ったような実測される線の数が極端に少ない場合には適用が実際には困難である。Shimizu, Arata, Fujiwara によって提案された方法はこのように線の数が少ないときには極めて有効である。これは最初適当な J , δ を仮定して計算したスペクトルを実測図と比較しあとの線について吸収位置、吸収強度の差を求め最小自乗法を利用して J , δ の値を refine するものである。(この方法については既に別の機会に発表しているので、ここでは触れないことにする)

* * *

異性体の間の反転の確率は、barrier が低くなれば、大きな値をもつようになる。と同時に ρ_1, ρ_2, ρ_3 の差は次第に小さくなるであろう。その結果前述のことからわかるように $J \approx J'$, $\delta' \approx \delta''$ となりスペクトルは ABX から A_2X に変化することになる。温度を上げても同様な状態に近づくことが期待される。

$R : H, (OH), SH, COOH, CH_2COOH$
のような置換基をもつアミノ酸が Type I のスペクトルをもつものに対し



などの大きな置換基をもつアミノ酸が Type II のスペクトルをもつことや、Type II のスペクトルをもつアミノ酸を温度を上げて測定すると (b, c) 及び (f, g) の線が夫々一本に融合して Type I のスペクトルを示すことはこのことを裏付けるものである。

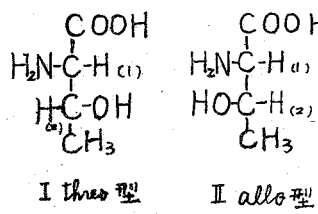
その他他の結果についても現在検討されている。また蛋白質への第一歩として 2,3 の dipeptide についての実験も進行中である。

* スペクトル上に現われた見かけのスピノスピン結合定数は、勿論、 $J, J', (J'')$ とは一致しない。

2-3 スレオニン幾何異性体のNMR

日本電子 竹内 誠
名大工 服部秀三
東工試 須田建吉

α -アミノ酸であるスレオニンは必須アミノ酸の一つであり、生化学的に重要な物質であるが、単純な化合物にも拘らず分子内に異った型の2つの不整炭素原子があり、従って2つの幾何異性体とその夫々の対掌体が可能であり構造化学的にも興味ある化合物である。



天然の蛋白質を分解して得られるものは圖1のIの構造のスレオ型であるが、これに対してIIの構造のアロ型も合成されている。NMRに於いても C-C 単結合のまわりの束縛回転の問題としてとりあげることが出来る。我々は2つの幾何異性体の測定を行いその結果を考察したので以下に報告する。

図 1

実験及び結果 高分解能NMRの測定は日本電子株式会社製のJNM-3型核磁気共鳴装置によって行った。測定周波数40 MC 常温重水溶液を測定したNMRスペクトルは図2に示すやうなものである。

(A), (B)いずれのスペクトルに於ても高磁場側から CH_3 , $\text{H}_{(1)}$ ($\text{H}_2\text{N}-\overset{\text{C}}{\underset{\text{CH}_3}{\text{C}}}-\text{H}_{(1)}$), $\text{H}_{(2)}$ ($\text{H}_2\text{N}-\overset{\text{C}}{\underset{\text{CH}_3}{\text{C}}}-\text{OH}$) 及び H_2O の共鳴であると考えられる。また CH_3 共鳴が $\text{H}_{(2)}$ との I-I カップリングで二重線になつてゐる。 $\text{H}_{(1)}$ 共鳴も同様に $\text{H}_{(2)}$ とのカップリングで二重線となつてゐる。COOH 及び OH は速い分子間水素核交換作用によつて区別されず、重水中の軽水とともに強い单一線としてあらわれてゐるヒ考えられる。NH₂ は COOH 及び OH と同様水素核交換作用をしてゐるか、或は N¹⁴核の quadrupole relaxation に基づく line broadening を起こして観測されないかのいずれかによるものと考えられる。

これら2つのスペクトルから実験的に求めた $\text{CH}_3 - \text{H}_{(2)}$ 及び $\text{H}_{(1)} - \text{H}_{(2)}$ 間のカップリング定数と $\text{H}_{(1)} - \text{H}_{(2)}$ 間の相対的シフトを表Iに示す。

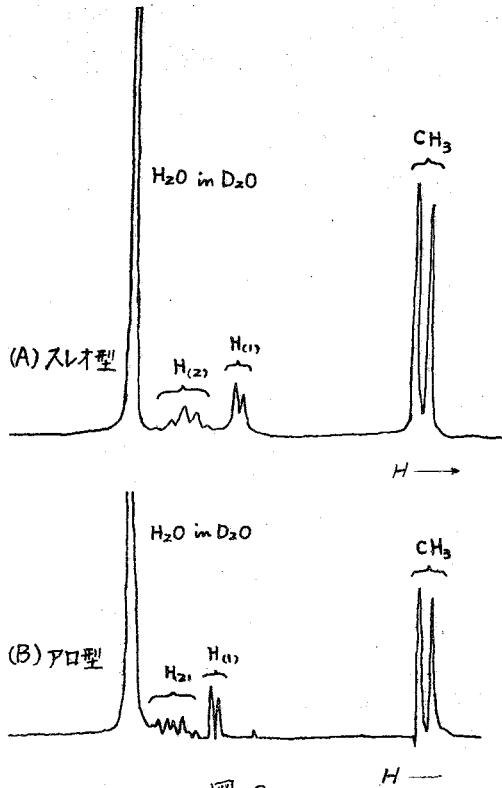


図 2

スレオ型、アロ型これら2つの異性体の間に $H_{(1)}-H_{(2)}$ 間のカッププリング及びシフトの差が認められる。

考察 $H_{(1)}$ と $H_{(2)}$ との間のカップリング定数のスレオ型とアロ型の間の差を説明するに当って、夫々の構造に於て2つの不整炭素原子の結合軸のまわりに回転異性体を考え、これに水素結合の寄与を考慮した。即ち考えられる回転異性体は図3の如くである。

上記構造で考えられる水素結合はカルボニル基とヒドロキニル基の間とアミノ基とヒドロキニル基の間であるが、図4に示すように前者の間に於いて作る場合は六員環構造をとるのに對して、後者の間に於いて作る場合は五員環構造をとることが判る。

分子内水素結合が安定に存在するのはIIの如き六員環構造としてであつてIの如き五員環構造の寄与は遙かに小なりものと考えられる。Iの構造の寄与が無視出来るとしてスレオ型の場合IaとIbが安定な構造として考えられ、アロ型の場合IIaとIIcが考えられる。今後其他の寄与を考えないとするとスレオ型に1:3アロ型にしろ、2つの安定な構造の間では優劣がなく1:1の存在比を示すであろう。

ここで注目すべきことは2つの異った不整炭素原子に直接結合している水素核 $H_{(1)}$ と $H_{(2)}$ の相対的位置で、スレオ型の場合Ia, Ibともgaucheであるのに對してアロ型の場合IIaはtrans IIcはgaucheであると言ふことである。M. Karplus²⁾の計算によれば、隣接して結合している炭素原子の夫々に結合した水素核の間のカップリング定数は次式によつて与えられる。

$$\begin{aligned} JHH'(\text{contact}) &= 8.5 \cos^2\phi - 0.28 \text{ cps} & 0^\circ \leq \phi \leq 90^\circ \\ &= 9.5 \cos^3\phi - 0.28 \text{ cps} & 90^\circ \leq \phi \leq 180^\circ \end{aligned}$$

上式によつて計算すればtrans (180°) の位置にある場合 $JHH' = 9.2 \text{ cps.}$, gauche (60°) の位置にある場合 $JHH' = 1.7 \text{ cps.}$ である。スレオ型及アロ型の夫々に於いて、2つの安定な構造の与えるカップリング定数の平均値が観測されるとするとき $H_{(1)}-H_{(2)}$ 間のカップ

	スレオ型	アロ型
$JCH_3-H_{(2)}$	6.5 cps	6.3 cps
$JH_{(1)}-H_{(2)}$	5.2 "	3.9 "
$\delta H_{(1)}-\delta H_{(2)}$	0.70 ppm	0.51 ppm

表 1

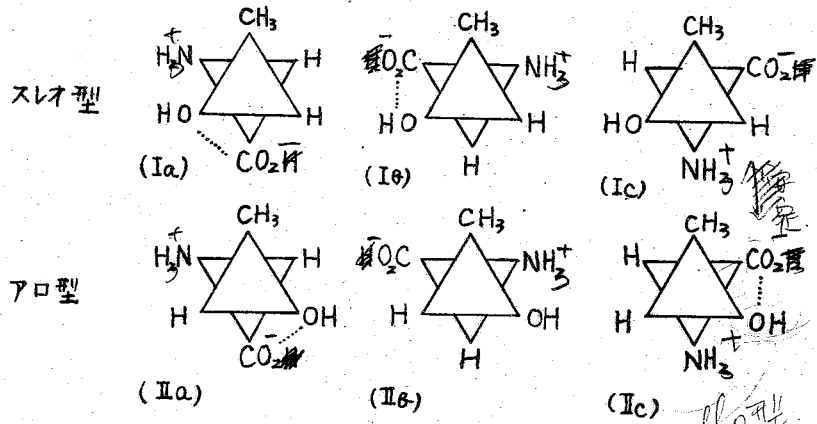


図 3

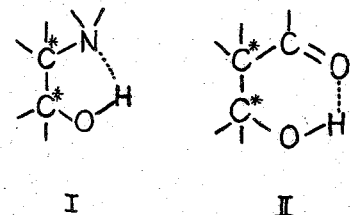


図 4

リング定数の $J_{\text{theo}} = 1.7 \text{ cps}$, $J_{\text{allo}} = 5.45 \text{ cps}$ と計算される。これら実験結果に於ける $J_{\text{theo}} > J_{\text{allo}}$ の傾向を矛盾する。このことは水素結合の寄与を考えながら図3の回転異性体の構造に於てカルボニル基をヒドロキシル基は尚正常な gauche (60°) の位置にあるとしたためと考えられる。カルボニル基ヒドロキシル基の間の強い水素結合のために正常な gauche の位置から少しぬじれていることを考慮に入れるにこれが説明することができる。今正常な gauche からのねじれの角を -20° として計算すると $J_{\text{allo}} = 4.05$, $J_{\text{theo}} = 4.71 \text{ cps}$ となる。

今ねじれの角を -20° として全く仮定して取ったものであるが、水素結合によるねじれを考慮するににより計算値を実験値に近づけることが判る。

立体障害も当然考慮されなければならぬと考えられるが、アロ型の場合障害の最も大きい構造は II_a であり、先に水素結合のみの考慮から安定な構造と考えた II_a, II_c は II_a に較べて障害は少く、やはり安定な構造と考えられる。これに対してスレオ型では先に水素結合のみの考慮から安定な構造と考えた I_a, I_c とともに立体障害の大きい構造である。従ってスレオ型の場合 I_c の構造の寄与が無視出来なくなると考えられる。I_c の構造の場合 H_a-H_b は trans である。従って 2 重結合を考慮に入れるとカップリング定数の平均値は大きくなり、実験値との間により一致が得られる。

- 1) "High-resolution Nuclear Magnetic Resonance" by Pople, Schneider and Bernstein
- 2) M. Karplus, J. Chem. Phys. 30, 11 (1959)

2-4 オルト-アルキルニトロベンゼンの N^{14} -NMRについて。

神大理 ○衣笠俊男 雜賀亜幌 渡會節夫 中村美智子

数種の 2-アルキル-及び 2,6-ジアルキルニトロベンゼンの $N-O$ 伸縮振動¹⁾をみると、表 I に示す如く逆対称伸縮 (Asym) には注目すべき波数変化はみられないが、対称伸縮 (Sym) では置換基の変化に伴つて予想される立体障害の増加に応じて高波数への動きが顯著である。後者にみられる波数変化の傾向は、オルト置換アルキル基によるニトロ基の共鳴禁止の増大に対応するものと考えられる。

本実験は、上述の如き傾向がこれらの化合物の N^{14} 化学シフトにどのように現れるかをみようとして行つたものである。

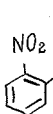
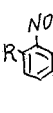
実験は当理学部神田研究室の NMR スペクトロメーター (16,300 gauss, 5Mc) を用いて行つた。内径約 12 mm のアンプル管に液体試料約 3 cc を入れ、更に内径 2~3 mm の硝子管にテトラニトロメタンを入れたものを挿入しこれを外部基準とした。

Hölder 及び Klein²⁾ は $N O_3^-$ を基準としテトラニトロメタンに対し 46 ppm を与え、又 益田及び神田³⁾ はニトロメタンと $N O_3^-$ にシフト差のないことを報告している。そこでニトロメタンを基準としてテトラニトロメタンに対し 46 ppm とおき得ることを、 NH_4NO_3 の飽和水溶液 ($N O_3^-$ を基準として 346,³⁾ 348²⁾ ppm) との比較実験により確めた上で測定を行つた。

実験結果を表 II に、又そのシフトの位置と幅の様子を図 I に示す。測定に供した化合物の N^{14} 化学シフトは何れもニトロメタンより高磁場側にあり、シフトの動きにみられる傾向は $N-O$ 対称伸縮振動に認められた波数変化のそれと一致する。即ちオルト置換基の立体障害によりニトロ基のベンゼン環との平面性が減少するにつれて、漸次ニトロメタンの方向に動いていく。

表 I $N-O$ 伸縮振動

(CHCl₃ 溶液)

化合物	$\nu_{N-O} \text{ (cm}^{-1}\text{)}$		Δ^*		
	Asym	Sym	Δ_{as}	Δ_s	
CH ₃ NO ₂	1563	1377	36	29	
C ₆ H ₅ NO ₂	1527	1348	0	0	
 NO ₂ R	Me	1524	1348	-3	0
	iiso-Pro	1524	1358	-3	10
	tent-Bu	1527	1369	0	21
 NO ₂ R	Me	1526	1369	-1	21
	iiso-Pro	1524	1375	-3	27
	tent-Bu	1531	1376	4	28

* ニトロベンゼンとの波数差

尚ニトロベンゼンに対し -2 ppm といふ報告²⁾もあるが、Schmidt, Brown 及び Williams⁴⁾は 21 ppm としており、著者等の測定からもニトロメタンより高磁場側にあることはまちがいなかが、Schmidt 等の値は大きすぎるようである。

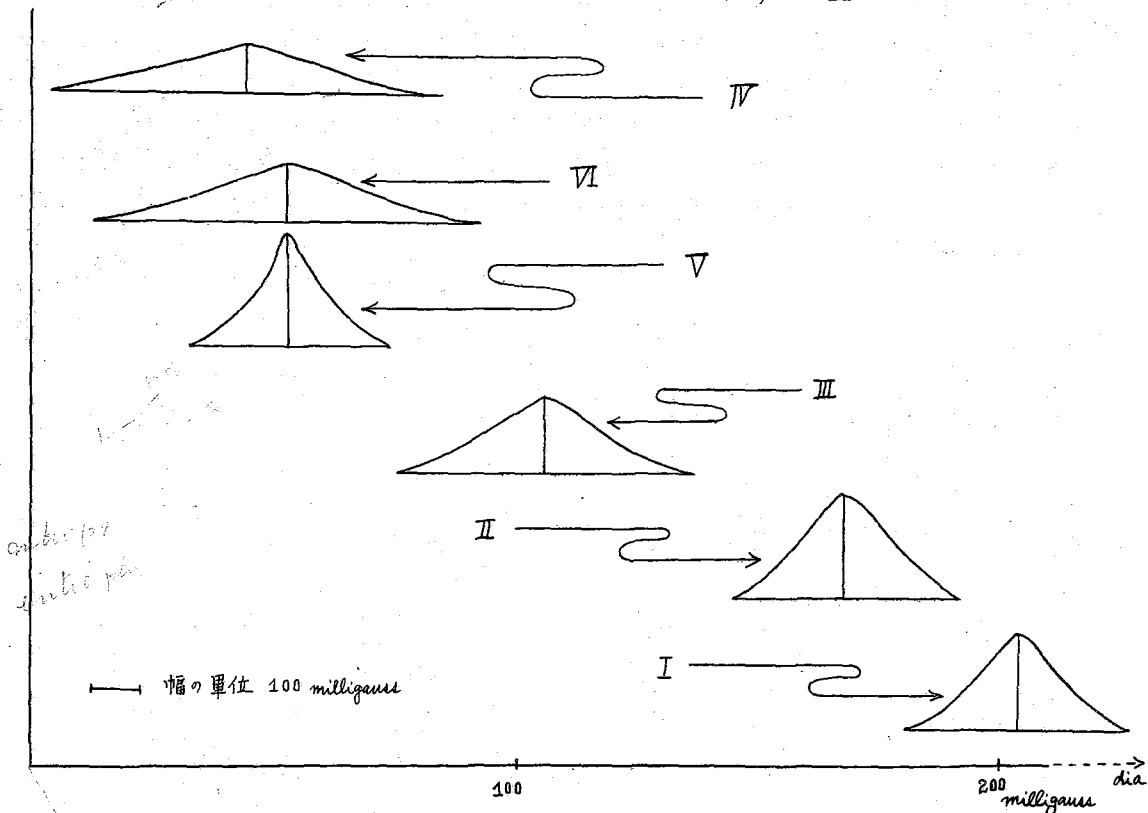
引用文献

- 1). 衣笠, 渡会, 日化誌投稿中 (第6回赤外ラマンスペクトル討論会講演集 71頁)
- 2). B. E. Holder, M. P. Klein, J. Chem. Phys. 23, 1956 (1955).
- 3). Y. Masuda, T. Kanda, J. Phys. Soc. Japan. 8, 432 (1953).
- 4). B. M. Schmidt, L. C. Brown, D. Williams, J. Molecular Spectroscopy. 2, 551 (1958).

表II N^{14} の化学シフトと幅
(16,300 gauss)

化合物	記号	シフト (Milligause)	幅 (Milligause)	δ , ppm
CH_3NO_2		0		0
$C_6H_5NO_2$	I	204	465	12.4
	Me	II	168	472
	iso-Pro	III	106	606
	tert-Bu.	IV	44	812
	Me	V	53	411
	iso-Pro	VI	53	793

図I シフトの位置と幅



2-5 Azide の構造とNMR

神大理 O神田貞之助, 齋藤祐四郎, 川村和民

1. 緒論

Azide の N^{14} の NMR に就ては未だ発表された文献がない。我々は以前に NaN_3 aq. に就て実験し興味ある結果を得たが、装置が不十分なため追及できなかった。今回新しい装置で NaN_3 aq. 及び $C_2H_5N_3$ に就き、化学シフトと T_1 に就て実験し、その結果と Azide の分子構造との関連性を追及した。

2. 実験

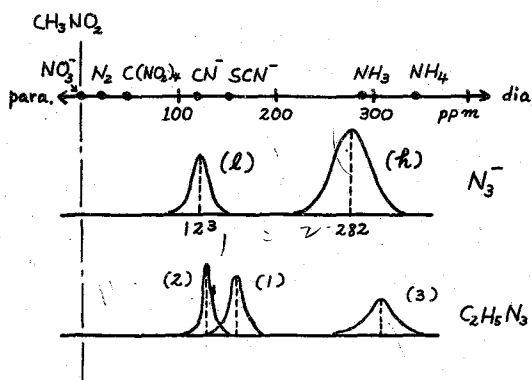
磁場 16 kG, 周波数 5.0 Mc で行った。シフトの測定には規準物質として CH_3NO_2 を試料の中央の細管に封入して行った。回路はオートタイン法で周波数は水晶で監視して磁場掃引を行いまた T_1 の測定は飽和法により行い Watkins の Calibrator Circuit を用いた。

3. 結果と検討

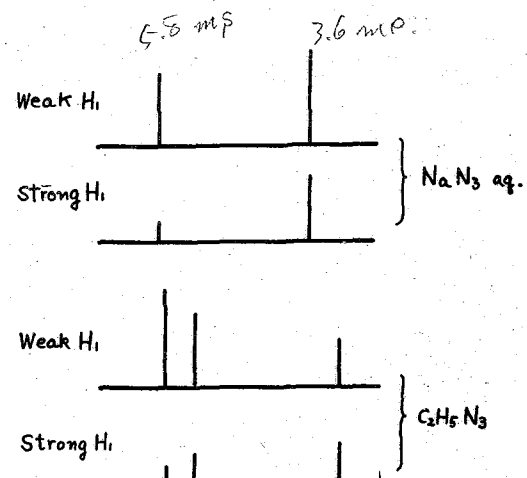
オ1図に得られたスペクトルと従来参考の爲に代表的な N^{14} のスペクトル⁽¹⁾を描く。

i) NaN_3 aq.

2本の線よりなり高磁場側 (h) は低磁場側 (l) に比べて巾が広く、その面積比は略々 2:1 となつた。この巾は T_1 によるもので、測定の結果 $T_1(h) = 3.6 \times 10^{-3}$ 秒, $T_1(l) = 5.9 \times 10^{-3}$ 秒を得た。 T_1 が可成り異なることは実験的に容易に見出せる。弱い高周波磁場 (H_1) での共鳴線の max. slope deflection (D_{ms}) はオ2図の如く $h: l = 4:3$ であるものが H_1 の強い所では 5:1 にもなり飽和の程度の可成り異なることが分る。この二本の線がどの N^{14} 核によるものであるかを知るために次の事を実験した。(1) NaN_3 の濃度を変えること → スペクトルに変化なし, (2) $NaOH$ 及び HCl を加えることにより pH を変えること → pH = 11 ~ 5 迄変化なし, (3) 他の溶媒を加えること → クリセリン等により (h) は巾が広くなるが位置は変わらない。



オ1図 Azide の NMRスペクトル

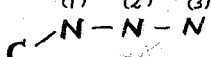


オ2図 H_1 とシグナル強度 (D_{ms})

NaN_3 飽和溶液（水 100cc. に対し NaN_3 40 gr）が $\text{pH} = 9$ であること、上記実験事実を総合して、我々の測定しているものは N_3^- であって HN_3 或は NaN_3 等の分子ではないことが推定され、(a) 線は $\text{N}-\text{N}-\text{N}$ の両端の N 核、(e) 線は中央の N 核によるものと結論される。

ii) $\text{C}_2\text{H}_5\text{N}_3$

3 本のスペクトルよりなり、その面積は等しく、線巾は高磁場側程広くなっている。 H_1 , D_{ms} の関係はオ 2 図の如くで強い H_1 では D_{ms} の大きさの比が逆転し、高磁場側程下が短い事を示す。分子構造は下図の如く考えられるが C 側より順次 (1), (2), (3) の番号をつけると (1) N_3^- のスペクトルとの比較 (1), (2), (3) (2) 後述の g の計算と下の値の両者よ



り 3 本線の帰属はオ 1 図に記載した如くに考えられる。

iii) Tl に対する考察

Azide の電子構造に対して Pauling の構造⁽¹⁾を採用し三つの N 核に対して unbalanced p-electron の数 U_p を計算すると下表の如くなる。下は核四重極結合によるものであり、 $Y_T \propto g^2 \propto U_p^2$ であり、上記の assignment と定性的に完全に一致する。

構造	(1)	(2)	(3)
A	-2/3	0	0
C	-1/6	0	0-1/2
A:C = 1:1	-5/12	0	-1/4

iv) 化学シフトに対する考察

上記電子構造をもとに paramag. shift を計算すると結果は完全に実験と逆になる。このような結果は既に Cl 化合物 (TiCl_4 , VOCl_3 , CaO_2Cl_2 , SiCl_4) に於て見出されていた⁽²⁾ 事で Azide がもう一つの例を提供したことになる。化学シフトの機構に就て再考したい。

4. 結語

困難な試料の製作として戴いた化学教室衣笠教授並に中村美智子氏に深謝し、また磁石の製作に手られた日立製作所の技術関係者に御礼申し上げます。

文献

- (1) Pople, Schneider, and Bernstein: High Resolution Nuclear Magnetic Resonance, p. 313.
- (2) Pauling: The Nature of the Chemical Bond, p. 271.
- (3) Masuda: NMR in Molecular Chlorine Compounds; J. Phys. Soc. Japan, 11, 670 (1956).

(神田氏原稿より転写。但し用語を少し変更。清水博)

2-6 種々の官能基によるプロトンの化学シフトの図表化

日本電子(株) 大西粧子
東京工業試験所 須田健吉 鈴木昭夫

NMRによって未知物質の構造決定または定性定量分析を行う際には、第一段階としてプロトンの化学シフトが、そのプロトンの属している官能基、あるいはそのプロトンに隣接する官能基によって定った範囲にあらわれることを利用してスペクトルの解析を行っている。

機器分析の中でもたとえば赤外線吸収スペクトルでは Colthup の表により官能基の定性分析が行われていることは周知の事である。NMRスペクトルにおいても、Gutowsky¹⁾, Bothner-By²⁾, Chamberlain³⁾ らによってプロトンの化学シフトと関連する官能基との関係をあらわす表が種々作製されている。しかしながらこれらは年代が古いために測定精度がわるいこと、試料の種類が少ないとこと、官能基の種類が少ないとこと、測定条件に問題があることなどの理由により、現在では必ずしも十分有効に用い得るとは云い難い。また Buckingham による化学シフトの値を予測する方法は、根本の仮定、計算精度の点でも問題があり、その上計算するのが厄介なので、この方法でスペクトルの分析を迅速に行うこととは実用的見地からあまり適当でないと考えられる。Shoolery は各官能基の遮蔽定数よりプロトンの化学シフトを推定する方法を提唱した。この方法では、たとえば $X-\text{CH}_2-Y$ 型のメチレンのシフトを計算する際に $X Y$ をきめればシフトは一義的にきまってしまうが、実際には $X-\text{CH}_2-Y$ 型分子の多くの homologue のメチレンのシフトはある範囲を持つのが普通であるから、Shoolery の方法を未知物質のプロトンタイプの推定に用いる場合確定的な結論を得られないことがある。

われわれは以上のような、多くの研究者によって試みられたプロトンの化学シフトの整理方法を仔細に検討した結果、次の様な方針に従って整理を行うことが NMR による分析としては一番よい方法であると考えた。

1) 整理した結果は図表で示すのが最も実用的である。図表の形式は Colthup が赤外線吸収スペクトルの官能基について作製したものが見易いので、その方法を踏襲する。

2) 測定条件を一定にすること。これについては Tiers の提唱する方法が最もよいと考える。また四塩化炭素に難溶の物質については、クロロホルムなど他の溶媒を使用せざるを得ないが、この際は供試試料の構造と、溶媒の種類によっていかなる溶媒効果があるかを知ることのできる簡単な図示方法を考案する。

3) できるだけ多くの homologue について化学シフトの測定を行い、実際の測定結果のみから図表を作製する。ただし、Tiers によってすでに測られている物質については測定を行わず、Tiers の測定値をそのまま採用する。

シフトの図表化は次の様な段階で行う。a) プロトンを含む、あるいはプロトンに隣接する多くの官能基のうちきわめて特徴のあるものを選びだし、これらについて測定した

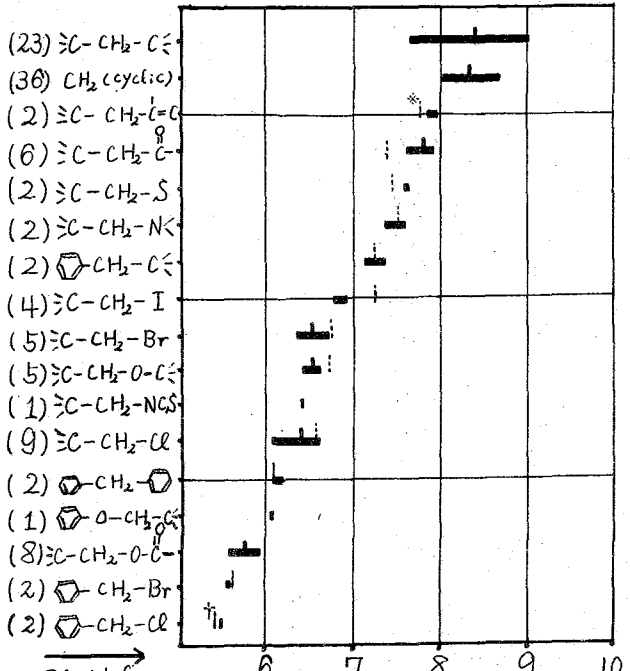
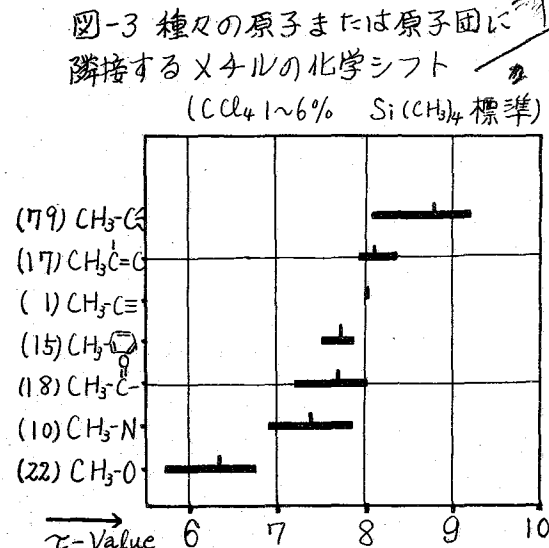
homologueすべての化学シフトを図表化する。たとえばメチレン基のシフトについて云えば、この分類においては $\text{CH}_2 < \text{C}^{\equiv}$, $\text{CH}_2 < \text{C}^{\leq}$, $\text{CH}_2 < \text{X}$ の三つに分け、すべてのメチレン基をこの三つの型のどれかに入れてしまう。ただし、 C^{\equiv} はこの炭素が二重結合、および三重結合をもつていなければならぬ原子または原子団をあらわす。この方法に従つて分類した結果を図-1に示す。b) 上記a)の分類をさらに細分し、プロトンタイプによる化学シフトがある範囲に含まれるものはすべて区別して図表化する。たとえば、再びメチレンについて云えば、 $\text{X}-\text{CH}_2-\text{Y}$ の X , Y の組合せによってメチレンのプロトンシフトの位置がある範囲に限られるものがあれば、その X, Y の組合せは有効なものとして図表にあわせる。例として $\text{C}-\text{CH}_2-\text{O}-\text{C}^{\equiv}$ のプロトンシフトは多くの homologueにおいてきわめて近い値を示すから図表に採用する。

また

$\text{C}-\text{CH}_2-\text{O}-\text{C}^{\equiv}$ のプロトンシフトは $\text{C}-\text{CH}_2-\text{O}-\text{C}^{\equiv}$ とは明らかに異った範囲のシフトを示すから、別のプロトンタイプとして図表に採用する。この様にしてプロトンタイプを細分していくと、メチレン基では約60種以上のプロトンタイプが存在する。図-2に現在までに整理を終えたものを示す。図-3は同様な分類をメチル基プロトンについて行ったものである。メチル基はプロトンタイプの種類が非常に多いためにまだ着手していない。

以上がわれわれの行いつゝある化学シフトの分類整理についての概要であるが、この計画を行うには非常に多数の物質についての精確な測定を必要とするため、完全にできあがるまでは尚若干の日時を要すると思われる。

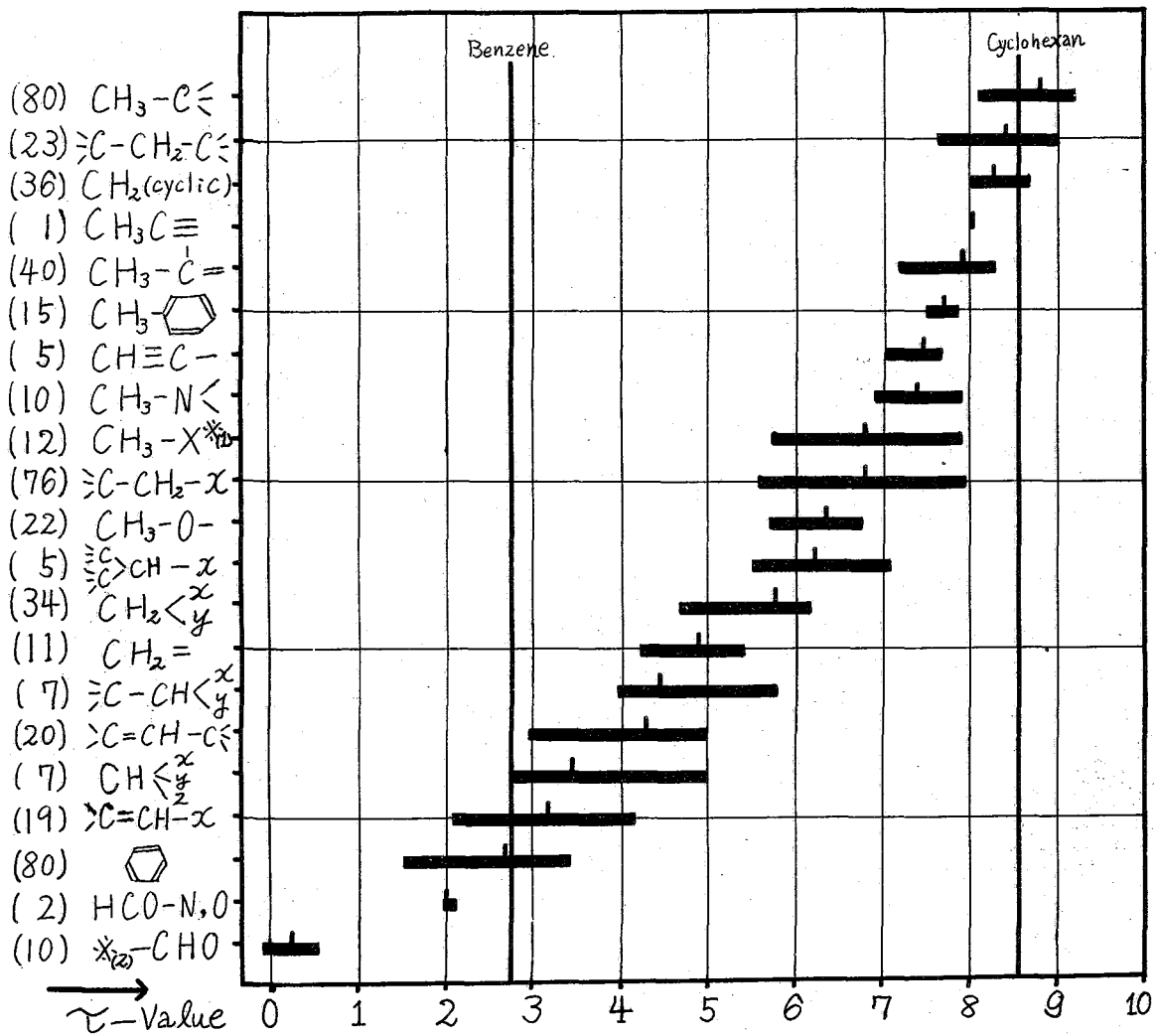
図-2 種々の原子又は原子団に隣接するメチレンの化学シフト (CD_4 1~6% $\text{Si}(\text{CH}_3)_4$ 標準)



※ Shoolery の遮蔽定数より $\text{CH}_3\text{CH}_2\text{CH}_3$ の置換体として計算した値。

+ 企上の CH_4 の置換体として計算した値。

図-1 プロトンタイプによる化学シフト
(CCl_4 1~6% $\text{Si}(\text{CH}_3)_4$ 標準)



注

*₍₁₎：ハロゲン、 SO_4 SO_3 SO NO_2 等の特殊官能基。 *₍₂₎：(芳香族、脂肪族)アルデヒド一般を含む。 $\text{C}\equiv$ ：単結合であることを示す。 x, y, z ： $\text{C}\equiv$ でないあらゆる原子または原子団。 ———：——— はその homologue の化学シフトの範囲、中央の垂直線は平均値を示す。 $>\text{C}=\text{CH}-\text{C}\equiv$ は cyclo-ene を含む。 $\text{≡C}-\text{CH}_2-\text{X}$ には Hetero-cyclic の α -メチレンも含む。 () 内の数字はその homologue の測定件数。

文献

- 1) Meyer L.H, A. Saika, and H.S. Gutowsky : J. Am. Chem. Soc. 75 4567 (1953)
- 2) B.L. Bothner-By, Naar-Colin, B.L. Shapiro, "NMR Spectra and Structure Correlations Vol II" (1958)
- 3) N.F. Chamberlain : Anal. Chem. 31 56 (1959) 4) J.N. Shoolery : Technical Information. Vol.2 No.3 (1959)

2-7 天然有機化合物に含まれる α , β 不飽和 $C=O$ system の検証

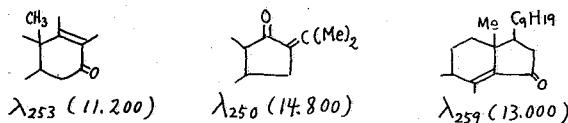
大阪大學藥學部 佐々木喜男○

α , β 不飽和 $C=O$ system は天然有機化合物あるいはそれらの誘導体に多く含まれることが多く、従来この system の検証には I.R., U.V. のデータが利用され、とくに U.V. のほうがこれらの化学構造上の特殊性に対する「敏感」であるため有機化学的な応用範囲が広い。しかししながら U.V., I.R. のデータからこれらの system の α 位あるいは β 位にエチレン型プロトンが存在するか否か、あるいは α' 位の置換の状態がどのようにあるかについて積極的証明を下すことはできない。

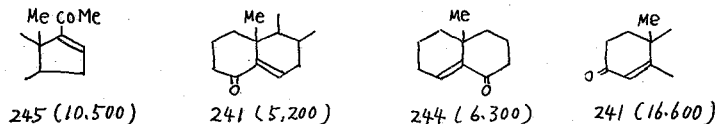
以下に α , β 不飽和 $C=O$ をもつてこれらに周連した system の化学構造と U.V. のデータを示す

monoenone 系列。

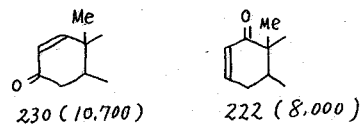
γ° ロトン数 0



γ° ロトン数 1

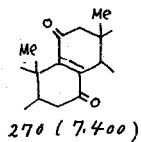


γ° ロトン数 2

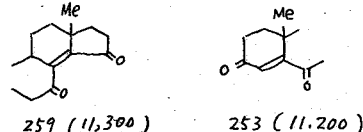


dienone, trienone およびその他の系列。

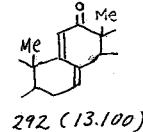
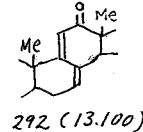
γ° ロトン数 0



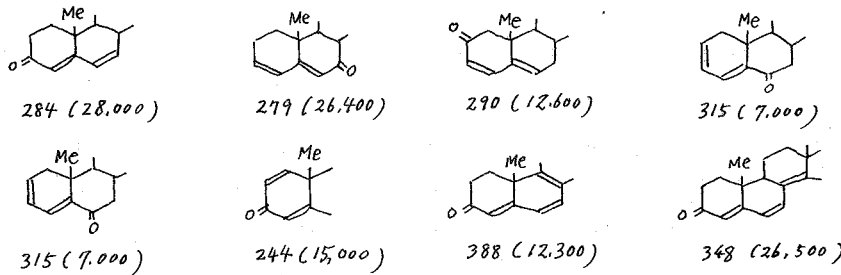
γ° ロトン数 1



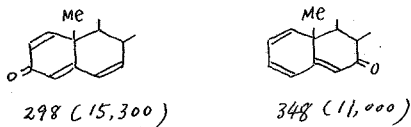
γ° ロトン数 2



α -プロトン数 3



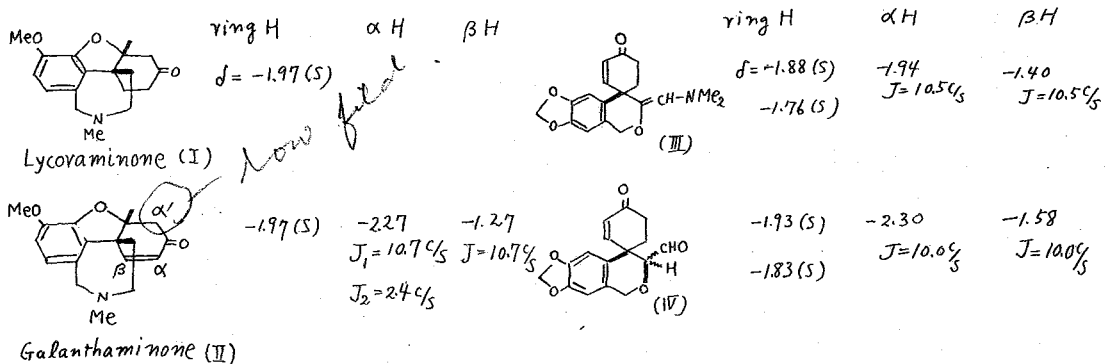
α -イソプロトン数 5



演者は今回その分子構造の一部に monoene 系をもつものについて述べることにする。
一般に α, β 不飽和 $C=O$ のみなら、 δ は β -プロトンに由来するシグナルは二重結合を置換した dihydro 体のスペクトルと比較対照して認定する。 $\alpha < \beta$ は分子内に置換ベンゼン核よりは他の型式の不饱和結合に因連したプロトンが存在するときはこれらに起因するシグナルとまぎらわしいことがある。たとえば (I) と (II), (IV) と (VI) を比較する。

さて α, β 不飽和 $C=O$ の α 位と β 位とともにプロトンが存在するときは、両者に由来するシグナルは trans, あるいは cis エチレン型プロトンの J をもつた AB 型の分裂を行い、inner pair が outer pair よりも intensity の大きさを対稱型 quartet となり、 $\delta = C=O$ の anisotropy 効果と inductive effect による、 α プロトンシグナルは β プロトンのそれより低磁場にあらわれることが推定される。演者はよって得られたデータ以上を予想を満足するもとで表す。

Table I.



concentration: 1.0 mol in $CHCl_3$. H_2O ext. ref.

Table II.

	ring H	αH	βH		ring	αH	βH
(V)		$\delta = -1.86(s)$				$-1.87(s)$	
		$-2.02(s)$				$-1.78(s)$	
(VI)	$-1.86(s)$	-2.23	-1.28	$J=9.9\text{c/s}$		$-1.98(s)$	-2.46
	$-1.77(s)$	$-$	$J=9.9\text{c/s}$			$-1.87(s)$	$J=12.4\text{c/s}$
(VII)							
(VIII)							

concentration 1.0 mol in CHCl_3 . H_2O ext. ref.

Table III.

	$\alpha H, \beta H$		H_1, H_2
(IX)	$\delta = +0.31(s)$	-0.28	
	$+0.66(s)$	$+1.14$	$\} J=9.7\text{c/s}$
(X)	-0.29	$+1.19$	$\} J=9.9\text{c/s}$
			$+0.07$
			$+0.65$
(XI)	-0.29	$+1.20$	$\} J=9.7\text{c/s}$
			$+0.06$
			$+0.67$

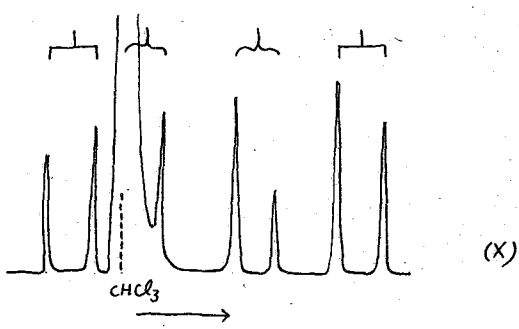
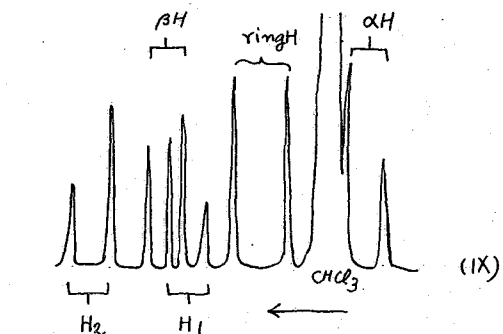
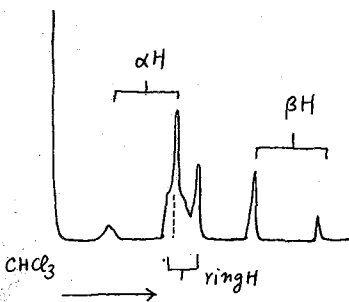
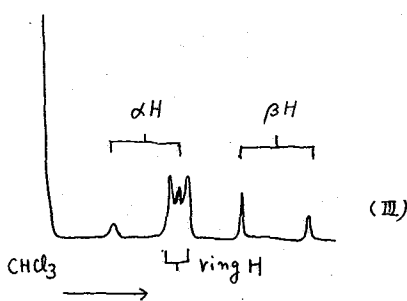
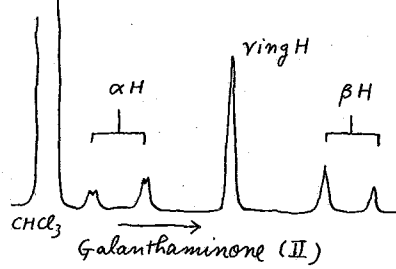
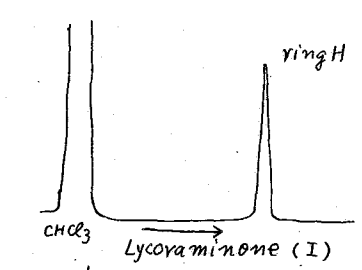
concentration 0.5 mol in CHCl_3 . CHCl_3 int. ref.

Table I. は α' 位が $-\text{CH}_2-$ の例であります。この中でも α 位プロトンが α' 位のシグナルを打ち消す。 < 1. Galanthaminone (II) では $J_2 = 2.4\text{c/s}$ 微細構造がありますが、これは α' 位の $-\text{CH}_2-$ プロトンとの相互作用によるものと考えられるが、その詳細については後日ご説明します。

Table II は α' 位が $-\text{CH}_2-$ の例で、これでも α 位プロトンのシグナルは α' 位プロトンと相互作用をもつらしくするといふ line shape を示すようになります。

Table III は α' 位 = CH_2 の存在しないもので、 α 位までが β 位プロトンのシグナルは典型的な A₂X₂ 型となり、微細構造は現れません。

以上の結果から α, β 不飽和 $\text{C}=\text{O}$ system と α 位プロトンは α' 位のプロトンと相互作用をもちかつてのたゞ α 位プロトンのシグナルに微細構造があるのはこのことがわかった。



2-8 ラクトン類のNMR

東京大学農学部農芸化学科 森 謙治, 東京大学理学部化学科 清水 博

目的 我々は植物生長促進物質ジベレリンの化学的研究の一環として、そのA環に類似した構造を有するシクロヘキサン系ラクトン類を多数合成し、それらの赤外吸収スペクトルについて既に報告した〔森、松井、佐木、農化欧文誌 24, 631 (1960); 25, 205 (1961) 参照〕。所て合成によって得られた構造既知のシクロヘキサン系ラクトン類のNMRスペクトルは、未だ研究されていない。我々は次の諸点に留意して、下に一括して示したラクトン類のNMRスペクトルをしらべた。(i) ラクトン環の bond anisotropy の影響。(ii) シクロヘキサン環上の置換基の位置、立体配置のちがいによって生ずる共鳴の変化。(iii) S-ラクトン類に関しては、ボート型のシクロヘキサン環のNMR。(iv) 合成されたラクトン類の立体化学の解明。これらの諸点の解明は、天然テルペノイド(例えばジベレリン、ロゼノラクトン、コラムビンなど)の分子内に存在するシクロヘキサン系ラクトンのNMRを解析する上に、基礎となる資料を与えるものとして有意義であると考えられる。

第一表 試料の名前と構造式

A. *R*-Lactones.

Cyclohexanol-(3)-carboxylic acid lactone (I)

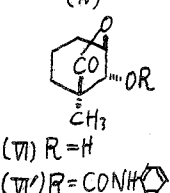
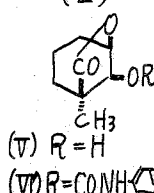
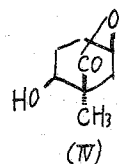
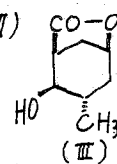
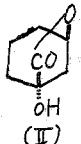
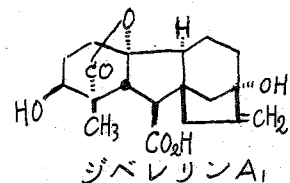
Cyclohexanediol-(1,3)-carboxylic acid lactone (II)

3-Methylcyclohexanediol-(2,5)-carboxylic acid lactone (III)

1-Methylcyclohexanediol-(2,5)-carboxylic acid lactone (IV)

1-Methylcyclohexane-*cis*-diol-(2,3)-carboxylic acid lactone (V)
its phenylurethan (V')

1-Methylcyclohexane-*trans*-diol-(2,3)-carboxylic acid lactone (VI)
its phenylurethan (VI')



B. *S*-Lactones.

Cyclohexanol-(4)-carboxylic acid lactone (VII)

Cyclohexanediol-(1,4)-carboxylic acid lactone (VIII)

its tosylate (VIII')

1-Methylcyclohexanol-(4)-carboxylic acid lactone (IX)

3-Methylcyclohexanol-(4)-carboxylic acid lactone (X)



(VIII) R=H

(VIII') R=SO2-C6H4-CH3

第二表 吸收線のτ値とその帰属*

試料	CH_3	CH_2	$\text{HC}\cdot\text{CO}\cdot\text{O}$	OH	$\text{CO}\cdot\text{O}\cdot\text{CH}$	ROCH
I	—	8.49	7.63	—	5.24	—
II	—	8.26	—	6.87	5.23	—
III	8.94 8.85>	broad	7.19	6.98	5.22	6.48
IV	8.82	broad	—	7.32	5.49	6.54
V	8.95	8.54	—	6.27	6.02	5.49
VI	8.92	8.36	—	6.74	5.44	5.97
V'	8.85	8.34	—	—	5.27	5.21
VII	8.82	8.35	—	—	5.14	5.14
VIII	—	8.31	7.58	—	5.54	—
VIII'	—	8.10	—	6.87	4.68	—
VIII''	—	8.03	—	—	5.10	—
IX	8.91	8.51	—	—	5.37	—
X	9.27 9.18>	8.41	7.70	—	5.84	—

*スペクトルをとる回数が少く、また試料濃度が厳密に一定ではないので、
±0.05 ppm 程度の誤差を含むものと考えられる。

実験結果 測定条件は次の如くである。原子力研究所 Varian V 4300C, 56.4 MC, 24°C. クロロホルム溶液中の試料濃度 5~10%。τ 値の算出には side band 法を用い、クロロホルムのプロトンの吸収線の τ 値を 2.75 と仮定して行った。クロロホルムと四塩化炭素の溶媒効果はほぼ同様であり、また試料濃度が 5% 内外であるならば、クロロホルムの吸収線の τ 値を 2.75 としてもよいか、この算出値は近似的な τ 値を与えるものと思われる。第二表に吸収線の帰属及び τ 値を示すとともに、第一図に代表的な試料のスペクトルを図示した。

論議 測定結果より次の諸事実が判明する。

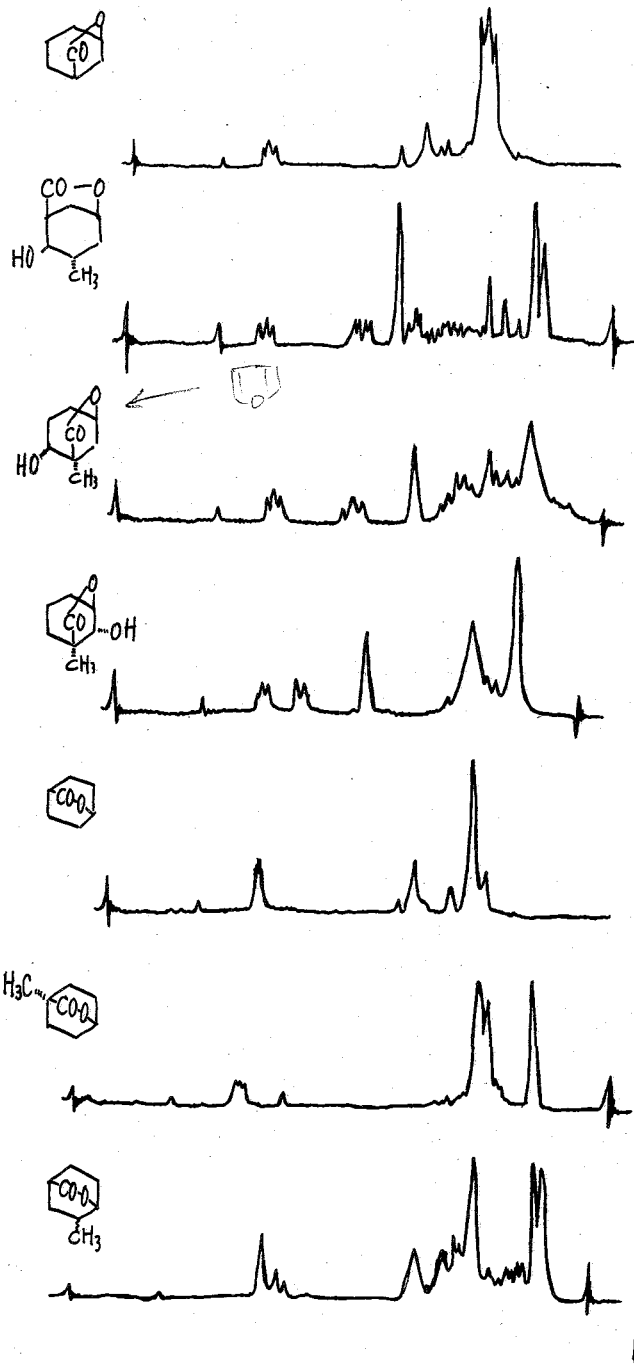
A. δ -Lactones.

- (i) CH_3 : τ 値 8.82~8.95 ラクトンカルボニールの影響は小である。
水酸基の立体配置のみを異にする V と VI (及び V' と VII') とでは、水酸基が equatorial である V (V') の方が higher field に於て共鳴する。
- (ii) CH_2 : 幅広く、はつきり解析するのがむつかしい。
- (iii) $\text{HC}\cdot\text{CO}\cdot\text{O}$: 隣接して水酸基の存在する III の方が I よりも lower field に出る。
- (iv) OH : τ 値 6.27~7.32 V と VII とくらべると水酸基が axial である VII の方が higher field に出る。

B. δ -Lactones.

- (i) CH_3 : ラクトンカルボニールの α 位にメチルを有する IX では τ 値 8.91、 β 位にある X では 9.23 (平均)。(α 位のメチルは、カルボニールと同一平面上にある)

第一図 代表的試料のNMRスペクトル

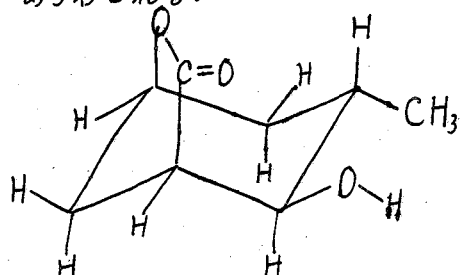


(ii) CH_2 : 水酸基があると約 -0.2 ppm , トシリオキシ基があると約 -0.3 ppm , メチル基があると $+0.1 \sim 0.2 \text{ ppm}$ それぞれ shift する。

(iii) HC-COO : メチレンの場合と同様メチル基があると $+0.2 \text{ ppm}$ shift する。

以上の諸事実は bond anisotropy の考え方によつて定性的に説明できる。たとえば、水酸基の立体配置を異にする V と VI のメチル基アロトンの共鳴を考える。仮に C-OH の自由回転が若干束縛されるとし、もつとも反発の少い所に -OH を置くと V の方が higher field に於て共鳴するこことがわかる。

なお、吸収線の分裂のありさまからおのおののラクtonの立体化学を論じたが、たとえば、III は次のようにあらわされる。

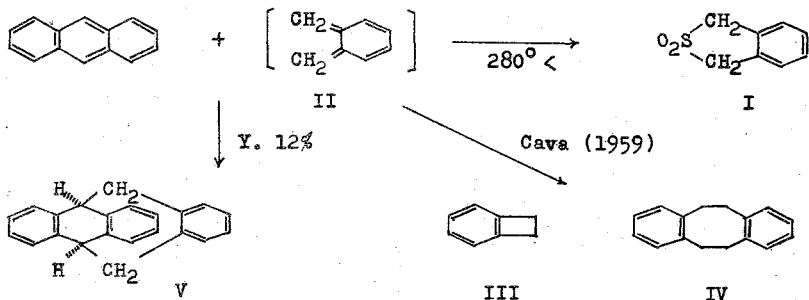


H

2-9 9,10-ジヒドロ-9,10-エンド-オルト-キシリレンアンスラセンの立体化学

京大工 宮戸圭一, 野依良治, ○野崎 一

キシリレン化学の研究の一環として、陽題新化合物 (V) を合成した。¹²



1,3-ジヒドロイソチアナフテン-2,2-ジオキシド (I) を熱分解すると、不安定な中間体、オルトキメチル (II) をとがって、ベンゾシクロブテン (III) と [2.2] オルトシクロフuran (IV) とに変化する。¹³ II は擬ビラジカルである。アンスラセンとメタ位で遊離基と反応しやすいためよく知られている。¹⁴ I の熱分解をアンスラセンの共存下で行なとく、予想通り新炭化水素 (V) が得られた。

V の元素分析、赤外、紫外吸収スペクトルはいずれもこの構造を支持する。さらにその PMR スペクトルは第 1 図のようである。

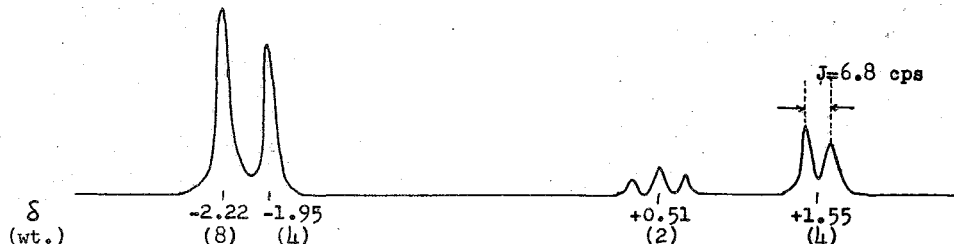
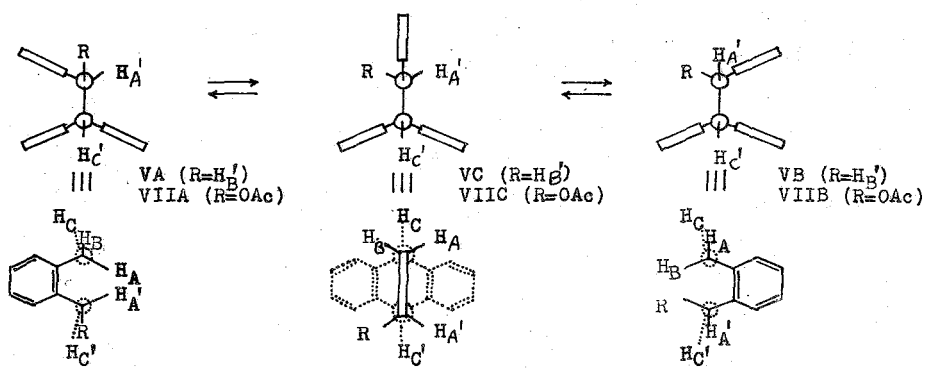


Fig. 1. 9,10-Dihydro-9,10-endo-o-xylyleneanthracene (V) (in CCl_4 , H_2O ext. ref., 40Mc.)

δ -2.22, -1.95 の吸收は化学シフト、面積強度 (wt.) のうえ、いずれも芳香環プロトンの吸收と考えられる。前者はおそらくもとのアンスラセンの環に、後者はキシリレンの環に帰属できるであろう。キシリレンのベンゼン環プロトンは電子的遮蔽をより強く受けていることになる。

δ +0.51 の三重線と +1.55 の二重線とはそれでメチニ基、メチレン基のプロトンに帰属される。ほかに吸収はないので、V 式の構造は確定となった。

メチニ、メチレンプロトンのカップリングをみると、メチレンプロトンは 2 つとも等価であることがわかる。いま炭化水素 (V) の立体配座は VA, VB, VC の 3 通りある。ジヒドロアンスラセン環を下にして机上におき分子の対称面に正対する。



上の図は正面図で、分子の手前側半分だけを示し、長四角でベンゼン環をあらわしてある。下の図は立面図で VC に示した点線のジヒドロアンスラセン骨核は、VA,VB でも変りがないので省いてある。

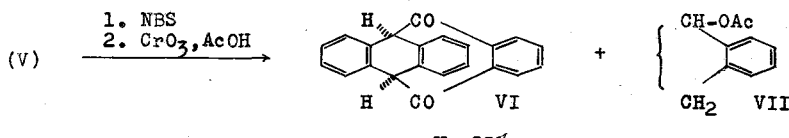
分子模型を組むと VA,VB に相当する形である。この配座では Baeyer 正はほとんどない。しかし VA では H_A, H_A' , VB では H_B, H_B' のプロトン同士が π バンドに接近していて、非結合エネルギーが期待される。また VA では H_B と H_C , VB では H_A と H_C が π バンドに eclipse の位置を占める。VA,VB では Baeyer 正はないが, Pitzer 正がいることにちがいなくて、かくにこの形の配座を "Pitzer" 配座と呼ぼう。

左右対称の VC 配座では H_C と H_A, H_B が gauche の位置にある。 H_A, H_A' または H_B, H_B' 同士の反発はない。しかし、この配座では分子中央の環に関係する炭素原子の結合角がひらく開いてくる。つまり Pitzer 正はないが、負の Baeyer 正がいるので、VC の配座をかくに "Baeyer" 配座と呼ぼう。

もしも分子が VA または VB の Pitzer 配座のいずれか一方に固定されてしまうならば、 H_A, H_B 2つのメチレンプロトンは等価となり得ないだろう。たとえば VA の H_A, H_A' はジヒドロアンスラセンの右側ベンゼン環の磁気的異方性の影響を H_B, H_B' より強く受けずにちがいない。これは第1図の PMR の所見と相反する。PMR 的に H_A, H_B が等価であるといふことは、配座が Baeyer 型 (VC) に固定されているか、それとも 2つの Pitzer 型 (VA, VB) の間を連やかに往復しているか、どちらかであることを意味する。

つまりメチレン、メチンプロトンのカップリング定数 (J) は第1図より約 6.8 cps となる。もし配座が Baeyer 型 (VC) に固定されてしまうならば、 H_C とメチレンプロトンとの間の dihedral angle は大体 60° であるから、 J は 2 cps 近辺の値をとるだろう。観測値 6.8 cps はむしろ自由回転して \sim エタノ結合の隣接プロトン間の J には等しい。したがって、9,10-ジヒドロ-9,10-エンド-オルトキシリレンアンスラセン (V) は PMR の測定條件、つまり四塩化炭素溶液中、室温では 2つの Pitzer 配座 VA と VB の間を連やかに往復してゐると考えてよいだろう。

炭化水素 (V) を N-ブロムコハク酸ナトリウムモルで処理した後、十分な量のフロム酸で酸化したところジケトン体 (VI) が得られた。



二の新化合物の融点は $213-214^\circ$ で、元素分析は計算値に一致する。分光学的性質を類似構造のジケトン体 (VIII-X) と比較すると次表の通りである。

	VIA	VIB	VIII ⁸	IX ⁹	X ¹⁰
$\nu_{\text{C=O}} \text{ cm}^{-1}$					
(CHCl ₃)	1669		1689	---	---
(nujol)	1688 / 1676		---	1673	---
UV max. mμ.	237 (4.31) sh.	250 (4.24)	225 (4.47)	226 (4.53)	
(ethanol)	302 (4.07) sh.	295 (4.03)	251 (3.94)		
(log ε)	345 (3.90) sh.	295 (3.27)	299 (3.14)		

いす Pitzer 配座 (VIA) では接觸のために共役せたからされず。他方 Baeyer 配座 (VIB) では同一平面性の獲得により、両カルボニル基はベンゼン環と共役する。VIII ではいぶんか共鳴妨害の作用するといわれているが IX, X の化合物では、共役が成立するとみてよいだろう。表の数値を比較すれば、極性溶媒中では VI が VIB の配座をとることが確実である。一方結晶状態では VIA 配座の優先が想像される。

酸化の副生成物 (VII) の融点 $171.5-172^\circ$ で元素分析もある。その構造は別途合成によって確かめられた。PMR スペクトルと帰属とを第2図に示す。

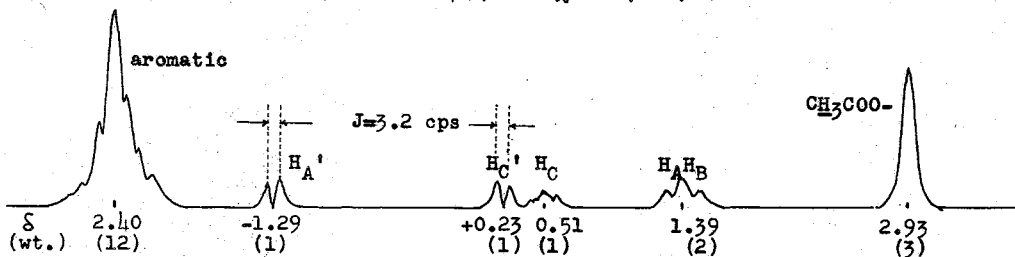


Fig. 2. 9,10-Dihydro-9,10-endo-(α -acetoxy- β -oxyethylene)-anthracene (VII)
(in CCl_4 , H_2O ext. ref., 56.4 Mc.)

第1図のスペクトルと比較すればアセトキシ基酸素の -I 効果が明瞭に認められる。ただアセトキシ基にもっとも近い H_C の吸収は V の場合と同じ位置に出ている。 H_A' , H_C' のカップリング定数 (J) は 3.2 cps である。 α 系でも dihedral angle (ϕ) と J との間に Shoolery の著書¹¹にまとめられた関係が成立すると仮定しよう。 J 3.2 cps の ϕ を求めると、約 50° または 110° となる。

モノアセトキシ体 (VII) の立体配座は前掲¹²とおり VIIA, VIIB, VIIC の了通りに書ける。VIIA では H_A , H_A' 間に、VIIIB ではアセトキシ基と H_B との間に相互作用が働くとしている。

アセトキニシフロヘキサンのアセトキニ基は axial または equatorial 位をとるやうい。 β よってアセトキニ水素の反撲の方向水素-水素の反撲よりも大であるといえ。つまゝ Pitzer 配座のうちでは VIIIB よりも VIIA の安定でなければならない。VIIA ならば H_A' , H_C' の dihedral angle (ϕ) は 120° であつて、これは $J = 3.2$ cps から推定した 160° といふ値に近い。他方 VIIIB では $\phi = 0^\circ$ で、 J は 14 ± 8 cps となり、観測値にあわない。VIIC の Baeyer 配座で H_A' , H_C' の間の角は約 60° で、 $J = 3.2$ に近い値を示すこと考えられる。しかしへンケトニ体(VI)が Baeyer 配座をとる原因はいくつあげられるが、アセトキニ体(VII)ではそのどれもあてはまらない。一心 VII では VIIA の安定配座で、アセトキニ基は exo に固定された Pitzer 配座をとるものと考へて、今後の実験を進めたいたいと思う。 H_A , H_B , H_C の吸収は十分に分解されてからず、この方面からの議論は不可能である。

本研究の P.M.R. スペクトルは当時阪大産研に在られた佐藤至朗氏(現吳羽紡高規研)すらしく原子力研の早川直彦氏にとって頂いたものである。記して厚く感謝する。

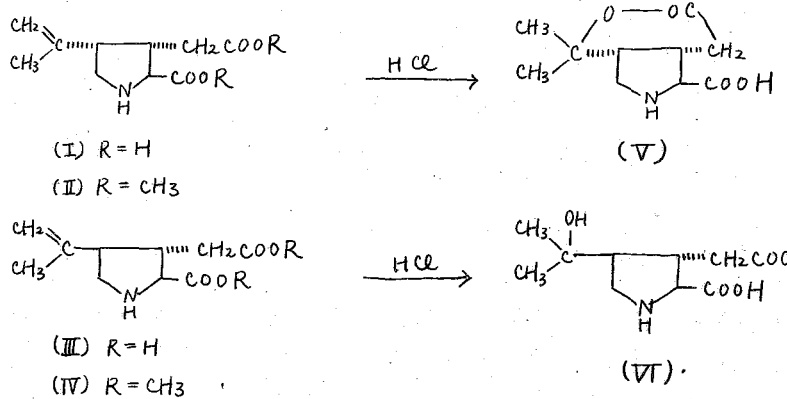
引用文献

- (1) (a) 実戸, 有勲, 野崎, 日化12年会講演要旨集, 昭34.4.7, 東京, p.38.
 (b) 実戸, 有勲, 野崎, テジカルを用ひる有機合成討論会要旨集, 昭35.9.16, 大阪, p.29.
 (c) 実戸, 有勲, 中村, 野崎, J. Org. Chem., 26, 1368 (1961).
- (2) 実戸, 有勲, 野崎, J. Org. Chem. 26, 584 (1961).
- (3) M. P. Cava, A. A. Deana, J. Am. Chem. Soc., 81, 4266 (1959).
- (4) 実戸, 有勲, 野崎, J. Am. Chem. Soc., 82, 434 (1960).
- (5) (a) W. G. Dauben, K. S. Pitzer (M. S. Newman ed.), "Steric Effects in Organic Chemistry," 丸善, 東京, 昭32, p.6 以下. (b) H. H. Lau, Angew. Chem., 73, 423 (1961).
- (6) (a) W. S. Lindsay, P. Stokes, L. G. Humber, V. Bockelheide, J. Am. Chem. Soc., 83, 943 (1961). (b) N. L. Allinger, N. A. DaRooge, R. B. Hermann, J. Am. Chem. Soc., 83, 1974 (1961).
- (7) J. N. Shoolery (The NMR-EPR Staff of Varian Associates ed.), "NMR and EPR Spectroscopy," Pergamon, Oxford, 1960, p.114 以下.
- (8) V. C. Farmer, N. F. Hayes, R. H. Thomson, J. Chem. Soc., 3600 (1956).
- (9) R. H. Thomson, J. Chem. Soc., 1737 (1950).
- (10) M. P. Cava, R. L. Shirley, J. Org. Chem., 26, 2212 (1961).
- (11) 『元素共役効果を減殺する因子について』の総説をみよ。馬場(島内, 益子, 甲西編), 化学の領域臨時増刊, 45, 赤外線吸収スペクトル第13集, 南江堂, 東京, 昭36, p.9 以下.
- (12) E. L. Eliel, J. Chem. Education, 37, 126 (1960) 参照.

2-10 Dimethyl α -kainate および α " Dimethyl α -allo kainate の NMR

(東北大藻学科) 近藤一惠, 近藤嘉和, 竹本常松
(東北大非水研) 池上恒男

α -Kainic acid および α " α -allo kainic acid はマクリ *Digenea simplex* の駆虫成分である。竹本ら⁽¹⁾は α -kainic acid (I) を塗酸で処理すると α -kainic lactone (IV) を生成するが、 α -allo kainic acid (III) はラクトン体を作らず、一種のオキシ酸 (VI) を生成することから α -kainic acid では isopropenyl 基と carboxymethyl 基は cis 配位をとり、 α -allo kainic acid は trans 配位であると推論した。



α -Kainic acid および α " α -allo kainic acid はともに有機溶媒に難溶のためにジアゾメタンで methyl 化し、夫々 dimethyl α -kainate (II) および dimethyl α -allo kainate (IV) とした。Dimethyl α -kainate では isopropenyl 基と carboxymethyl 基が cis 配位であるが、dimethyl α -allo kainate では trans 配位のために、maleic acid および fumaric acid の methine の分子間あるいは分子内結合の立体異性間の溶媒効果の差異⁽²⁾に類似したもののが観測された。この点を NMR で追求し、これと並行して carbomethoxyl および methyl 基および imino 基の溶媒効果についても検討した。

実験方法

Dimethyl α -kainate および dimethyl α -allo kainate は 10^{-4} mmHg で精留し、それとこれ無色油状の純品を得、これを実験に供した。装置は Varian V-4300 型 spectrometer で使用周波数は 40 Mc である。試料の作成は外径 4.8 ~ 5.2 mm の薄肉ガラス管用い、エーテル溶液を除く外は總て真空中 ($10^{-5.3} \sim 10^{-4.7}$ mmHg) で脱ガスを行った。Shift の測定は internal standard 法により、記録紙上の距離を benzene-cyclohexane 等溶媒のそれに比較し、benzene-cyclohexane の separation は 230 cps にて算出した。

実験結果

1) Isopropenyl 基の olefinic proton 157 117

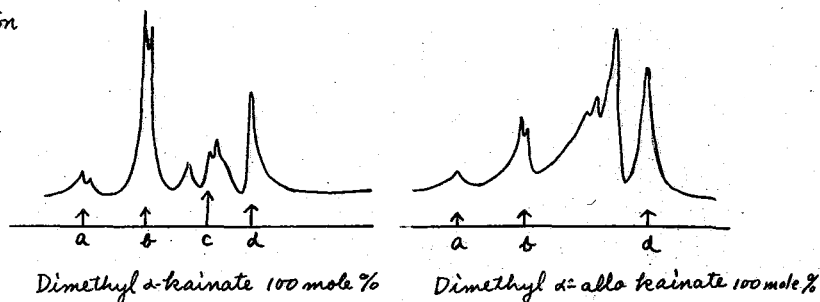
Isopropenyl 基の olefinic proton が singlet が出現する場合と doublet を示す場合との mecha-

Fig. 1

a: isopropenyl or olefinic proton

b: carbomethoxyl or CH₃

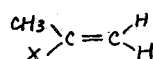
c: NH

d: isopropenyl or CH₃

nismについては今迄のところ詳しく述べないが、一般にXの位置は halogen, -CN, $-O\overset{\delta}{C}R$, phenyl, -COR (R=H, Me, Cl, NH₂, OMe) 等 double bond characterを持った極性基である場合 (Table 2) T¹ は isopropenyl 基 or olefinic proton の shielding は対等で TS < T_S > T shift の差を生じ、また各々の isopropenyl or olefinic proton は 1 cps 以下の微細な split を示す。Xの位置に alkyl 基の付いた場合の例は少くない、methyl 基の場合 isopropenyl 基は singlet であるのに反し、-CH₂-C(CH₃)₃ の場合は doublet であることが報告されている。本報の実験において立体構造の差異から異性体の一方では singlet を示し、他方では doublet を示す事実が観察されたが、立体異性体間の主な差異としては isopropenyl 基か d-kainic acid では比較的自由に回転できるのに対し、d-allo-kainic acid では isopropenyl 基の olefinic proton の一方あるいは methyl 基と、3位に付いた-CH₂COOCH₃ との接触があるため回転の阻害が考えられる。

$H_3C=C(CH_3)-CH_2-C=(CH_3)_3$ の場合も同様立体障害があると考えられるので、これらの立体障害が olefinic proton の shift の差を作成する原因と考えられ是 singlet である場合 (Table I) は、これらも立体障害のない場合の半であるから矛盾なく説明される。以上の事から d-kainic acid の olefinic proton が doublet は chemical shift の差によるもので、各々の間の J は小さく観測され

Table I



X	Peak	Reference
CH ₃ -	singlet	(3) (4)
CH ₂ =CH-	"	(4)
citronellal	"	(4)
limonene	"	(4)
geraniol	broad	(4)

Table 2.

X	Peak	Reference
(CH ₃) ₃ C-CH ₂ -	doublet	(3)
Br-	"	(3)
CN-	"	(3) (4)
-COOMe	"	(3)
-CONH ₂	"	(3)
-COCl	"	(3)
-COMe	"	(3)
-CHO	"	(3)
-Ph	{ doublet quad	(3) (4)
-OAc	{ doublet singlet	(3) (4)

Table 3

X	Peak	Reference
Cl-CH ₂ -	ng	(4)
H-C≡C-	multiplet	(4)
n-C ₇ F ₁₅ -	broad	(4)

註 ng = nonequivalence quartet

得けるものと考えられる。また isopropenyl の methyl 基を立体異性体間で比較した場合、d-kainic acid の方が less shielding であるとも以上の推察を裏付けたものと考えられる。

2) Imino 基について

Dimethyl d-kainate の imino 基の位置は他の exchangeable proton を有するアミン類と同様塩基との溶液では exchange と low field shift と pattern の変化を示すと考えヒリシンを溶媒として測定を行つて決定した。濃度 20 mole % と 100 mole % との比較を行つた。

その結果、Fig. 1 の dimethyl d-kainate の spectra の $\tau = 3.1$ ある吸収 (Fig. 1 の C) がヒリシン溶液では (Fig. 2) exchange を起して 55.5 cps low field に shift している。これは imino 基と associated した。すなはち carbomethoxyl の methyl 基はエーテル溶液中でもベンゼン溶液中でも doublet で約 3 cps の separation を示す。これは各々の carbomethoxyl の methyl 基の性状が若干異なつてゐると考えられる。演者らは各々の平均値を用いて算出した。

Dimethyl d-allo kainate にも同様にベニゼン溶液中ではベンゼンの濃度増加につれて high field に変化する溶媒効果が認められた。(Fig. 4)

文献

- (1) 竹本、鄭、醍醐：葉誌 76, 298 (1956)
- (2) 岩泉、磯部、池上；構造化学討論会(1960)発表
- (3) L. M. Jackman; Application of Nuclear Magnetic Resonance Spectroscopy in Organic Chemistry p120 (1959)
- (4) G. Van Dyke Tiers: Characteristic Nuclear Magnetic Resonance (NMR) "Shielding Values" (Spectral Positions) For Hydrogen In Organic Structures (1958)
- (5) 中川：日化誌, 82, 141 (1961)

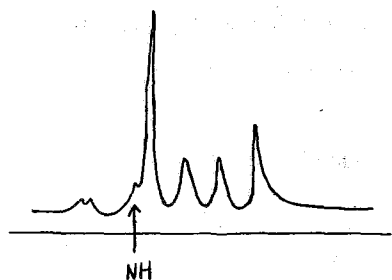


Fig. 2 20 mole % Dimethyl d-kainate
in pyridine

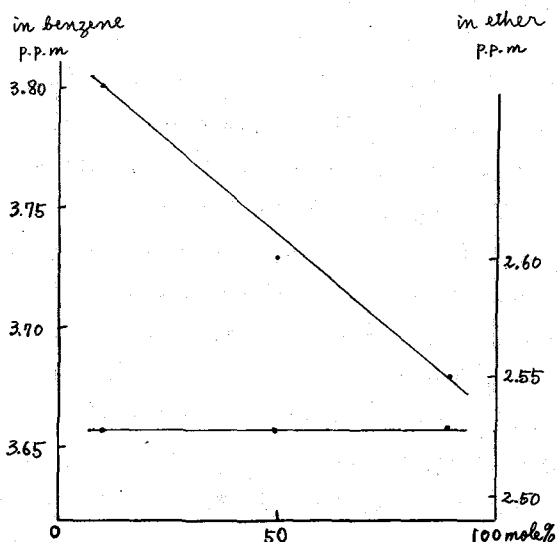


Fig. 3 Dimethyl d-kainate

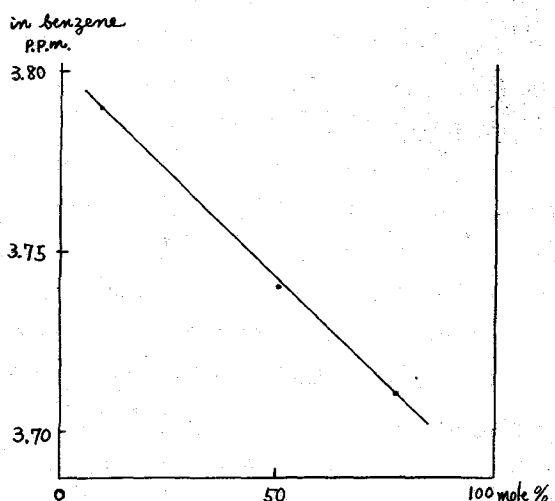


Fig. 4 Dimethyl d-allo kainate

2-11 高度不飽和脂肪酸メチルエステルのNMRスペクトル

工業技術院東京工業試験所

○橋本哲太郎, 順田健吉, 雅名久子, 土屋知太郎

二重結合4個以上を有する高度不飽和脂肪酸は、海産動物油を初め陸産動物、水産動物、海藻等の脂質中に広く存在する成分である。その化学構造については古くから研究されていて、従来の研究結果を總括すると、提唱されている構造式は二つのグループに分けられる。すなはち

(1) 二重結合系がジビニルメタン型 ($-CH=CH-CH_2-CH=CH-$) 配列のみをとつている構造式

(2) 二重結合の配列がジビニルエタン型 ($-CH=CH-CH_2-CH_2-CH=CH-$) あるいはこれにジビニルメタン型が混つている構造式

である。上記の構造式は油脂から各種分離濃縮法を用いて单一脂肪酸試料を分離し、これを酸化分解して得られる分解生成物を検索した結果から元の脂肪酸の二重結合配列を推定したものである。

高度不飽和脂肪酸メチルのNMRスペクトルは、 $-CH=CH-$, CH_3-O- , $-CH_2-C^{\prime\prime}O-$, $-CH_2-C=C-$, $C=C-CH_2-C-$, CH_3-C- の各シグナルおよび $=C-CH_2-C=$, $=C-CH_2-CH_2-C=$ のシグナルが予想される。そこで魚油脂肪酸メチルエステルから飽和酸メチルおよび低不飽和度の脂肪酸メチルを除いて高度不飽和酸メチルエステルを濃縮し、そのNMRスペクトルを測定し特に $-CH=CH-$ および $=C-CH_2-C=$ および $=C-CH_2-CH_2-C=$ のシグナルに注目すれば、单一脂肪酸にまで分離を行ってなくとも測定試料が2種類以上の高度不飽和酸を含むものであつたとしても、二重結合系配列の推定が可能であると考えて本研究を行つた。

実験に供した魚油はイカ油、サバ油、鰯油およびイワシ油の3種である。各原油のメチルエステルから高度不飽和酸メチルの濃縮は分離操作中における二重結合の移動が起り難くと考えらる尿素アダクト分別法を用いた。メタノールを溶剤とする尿素分別を18~20°Cおよび6~7°Cにおいてアダクトを生成しなくなるまで繰返して得た母液を、0°Cにおいて処理して生じたアダクトからメチルエステルを分離抽出した。イワシ油の場合はさらにアルミナを吸着剤とするカラムクロマトグラフィーによつて精製した。こうして得た各メチルエステルのヨウ素価はイカ油(1) 405.9, サバ油 372.5, イワシ油 390.5 であつて

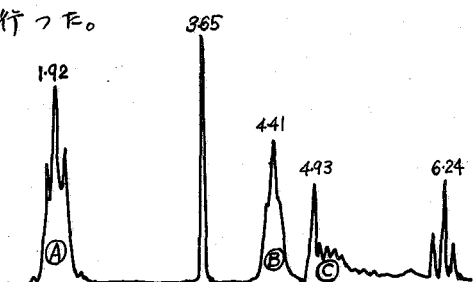


図1 イカ油高度不飽和酸メチル(1)

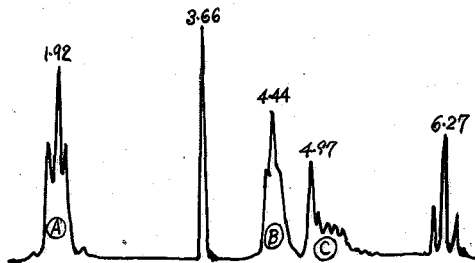


図2 イカ油高度不飽和酸メチル(2)

飽和酸および低不飽和酸のメチルエステルはほとんど含んでいないと考えられる。こゝに得た各試料のNMRスペクトルは図1, 2, 3, 4に示した。各シグナルに付した数字はベンゼンからのシフトをppmで表わしたものである。以下各図とも同様。

比較のために構造式の確立しているステアリン酸、オレイン酸、リノール酸およびリノレン酸の各メチルエステルのNMRスペクトルを測定した。その結果は図5, 6, 7, 8に示した。

図5～8から、図1～4の各高不飽和酸メチルのNMRスペクトルにおける各シグナルの帰属を推定すると、1.92 ppm付近のシグナルは $-CH=$ C=，3.66 ppmのシグナルは CH_3-O- C=，4.82～4.43 ppmのシグナルは $=C-CH_2-C=$ C=，4.9～5.4 ppmのシグナルは CH_2-C^{10} および $-CH_2-C=C-$ C=，5.96 ppm付近のシグナルは $-C-CH_2-C-$ C=，また高磁場のトリプレットは CH_3-C- C=と帰属される。

$=C-CH_2-C=$ のシグナルの存在から、各高不飽和酸メチルはジビニルメタン構造を有するることは明らかである。つぎにジビニルエタン構造の存在はつきの2点から検討した。

まず、ジビニルエタン構造を有する物質としてジアリル(1, 5ヘキサジエン, $CH_2=CH-CH_2-CH_2-CH=CH_2$)を選んでそのNMRスペクトルを測定した。その結果は図9に示したが、5.07～5.16 ppmのシグナルはメチレンに帰属されるべきものと考えられ（Tiers(1958)のデータとも良く一致してい）すむかしジビニルエタンのメチレンはジビニルメタンのメチレンよりも高磁場にシフトし、図1, 2, 3, 4において $-CH_2-C=$ および $-CH_2-C=C-C-$ のシグナル（④）に重

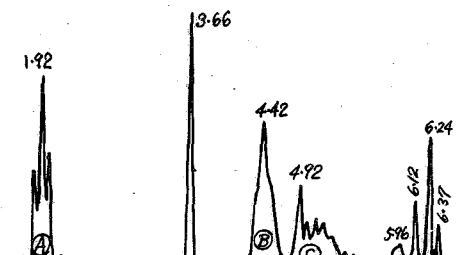


図3 サバ油高不飽和酸×4 IV

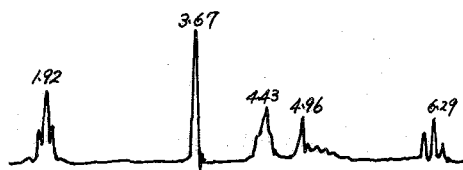


図4 イワシ油高不飽和酸×4 IV

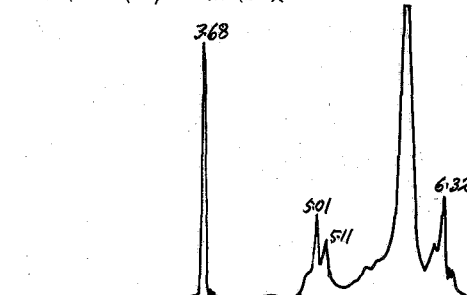


図5 ステアリン酸メチル($CH_3(CH_2)_{16}COOCH_3$)

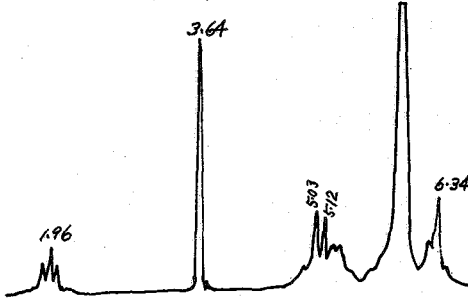


図6 オレイン酸メチル($CH_3(CH_2)_7CH=CH(CH_2)_7COOCH_3$)

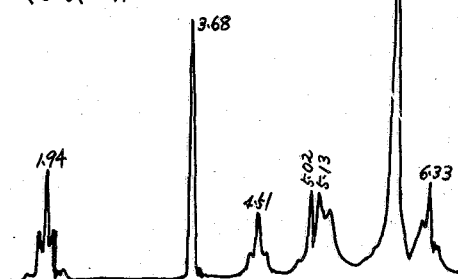


図7 リノール酸メチル($CH_3(CH_2)_4CH=CH-CH_2-CH_2-CH=CH(CH_2)_7COOCH_3$)

$\beta = \gamma$ になる。⑥シグナルと $-CH=$ のシグナル (⑦) の面積強度比と化学的特数からの数値を比較した結果を表 1 に示した。

表 1			
$CH_2-C=C, CH_2-C=C-$	イカ (1)	イカ (2)	サバ
NMR (⑥⑦)	0.50	0.56	0.66
Chem. Cal.	I	0.57	0.55
	II	0.94	0.92
			1.04

但し表 1において、NMR の数字は兩者のシグナルの面積強度比; Chem. Cal. は試料のヨウ素価およびケン化価から試料の平均二重結合数を求め、(I) は二重結合系が全部ジビニルメタン配列をとつたと仮定した場合、(II) はジビニルメタン配列の中に 1 個のジビニルエタンを混入構造を仮定し、ジビニルエタンのメチレンが⑥シグナルに重つた場合のプロトン数の比を求めるものである。

表 1 において Chem. Cal. (I) は NMR のシグナル強度比に至めて近いが、ジビニルエタンが 1 個存在すると仮定した (II) は大きくズレている。

つぎに $-H-C=C-C=CH_2$ のプロトン強度比を、NMR スペクトルにおける兩者のシグナル面積強度比と化学的特数からの数値を比較した結果は表 2 のとおりである。

但し表 2において、NMR は兩者のシグナルの面積強度比; Chem. Cal. (I) は二重結合系が全部ジビニルメタン配列をとると仮定した場合、(II) はジビニルメタン配列の中に 1 個のジビニルエタンを混入構造を仮定した場合における二重結合系のメチレンの数をグラフから求めて、メチレンと $=CH-$ のプロトン数の比を算出したものである。

表 2において、NMR のシグナル面積強度比は高濃度不飽和酸メチルの二重結合が全部ジビニルメタン配列をとつたとした場合の計算値 (I) に至めて近い。一方ジビニルエタン構造を 1 個含むと仮定した (II) の計算値は NMR の強度比から大きくズレている。

以上の結果から、本実験に供した高濃度不飽和酸メチルの二重結合系はジビニルメタン配列からのみならず、すなわち

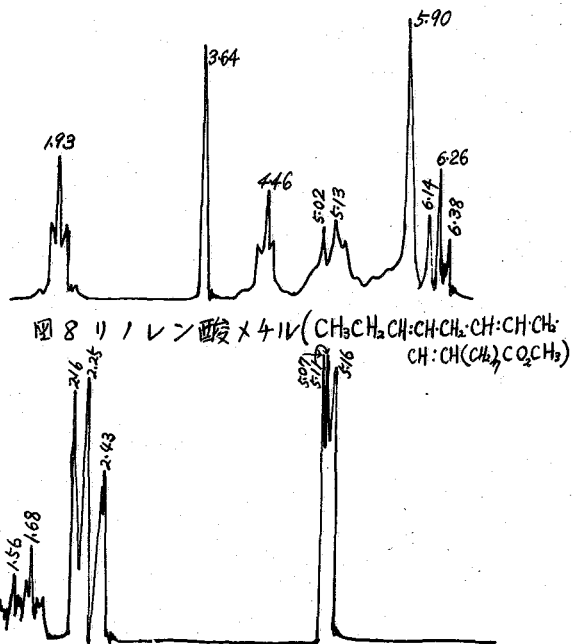
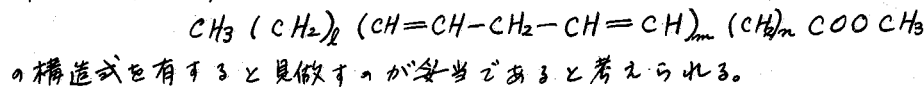


図 8 4-フェニル-1- pentene ($CH_3CH_2CH_2CH:CHCH_2CH:CHCH_2COOC_2H_5$)

図 9 1,5-ヘキサジエン

のメチレンが⑥シグナルに重つた場合のプロトン数の比を求めるものである。

表 2

$=C-CH_2-C=$	イカ (1)	イカ (2)	サバ
$=CH-$			
NMR	0.78	0.81	0.79
Chem. Cal.	I	0.81	0.82
	II	0.62	0.64
		0.60	

武田薬品研究所 朝日 豊

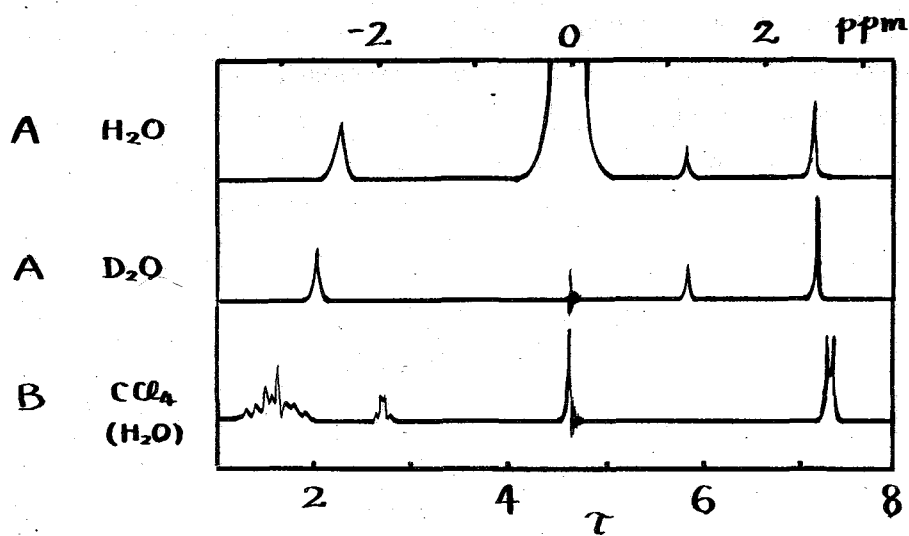
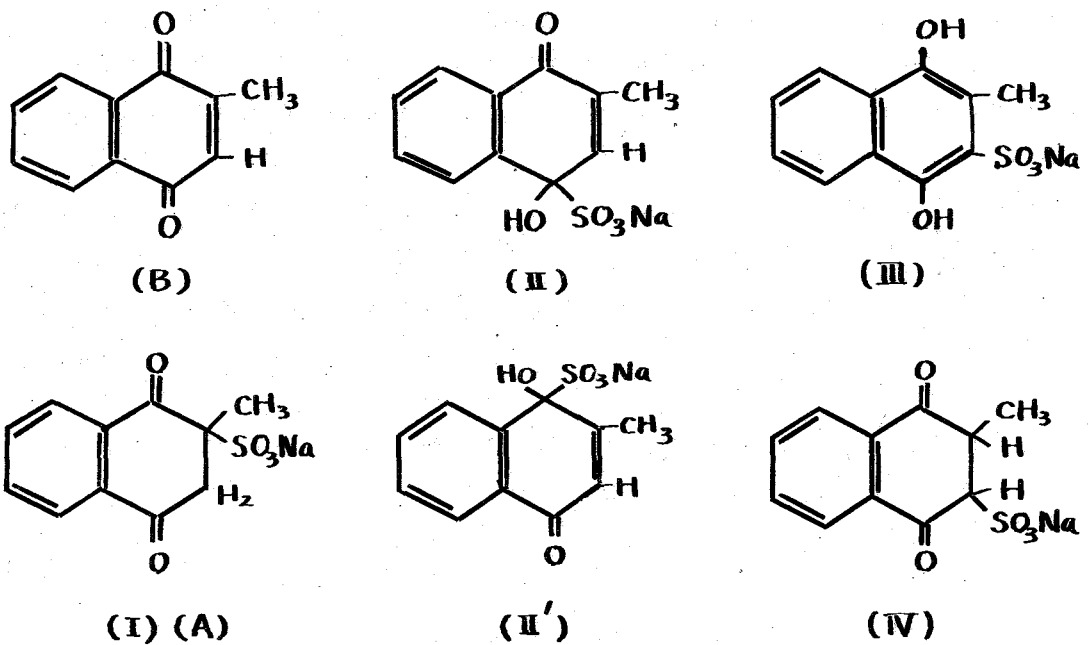
Moore¹⁾ はメナジオン(2-メチル-1,4-ナフトキノン)に亜硫酸水素ナトリウムを作用させてビタミンK作用をもつ水溶性物質をつくり、その構造を 2-methyl-1,4-naphthoquinone-3-sulfonate Ⅲ) と考えた。しかし、この構造がまちがっていることは、この付加体が容易に酸化されないことなどからまもなくわかつた。

同じころ、Bakerら²⁾ I. G の研究員³⁾ および阿部ら⁴⁾ も同様の物質を合成し、ケトンの NaHSO₃ 付加体と同様の構造Ⅳ) を提出した。付加体の化学的性質すなわちアルカリでⅣ) に変ること、酸でキノンと NaHO₃ に分解すること、接触還元で4水素化物が得られることなどはこの構造で説明された。

その後 Mooreら^{5), 6)} は再び付加体の構造を紫外および赤外線吸収スペクトルによつて研究し、(I) の構造であると報告した。すなわち付加体の紫外線吸収スペクトルは 2-methyl-1,4-naphthoquinone-2,3-epoxide、C-phthaldehyde などに近似し、1,4-diketo-tetraline 型構造を支持する。また、乾燥した付加体では 3 μ 附近にはほとんど吸収を示さないので、(II) の構造でなく(I) であるとした。一方(IV) の構造であればエノール化しやすいはずであるが、付加体はハイドロキノンになりにくいので、(IV) よりも(I)の方が妥当だと考えた。しかし、付加体を加熱すると(IV) に異性化する事実は(IV) のエノール化とも考えられ、(IV) を否定することはできない。

付加体の構造が(I)～(IV) のいずれであるかは、核磁気共鳴(NMR) によつて直接的に証明できると思われるので本研究を行なつた。付加体の 20% 水溶液は、δ + 2.51、+ 1.18 および - 2.39 に強度比 3 : 2 : 4 の NMR を示す。また、付加体を乾燥し、重水溶液として測定した場合も、δ + 2.56、+ 1.20 および - 2.62 に強度比 3 : 2 : 4 の吸収が得られた。これらの吸収がそれぞれ(I) の 2 メチル基、3 位のメチレン、5, 6, 7, 8 位の芳香環の水素に相当することは明らかである。

また、構造既知の物質としてメナジオンをとり、四塩化炭素溶液で水を基準として NMR を測定した。その結果、δ + 2.68 に J = 1.3 CPS の二重線、δ - 1.90 に少し広巾の吸収、δ - 2.71 ～ - 3.33 に約 8 本の複雑な吸収が得られた。これらはそれぞれ 2-メチル、3 位のオレフィンの CH および芳香環の 4 つの CH に相当する。メチル基は 3 位のプロトンと I-I 結合によつて 2 本に分裂し、3 位のプロトンはメチル基の 3 つのプロトンと I-I 結合して 4 本に分裂すると考えられる。5, 6, 7, 8 位のプロトジンはキノンおよびメチル基からの距離が異なり、多少とも化学シフトが異なり、それらが互に I-I 結合して分裂し、複雑な NMR を示すと思われる。



Varian , 40 MC , 常温 , side band 法.

付加体がもし^{III})の構造であるならば強度比 3 : 1 : 1 : 4 の吸収を示し、その化学シフトは約 + 2.7, 0, - 1.9, - 2.7 と推定される。しかし、実際はオレフインの C-H に相当する - 1.9 を示さず、メチレンに相当する + 1.18 の吸収を示す。また、^{IV})の構造では NMR が化学シフトで 4 本にわかれ、I-I 結合で $J = 2 \sim 9$ CPS の数多くの線に分裂するはずである。

これらの事実から付加体の構造は(I)であることが明らかになつた。なお、メナジオンで認められた CH_3 と β 位の = C-H との I-I 結合は、付加体では認められず、 CH_3 のプロトンは SO_3Na 基によつて deshield され、約 0.1 ppm 低磁場にシフトしていることがわかる。

本研究に際し、御助言を得た大阪大学教授湯川泰秀博士、測定装置の調整などでお世話になつた産業科学研究所佐藤氏に感謝する。

- 1) M.B.Moore : J.Am.Chem.Soc.63, 2049 (1941).
- 2) B.R.Baker, T.H.Davies, L.McElroy, G.H.Carlson : ibid.64, 1096 (1942); 65, 1776 (1943).
- 3) I.G.Farbenind.A.G. : 日本特許 162052
- 4) 阿部, 増田 : ビタミン3, 17, 71 (1950); 昭和 17 年特許出願
- 5) M.Carmack, M.B.Moore, M.E.Balis : J.Am.Chem.Soc.72, 844 (1950).
- 6) M.B.Moore, W.H.Washburn : ibid.77, 6384 (1955).

2-13 Monascus代謝産物の構造とNMRスペクトル

東京教育大学理学部 大橋 守、寺原 昭、○小林尚吾、中西香爾

紅コージ菌 (*Monascus purpureus* Wentii) は、Monascorubrin (Mrb. と略), Monascamine (Mamine), Monascoflavin (M.fl.) の三色素を生産する。その構造は azaphilone に属し、新しい型の色素であることが示されている¹⁾。以下 NMR スペクトルを中心にその化学構造を検討する。

I) Monascorubrin

NMR スペクトルを構造決定に応用するに当って以下の点に重視をおいた。

- i)既に化学反応式の他から提出されている二つの構造式²⁾, ³⁾の妥当性を検討する。
- ii) NMR スペクトルが構造式を満足に説明するかどうかを検討する。
- iii)複雑なケト-エノール互変異性を示す Mamine 及び isodihydro Mamine の存在状態を検討する。

最初に肉連誘導体であるが、Mrb. (1又は2) はアンモニアと反応(2 Mamine(4, 5又は6) を生ずる。Mamine を NaBH₄ で還元すると Isodihydropmonascamine (4 からは5又は7, 5からは8) を与える。一方 Mrb. は Pd-BaSO₄ 触媒下に水素添加を行えば、側鎖 propenyl 基が還元されて Dihydromonascorubrin (3) を生ずる。Table 1 にこれら誘導体の chemical shift を示す。

i) 構造の検討は Mrb. のスペクトルにみられる chemical shift および coupling の様相から 1式の妥当性が示される。

即ち、1式では、X-チレン部分は ABX 形の AB 部分に当り、

単純な triplet ではなく複雑な様相をもつ筈であり事実に反する。H_x吸収帶はこの部分の X 部分に当りて 4~6

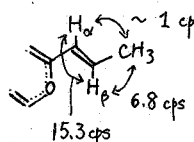
は broad なシングナルを示す。3 節で示すが、そのような事実はない。また H_i吸収帶は C₁₀ の H と coupling して AB 系の一部を示す筈であるが、

実際は singlet である。以上

の三点から構造式 2 は除外された。

ii) 次に 1 式にもとづいてこのスペクトルを解析する。Mrb. にみられる peak は Mamine (2) と対応して存在し、骨格変化を示していないことを示している。2 つには、IR の τ -ピタとあわせて Mamine がケト型で存在していることを想像させ。2H-Mrb. 2" は τ 8.02(d) peak が τ 8.98(t) に移行し、 τ 3.86, 3.35 の二 multiplet 吸収帯が消失している。従って methyl styren 型部分構造の側鎖が還元を受けた α -H_f, H_g peak は典型的な Fark型吸収を示す。

し、 α -coupling constant は近似計算によつて図の如くに算出され、明らかに trans 二重結合である。通常 α -styrene H_α は H_β の ring current の影響により低磁場に移るが、



Mrb. 9 場合は逆で H_β の方が低磁場にある。これは二重結合が C_8 -carbonyl 基と共役して π ため電子密度が H_β で減少しているため。
あるいは骨格 C-O 結合の diamagnetic anisotropy 效果によるものである。
2H-Mrb 2" はこの二重結合が還元され、 \times チレンと全く同じ強度、同じ形の triplet 吸収が δ 7.52 にみられる。

Mrb. 1 における δ : 2.01 の異常な低磁場に二重結合 H の吸收がみられる。これはチレンの α -位に相当する C_1 -H と予想されるか、この真を更に確認するために各種 pyrone 誘導体のスペクトルを測定した。⁴⁾

Table 1. NMR spectra of Mrb and derivatives

Table 2. にその結果を示す。

予期したごとく pyrone の

α -H はいずれもクロロホ

ルムの H より低磁場に吸

収してゐる。Mrb. 2" は更

に C_8 と α carbonyl 基の

diamagnetic anisotropy 效果

も存在する筈であり、順

当な値を示していないとみ

るべきである。この部分構造は化学反応からも

証明されてゐる。

iii) 以上 NMR スペクトルは 1 式を満足に説明しうるもので、IR-UV 2" は区別のつかない Iso-dihydromonascamine 6 の構造と、その互変異性体の存在状態を NMR スペクトルから推論する。この構造は 1 式か 3 は 1 又は 2 式か、3 式からは 1 式か予想される。Mamine(生)と比較して注意すべき点は、 δ : 6.60(t) が強り 4.78(s) が新しく peak が表われたこと、二重結合領域のシグナルがすべて高磁場に移行してゐること(特に H_β の移動が大きい)などである。以上は 1 式でよく説明される。すなはち、1 式では、 \times チレンは複雑な coupling を示す筈であるのに事実は Mamine と同様に triplet を示していないこと、さらに τ : 4.78 は A_2X の X 部分に当るから triplet を示す筈であるが singlet であることをなど説明されない。溶媒効果がはつきりしないので明確に断言はできない

Table 2. NMR spectra of pyrones * (cps)

Compound	α -H	β -H	Other H
γ -Pyrone	-15, -9	71, 76	
2,6-Dimethyl- γ -pyrone		73	289(CH_3)
2-Methoxy-6-methyl- γ -pyrone		87, 116	205(OCH_3), 294(CH_3)
2,6-Dimethoxycarbonyl- γ -pyrone		12	188(OCH_3)
α -Pyrone	-15	53, 60	
6-Methoxycarbonyl- α -pyrone		12	194(OCH_3)

* in CHCl_3 , inner reference; CHCl_3 , at 56.4 Mc,

でいること(特に H_β の移動が大きい)などである。以上は 1 式でよく説明される。すなはち、1 式では、 \times チレンは複雑な coupling を示す筈であるのに事実は Mamine と同様に triplet を示していないこと、さらに τ : 4.78 は A_2X の X 部分に当るから triplet を示す筈であるが singlet であることをなど説明されない。溶媒効果がはつきりしないので明確に断言はできない

いが、 H_2 が γ -ナルの高磁場への移行は、C8-carbonyl 基が還元されて OH となり、そのための diamagnetic anisotropy 効果の減少が説明される。逆にこの H_2 が γ -ナルの移動から、Mamine には C8 位に carbonyl 基が存在して γ -ニトロ基を示唆していることを示すものである。このことはまだ、9-acetyl-dihydromonascamine が α -式²⁾ ではない、換言すれば Mrb. における α -式を否定するものである。Dean らによると、³⁾ 提起された twisting carbonyl α 構造⁵⁾ がこの 9-acetyl-dihydromonascamine の NMR スペクトルから疑問が生じたこと生産的な問題として付記したい。

II) Monascoflavin

Mfl. 及びその誘導体の NMR スペクトルは Mrb. と異り、pyrone の α -H に相当する H が存在しないこと、trans-propenyl 基、骨核二重結合 H 各 1 つ、vinyl 領域に典型的な AB 型シグナルがあること、C-CH₃ は 3 つであることを知り、合成の知見を考慮あわせれば、構造上、又は立体構造が導かれる。この構造は既に化学反応からも推定されてい。⁶⁾ 両者の区別は NMR スペクトルからは明らかでない。IR は α -式の妥当性を示している。二つの疑問の点は α が β -式にもついて以下のように解析した。

Doublet (d), 8.12; $J_{dd} = 6.8$ Fig. 1. NMR spectrum of Mfl.

J 値は peak o のそれと同じ。

Multiplet (e), 7.4, Mrb. 2²⁾
明確な triplet を示していない peak n に対応するが明らかでない。

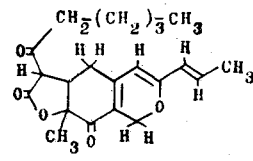
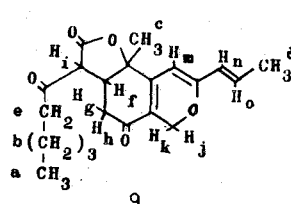
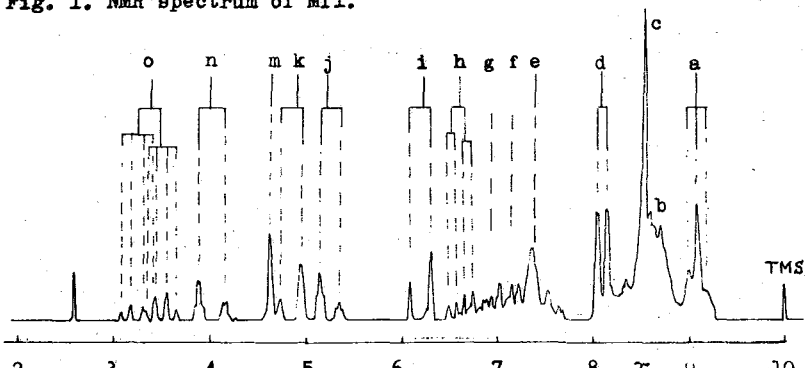
Quartet (h), 6.7; $J_{hh} = 5.0$,
 $J_{gh} = 8.4$ cps. ABC 系の C 部分、AB 部分は e に重なるて解析できな。

Doublet (i), 6.25; $J_{ii} = 13.0$.
ヒドロジン中では 5.5 に移行する。O-官能基に近接か?⁷⁾ J 値は異常に大きく同定に疑問があるところ。

Quartet (j, k), 5.24 と 4.94; $J_{jk} = 12.6$ cps. 還元生成物 2H-Mfl., 4H-Mfl. にも残る。

Singlet (m), 4.68. 2H-Mfl. では残るが 4H-Mfl. では消失する。

Doublet (n), 4.04 と Multiplet (o), 3.42; $J_{no} = 15.6$ cps. 2H-Mfl. では消失。Mrb. と同じく ABX₃ 系の AB 部分。 J 値は trans-propenyl であることを示す。



又ノウナルの測定をうけ頂いた原子力研究所の早川氏、貴の便宜をうけて頂いた
東工試の額田博士、Varian Associates の Dr. J. N. Shoolery に厚く感謝致します。

- 1) A.D.G. Powell, A. Robertson and W.B. Whalley, Chem. Soc. Special Publ. No. 5, 27 (1956)
- 2) B.C. Fielding, F.J. Haws, J.S.E. Holker, A.D.G. Powell, A. Robertson, D.N. Stanway and W.B. Whalley, Tetra. Letters, No. 5, 24 (1960)
- 3) K. Nakanishi, M. Ohashi, S. Kumasaki and S. Yamamura, J. Am. Chem. Soc., 81, 6339 (1959)
- 4) A. Terahara, M. Ohashi, K. Nakanishi, I. Yamaguchi and N. Hayakawa, Bull. Chem. Soc. Japan, 33, 1310 (1960)
- 5) F.M. Dean, J. Stanton and W.B. Whalley, J. Chem. Soc., 4913 (1959)
- 6) M. Ohashi, S. Yamamura, A. Terahara and K. Nakanishi, Bull. Chem. Soc. Japan, 33, 1630 (1960)
- 7) G. Slomp and F. Mac Kellar, J. Am. Chem. Soc., 82, 999 (1960)

2-14 Pristimerin の構造と NMR スペクトル

東京教育大学理学部

柿沢寛、小林尚吾、口高橋喜和、中西香爾

Pristimerin, $C_{30}H_{40}O_4$, は Pristimera indica と P. grahamii より初めて単離された¹⁾ 橙黄色針状結晶で、celastrol²⁾ のメチルエステルである。最近部分構造¹⁾ が提出されたが³⁾、我々は以下に述べる NMR スペクトルを含むから、¹⁾

データから¹⁾ が拡張された²⁾ を pristimerin の全構造と推定した。

²⁾ の NMR スペクトル(図 1)をみて

3 と、split-like なるメチル $\tau = 9.33$,

8.76, 8.71, 8.61, 8.39, 7.69, 6.36 と 7 本

あり、このうち 7.69 が olefin ハイドロ

メチル、6.36 がエステルのメチ

ルである。残りの高磁場の 5 本のメ

チルがすべて 3 級の炭素ハイドロ

3 ことと、pristimerin を重鉛末で蒸

留したときアルキルセッセンが得られ

ることとはこのようないオレアテン骨格

を推定される。olefin-H 領域では、 $\tau = 3.46$ (¹H singlet), $\tau = 3.04, 3.62$ ($J = 7.5$ cps) \rightarrow AB type の quartet がある。前者は C₇-H、後者は C₆-H と C₇-H の coupling したものである。pristimerin (2) の発色系の構造はこのよう NMR スペクトルにより支持される。

次に pristimerin を還元し、メチル化して得られる dimethylpristimerol (4) (図 2 参照) の NMR スペクトル (CCl₄ 中) は $\tau = 9.27, 8.79, 8.72, 8.64, 8.52$ (₁H, R-CH₃); 7.74 (Ar-CH₃), 6.34 (COOC₂H₅) の 9 本のメチルの吸収を示す。これも singlet である。さらに allylic methylene $\tau = 6.79$ (broad), olefin-H $\tau = 4.21$ (broad), aromatic-H $\tau = 3.25$ (singlet) を示す。この 4 を KMnO₄ 酸化して得られる oxodimethyl pristimerol (5) では 6.79 peak は消え、4.21 peak は $\tau = 3.78$ と低磁場に shift し singlet となる。この変化は UV スペクトルでベンゼン誘導体の吸収からアセトフェノン誘導体の吸収に変化することと平行している。

pristimerin を 2N 硫酸で処理すると、2 種のアフタリノン誘導体 isopristimerin I (6) と II (7) が得られる。6 の NMR スペクトル (図 3) は $\tau = 2.33, 2.74 \leftarrow J = 8.6$ cps \rightarrow AB type quartet の吸収を示し、これは $\tau = 2.76$ は singlet と重なっている。前者は C₆, C₇ に \leftrightarrow ortho-H である。2 つの OH は $\tau = 1.2$ と 4.0 付近に broad である。又 2 の Ar-CH₃ は $\tau = 7.33$ と 7.41 にある。6 のアフタリノン骨格の構造は IR スペクトル (KBr) $\nu = 815$ (2H) Br, 893 cm⁻¹ (1H) の吸収のあることからも支持される。一方同じく 6 の methoxy carbonyl $\nu = 1702$ cm⁻¹ (CCl₄) の吸収を示し、これは他の pristimerin 誘導体が 1725 cm⁻¹ 付近に吸収を示す

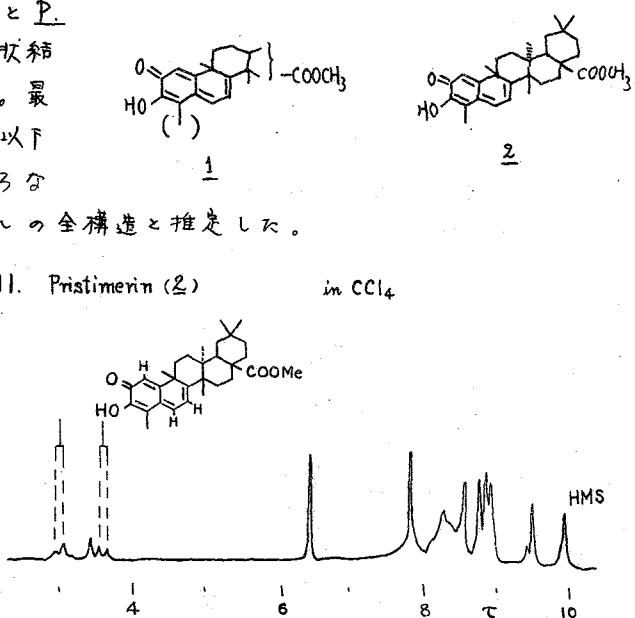


図 1. Pristimerin (2) in CCl₄

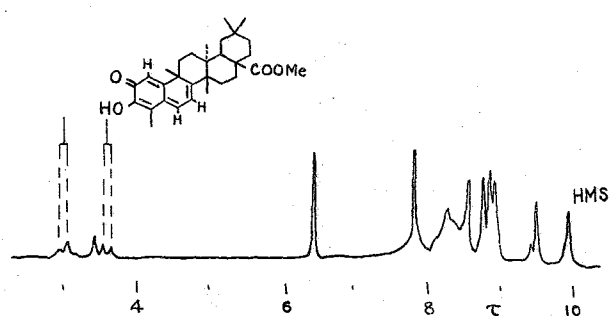
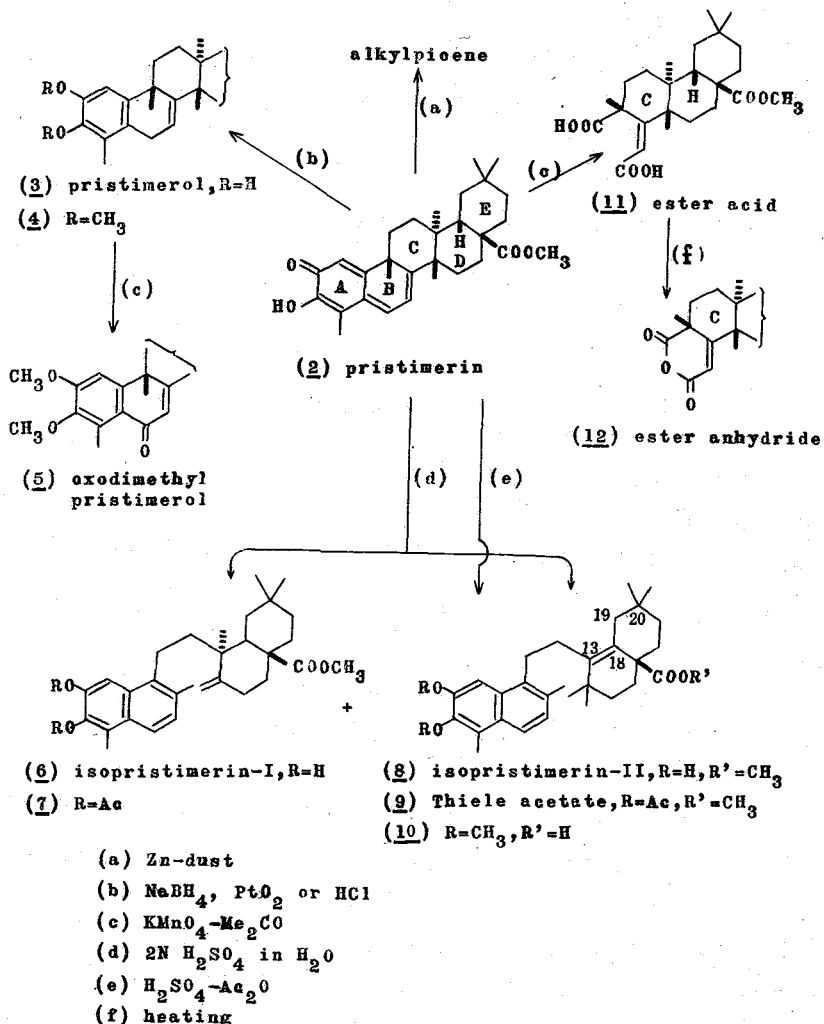


図 2. Dimethylpristimerol (4) と oxodimethyl pristimerol (5)

图 2



のに対し分子内水素結合を1つ
いまとみられ、6に示され3より
うるC環が用いてエステルとC₂
のOHが水素結合できるようにな
る、たまのである。このときの
methoxy carbonylのシグナルは $\tau = 6.08$

他の pristimerin 誘導体よりも
低磁場に出ている。末端メチ
ルは $\tau = 4.77, 4.97$ ppm、他のメチ
ルは $\tau = 7.32, 7.42$ (Ar-CH₃)、

8.47, 8.78 (2CH₃) (R-CH₃) に示す。

この b の diacetate (I) の NMR

スペクトル (¹³C NMR) は C₁-H が $\tau = 2.29$ ppm よりも約 0.5 ppm 低磁場に、methoxy carbonyl のシグナルは $\tau = 6.20$ ppm 約 0.2 ppm 高磁場へ shift して ~ 3 。他の peak は b ほとんど同じである。

Thiile acetate (II) の NMR スペクトルは AB type quartet ($\tau = 2.29, 2.74, J = 8.9$ cps, $\tau = 8.35$ (C₁-H) (singlet); 6.45 (COOCH₃), 7.43 (2-CH₃), 7.58, 7.60 (Ar-CH₃ Bu phenol acetate); 8.50, 8.62, 8.67, 8.80 (R=CH₃) を示す。TGA
リソグラムは同じであることが示される。

Pristimerin の KMnO₄ 酸化により得られる炭素の 6 倍減少した ester dicarboxylic acid (III)
は 100°C に熱すと β -アミリンから β -アミリンの生成に伴うよう
ester anhydride (IV) になるがこの NMR スペクトルの olefin
H は $\tau = 4.06$ (singlet) と示す。

以上の誘導体からの寄与及び β -アミリンからフリーラジカルの生成によるよう
な 1,2-shift を仮定して、現在 pristimerin の立体構造として 2 を考へてある。

終りに、スペクトルの測定をして頂いた原子力研究所の早川氏、その便宜をうけて頂
いた東工試の鶴田博士に深謝いたします。

1) S. S. Bhatnager and P. V. Dvivedi, J. Sci. Industri. Res., India, 10B, 56 (1951)

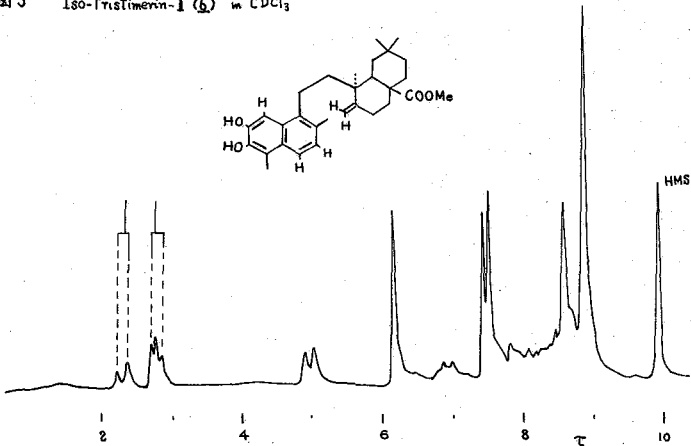
2) Chou and Mei, Chinese J. Physiol., 10, 529 (1936)

O. Giavold, J. Am. Pharm. Assoc., 28, 440 (1939); 29, 432 (1940)

3) P. K. Grant, A. W. Johnson, P. F. Juby and T. J. King, J. Chem. Soc., 549 (1960)

4) 内部標準として hexamethyl disiloxane (HMS) を用い、これは $\tau = 9.80 \pm 0.12$ 計算した。

図3 Iso-Pristimerin-I (b) in CDCl₃



2-15 NMR の立体化学への応用(I)

メチル基の核磁気共鳴に及ぼす水酸基の空間的相互作用

東京大学薬学部 ○川添豊、夏目充隆、岡本敏彦
東大応微研 佐藤良博、長谷川弘子、津田恭介

42種のアンドロスタンおよびブレグナン誘導体の、C₁₈およびC₁₉メチル基の、内部基準シグナルヘキサンシグナルに対するshiftは、Tab. Iの如くである。測定試料は、4-androstene-3,17-dione, 14-androstadiene-3,17-dione, 4-pregnene-3,20-dione および 5 α -pregnane-3,20-dioneをmother compoundとするモノおよび置換体で、置換基は、OH基およびOAc基である。Tab. Iの

Tab. I The Steroids and their C₁₈- & C₁₉-methylsignals

No.		C ₁₈ -H		C ₁₉ -H				C ₁₈ -H		C ₁₉ -H	
		18-H	Diff. from mother comp.	19-H	Diff. from mother comp.	18-H	Diff. from mother comp.	19-H	Diff. from mother comp.	18-H	Diff. from mother comp.
1	4-androstene-3,17-dione	30.0	—	12.2	—	22	15 α -OAc	41.3	- 3.7	13.9	+ 0.2
2	6 α -OH	29.4	- 0.6	12.6	0.4	23	15 β -OH	29.0	- 16.0	11.9	- 1.8
3	6 α -OAc	29.5	- 0.5	9.8	- 2.4	24	15 β -OAc	31.4	- 13.6	11.3	- 2.4
4	6 β -OH	27.7	- 2.3	1.4	- 10.8	25	6 β -OAc, 11 α -OAc	37.9	- 7.1	3.4	- 10.3
5	6 β -OAc	26.7	- 3.3	5.7	- 6.5	26	6 β -OH, 15 β -OH	27.2	- 17.8	2.1	- 11.6
6	11 α -OH	27.8	- 2.2	4.8	- 7.4	27	6 β -OAc, 15 β -OAc	30.6	- 14.4	5.9	- 7.8
7	11 β -OH	16.0	- 14.2	- 3.4	- 15.6	28	6 β -OAc, 15 β -OH	27.6	- 17.4	5.6	- 8.1
8	11 β -OAc	22.2	- 7.8	7.1	- 5.1	29	6 β -OAc, 15 β -OH	28.4	- 16.6	8.9	- 4.8
9	14 α -OH	22.9	- 7.1	12.0	- 0.2	30	7 β -OH, 15 β -OH	26.6	- 18.4	10.3	- 3.4
10	15 α -OAc	25.5	- 4.5	11.9	- 0.3	31	7 β -OAc, 15 β -OH	27.0	- 18.0	9.7	- 4.0
11	1,4-androstadiene-3,17-dione	28.8	—	9.9	—	32	7 δ -OH, 15 β -OH	29.5	- 15.5	12.0	- 1.7
12	11 β -OH	13.8	- 15.0	- 4.1	- 14.0	33	7 α -OAc, 15 β -OAc	32.0	- 13.0	9.9	- 3.8
13	11 β -OAc	21.4	- 7.4	7.2	- 2.7	34	14 α -OH, 15 α -OH	37.8	- 7.2	13.2	- 0.5
14	15 α -OH	26.2	- 2.6	9.0	- 0.9	35	14 α -OH, 15 β -OH	25.2	- 19.8	11.5	- 2.2
15	4-pregnene-3,20-dione	45.0	—	13.7	—	36	14 β -OH, 15 α -OH	26.3	- 18.7	16.8	+ 3.1
16	7 β -OH	43.0	- 2.0	12.6	- 1.1	37	14 β -OH, 15 β -OH	22.6	- 22.4	14.3	+ 0.6
17	7 β -OAc	42.3	- 2.7	10.7	- 3.0	38	5 α -pregnane-3,20-dione	47.2	—	24.6	—
18	11 α -OH	43.1	- 1.9	6.3	- 7.4	39	7 α -OH	46.9	- 0.3	25.2	+ 0.6
19	11 α -OAc	41.3	- 3.7	9.6	- 4.1	40	7 α -OAc	45.7	- 1.5	22.7	- 1.9
20	14 α -OH	38.6	- 6.4	13.3	- 0.4	41	7 β -OH	44.4	- 2.8	22.8	- 1.8
21	15 α -OH	43.5	- 1.5	13.3	- 0.4	42	7 β -OAc	45.0	- 2.2	22.5	- 2.1

4列目と6列目には、夫々の mother comp. に於ける C₁₈ および C₁₉ メチル基の resonance frequency および shift を示している。これら化合物の中、モノ置換化合物が示す mother comp. からの shift を用いて、ステロイドの各位置における α および β 置換基の、メチルシグナルに対する置換基効果を estimate し、その値を Tab. 2 に示した。此等モノ置換体における各置換基効果の大きさが、

ジ置換体に於ても有意な値であるかどうか、即ち此等置換基効果に加成性があるかどうかを検するため、Tab. 2 の値を用いてジ置換体に於ける置換基効果の和を estimate し、実測値と比較し Tab. 3 に示した。その差違は、殆んどの化合物で 1 cycle 以内であり、加成性の成立が明らかである。この加成性に関する Zürcher が C₁₉-CH₃ シグナルへの効果について、数多くのステロイドで実証している。

こゝに於て Tab. 2 の OH 基の効果の大きさと、各 OH 基の二つめ CH₃ 基に対する空間配位との相関関係を考察した結果、-10 cycle より大きな効果を有する OH 基は、C₁₈-CH₃ に対しては、11β および 15β 位、C₁₉-CH₃ に対しては、6β および 11β 位である。他のすべての

Tab. 2 The contribution of functions toward chemical shift of C-18- & C-19-methylsignals

Methylsignal (cps) Function	18-H		19-H	
	Found	Averaged	Found	Averaged
			-24.5 (2)†	
17 C=O			-1.5 (2)	
17 COCH ₃			0.0 (2)	
6α-OH	-0.6 (2)*		+0.4 (2)	
6α-OAc	-0.5 (3)		-2.4 (3)	
6β-OH	-2.3 (4)		-10.8 (4)	
6β-OAc	-3.3 (5)		-6.5 (5)	
7α-OH	-0.3 (39)		+0.6 (39)	
7α-OAc	-1.5 (40)		-1.9 (40)	
7β-OH	-2.0 (16), -2.8 (41)	-2.4	-1.1 (16), -1.8 (41)	-1.5
7β-OAc	-2.7 (17), -2.2 (42)	-2.5	-3.0 (17), -2.1 (42)	-2.6
11α-OH	-2.2 (6), -1.9 (18)	-2.1	-7.4 (6), -7.4 (18)	-7.4
11α-OAc	-3.7 (19)		-4.1 (19)	
11β-OH	-14.0 (7), -15.0 (12)	-14.5	-15.6 (7), -14.0 (12)	-14.8
11β-OAc	-7.8 (8), -7.4 (13)	-7.6	-5.1 (8), -2.7 (13)	-3.9
14α-OH	-7.1 (9), -6.4 (20)	-6.8	-0.2 (9), -0.4 (20)	-0.3
15α-OH	-1.5 (21), -2.6 (14)	-2.1	-0.4 (21), -0.9 (14)	-0.7
15α-OAc	-4.5 (10), -3.7 (22)	-4.1	-0.3 (10), +0.2 (22)	-0.1
15β-OH	-16.0 (23)		-1.8 (23)	
15β-OAc	-13.6 (24)		-2.4 (24)	

† from Zürcher's work (Helv. 44 1380, 1961)

* compound number shown in Tab. 1

位置の OH 基は、 -3 cycle より小さな効果を示すにすぎない。この場合、大きな効果が見られるのは、 CH_3 基に対する OH 基が、空間的に著しく接近している場合で、 cyclohexane ring (chain form) の、 1,3-diaxial の関係にある。位し 11α -OH は、 $C_{19}-\text{CH}_3$ に対する中間的な大きさ (-7.4) を示すが、これは、 Fig. 1 の如き空間配位にある 11α -OH と $19-\text{CH}_3$ との関係が、 A 環の不飽和化により、幾分、 ring strain の影響により、 $19-\text{CH}_3$ の resonance に効果を及ぼしているためであると考へれば説明を得るかも知れない。又、 14α -OH は、 $C_{18}-\text{CH}_3$ に対する同じく中間的な大きさ (ca. -6.8)

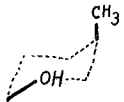


Fig. 1

の効果を示すが、此れは OH の bond を通じた inductive effect による影響と解される。

α -および β -配位異性体の間ににおける、置換基効果の比較： 各位置の α 配位と β 配位の置換基効果を夫々比較し β 位効果と、 α 位効果の差を Tab. 4 に示した。その附号が示す如く、常に β 配位置換基がより大きな効果を示し、更に C_{18} に対しては、 11 および 15 位に、又 C_{19} に対しては、 6 および 11 位に大きな差異を認め ($-11.8, -12.6, -14.5, -11.2$ & -8.2)、他の場合はいつももその差異は小さい ($-1.7, -2.9, -1.7, -1.4$ & -1.7)。即ち、大きな差異を示す位置はその CH_3 基に対する、その一方の置換基が空間的に非常に接近する場合であり、従つて、此の効果は、 bond を通じた electronic な効果によるものではなく、空間的な作用によるものであることが裏付けられる。

アセチル化効果： 更に、異常な downward shift が、空間的相互作用に基づくことを確かめるために、

此等置換基効果のアセチル化による影響をしらべた。

即ち、アセチル化の効果と遊離 OH 基の効果との差を、 Tab. 5 に示した。但し表中、正の値を示すものは、アセチル化により高磁場 shift したこと意味する。既に得られた事実から、空間的

Tab. 3 C-18- & C-19-methylsignal-shifts of disubstituted 4-pregnene-3,20-dione

Methyl signal (cps) Substituent	18-H			19-H		
	Calcd.	Found	F-C	Calcd.	Found	F-C
6 β -OAc, 11 α -OAc	-3.3 - 3.7 = -7.0	-7.1	-0.1	-6.5 - 4.1 = -10.6	-10.3	+0.3
6 β -OH, 15 β -OH	-2.3 - 16.0 = -18.3	-17.8	+0.5	-10.8 - 1.8 = -12.6	-11.6	+1.0
6 β -OAc, 15 β -OAc	-3.3 - 13.6 = -16.9	-14.4	+2.5	-6.5 - 2.4 = -8.9	-7.8	+1.1
6 β -OAc, 15 β -OH	-3.3 - 16.0 = -19.3	-17.4	+1.9	-6.5 - 1.8 = -8.3	-8.1	+0.2
6 α -OAc, 15 β -OH	-0.5 - 16.0 = -16.5	-16.6	-0.1	-2.4 - 1.8 = -4.2	-4.8	-0.6
7 β -OH, 15 β -OH	-2.4 - 16.0 = -18.4	-18.4	0.0	-1.5 - 1.8 = -3.3	-3.4	-0.1
7 β -OAc, 15 β -OH	-2.5 - 16.0 = -18.5	-18.0	+0.5	-2.6 - 1.8 = -4.4	-4.0	+0.4
7 α -OH, 15 β -OH	-0.3 - 16.0 = -16.3	-15.5	+0.8	+0.6 - 1.8 = -1.2	-1.7	-0.5
7 α -OAc, 15 β -OAc	-1.5 - 13.6 = -15.1	-13.0	+2.1	-1.9 - 2.4 = -4.3	-3.8	+0.5
14 α -OH, 15 α -OH	-6.8 - 2.1 = -8.9	-7.2	+1.7	-0.3 - 0.7 = -1.0	-0.5	+0.5
14 α -OH, 15 β -OH	-6.8 - 16.0 = -22.8	-19.8	+3.0	-0.3 - 1.8 = -2.1	-2.2	-0.1

に相互作用を有する 3 置換基のアセチル化 shift は、いずれも +2.4 ～ +11.3 といふ正の値を示し、一方、相互作用のない置換基では、負乃至は +0.6 以下の値を示す。即ち一般に、空間的に近接していない場合には、アセチル化による inductive effect の増加により、期待通りの、かかなか低磁場 shift を引き起すが、一方空間的相互作用のある場合には、特異的に高磁場 shift が見られる現である。此の事実は、この相互作用の理論的解明を suggestive である。

Tab. 4. Comparison of effects between α and β isomers
 $\delta\text{-OH} - \delta\text{-OH}$ value

CH_3 Position	18-H	19-H
6	-1.7 (A) [†]	-11.2 (A)
7	-2.9 [*] (P) ^{††}	-1.7 (P)
11	-11.8 (A)	-8.2 (A)
15	-14.5 (P), -12.6 (P)	-1.4 (P), -1.7 (P)

* Underlined values are calculated from dihydroxy-derivatives.

† A : from androstan derivatives

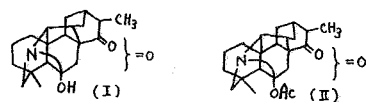
†† P : from pregnane derivatives

Tab. 5 Acetylation shift of C-18- & C-19-methyl signal

CH_3 Position	18-H	19-H
6 α	+0.1 (A)	-2.8 (A)
6 β	-1.0 (A), +0.4 (P)	+4.2 (A), +3.5 (P)
7 α	-1.2 (P)	-2.5 (P)
7 β	-0.7 (P), +0.4 (P), +0.6 (P)	-1.9 (P), -0.6 (P), -0.3 (P)
11 α	-1.8 (P)	+3.3 (P)
11 β	+6.2 (A), +7.6 (Dienone)	+10.5 (A), +11.3 (Dienone)
15 α	-2.2 (P)	+0.6 (P)
15 β	+2.4 (P), +3.0 (P)	-0.6 (P), +0.3 (P)

相互作用の原因：此の空間的相互作用効果の原因として、二、三の理由が考えられる。
 1) メチルプロトンと、酸素原子の non-bonded electrons との間の弱い水素結合。2) O-H 結合により生ずる electric field。3) 結合状態にある酸素原子（結合電子および lone pair 電子を含む）による magnetic anisotropy。等々。此等の中で、結合状態にある酸素原子の、magnetic anisotropy が、相互作用効果で主な役割を演じていると見做しているが、此の点については、目下研究中である。

他の系列化合物への適用：以上の関係はステロイドに限らず、同様な空間配位にある CH_3 と OH 基の間にも成立することが期待される。すてに岡本等は pseudo-kobusine の構造研究に於て、その転位酸化物(I)とその acetate (II)との NMR で、近接した OH 基により CH_3 がナルか異常に低磁場に shift し、アセチル化により 18 cps shift して、正常位置にもどることから、 CH_3 と OH が、1,3-diaxial-type の空間関係にあることを説明している。又 Anet (Canad. J. Chem., 39, 789, 1961) が camphane-2,3-diol の四つの diastereomer の NMR spectra を報じているが、此の系でも、吾々の assumption が証明できた。



結論： CH_3 基と OH 基とが、空間的に近接した場合には、 CH_3 基の frequency が特異的に低磁場に shift し、アセチル化により高磁場に shift するなど、ステロイドの C-18 や C-19 CH_3 に対する 1,3-diaxial-type の OH の相互作用により証明し、原因の考察を行った。(Oct. 14, 1961)